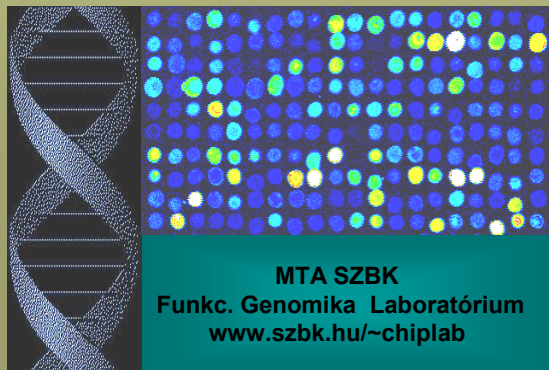


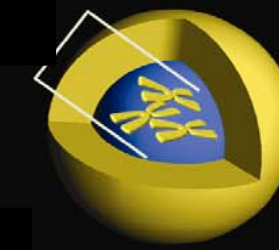
# Microarray-technológia és funkcionális genomika

MTA SZBK, Genetika Intézet  
Funkcionális Genomika Laboratórium

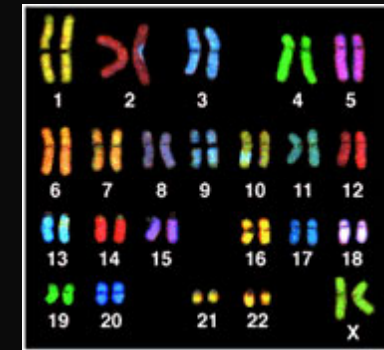
Semmelweis Egyetem, Genetika Intézet  
Budapest  
2011.12.08.



# Kromoszómák genetikai állomány hordozói



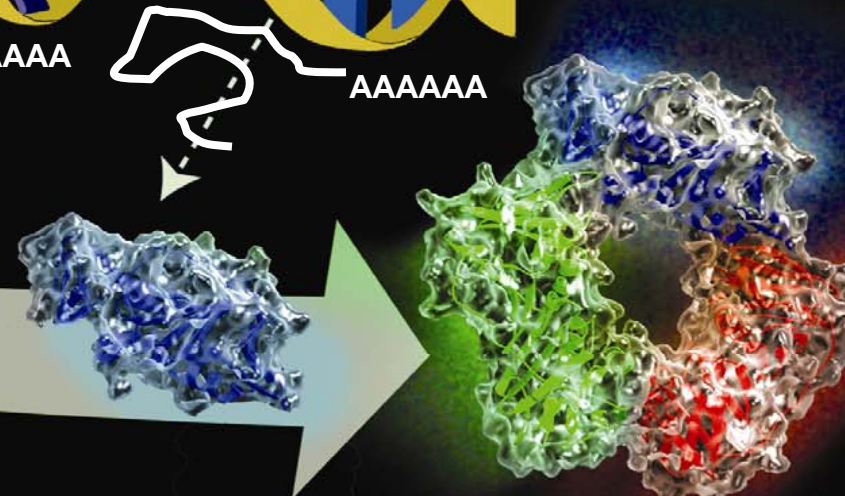
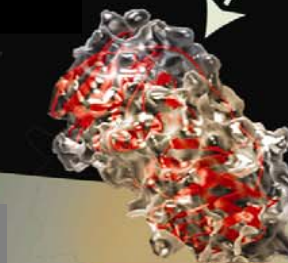
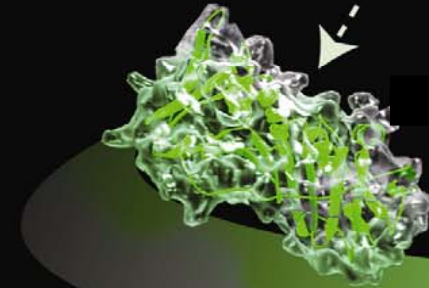
sejt



DNS

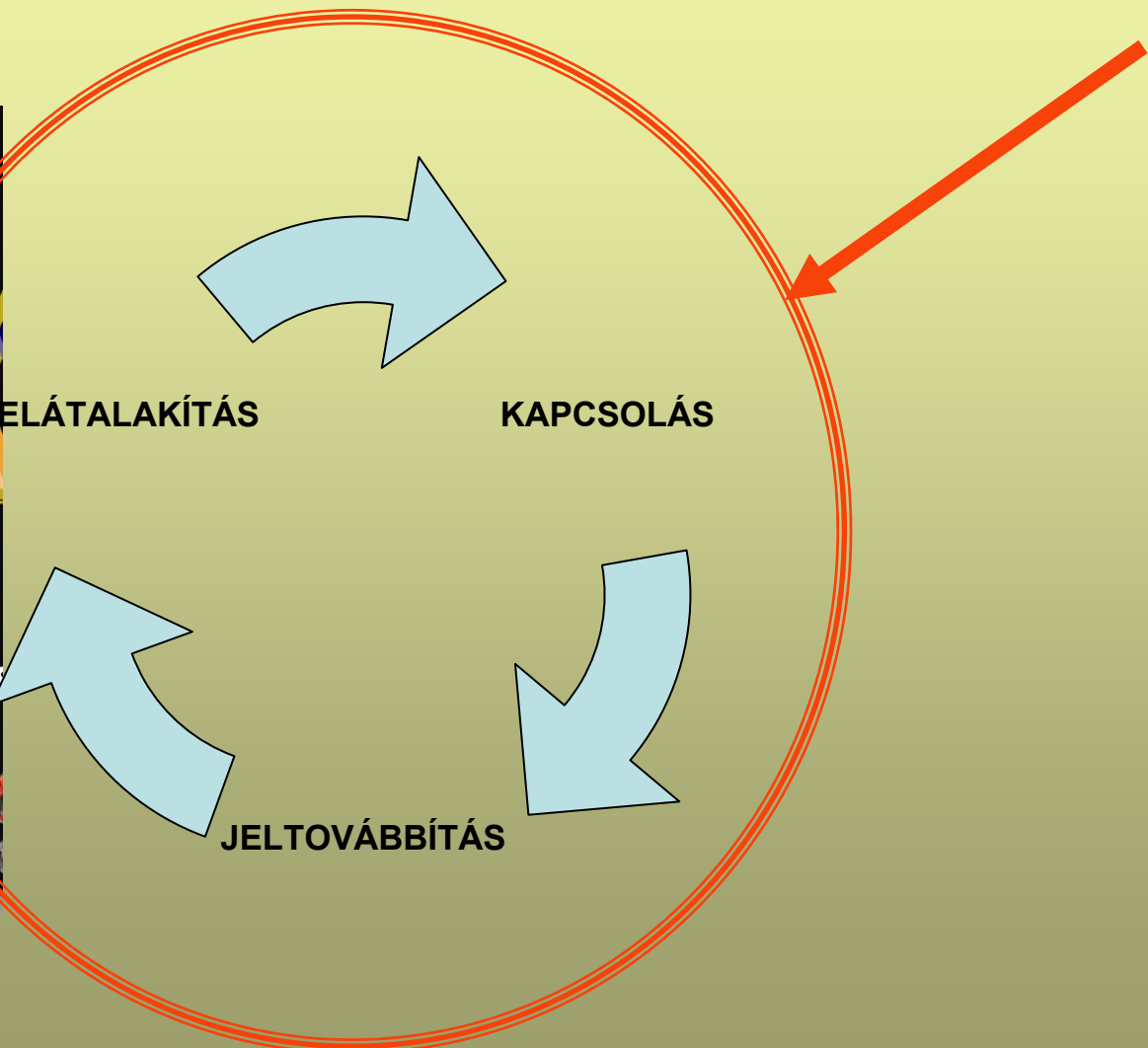
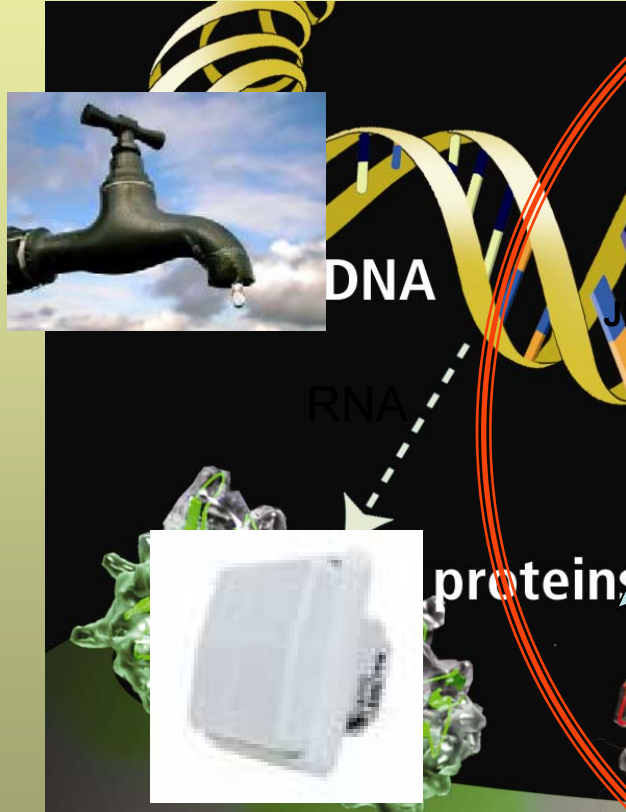
mRNS

Gének  
információ hordozók



Fehérjék  
sejtfunkciók  
ellátása

# Molekuláris kapcsolók és hálózatok: a rendszerbiológia elemei



Kulcsszavak: kapcsolók

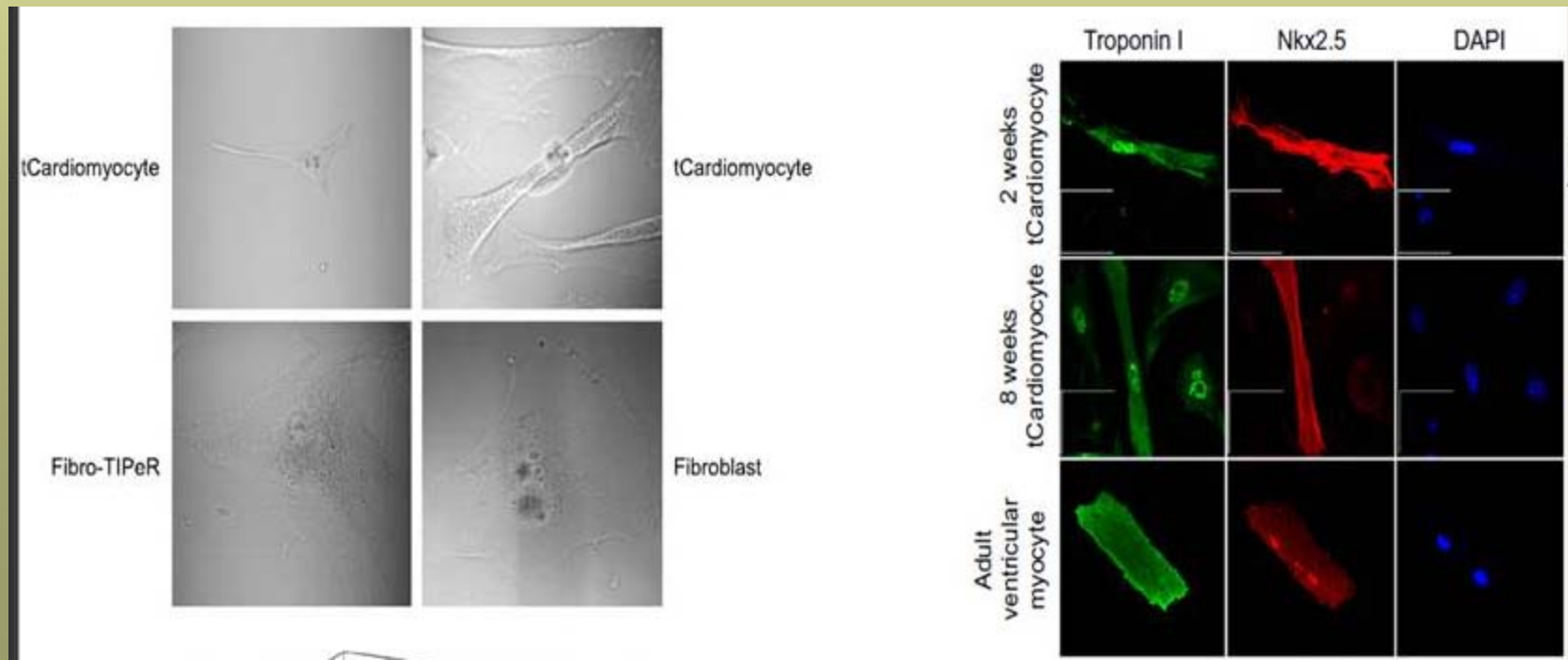
# A fenotípus meghatározója a transzkriptom vagy a genom?

Gurdon JB, Elsdale TR, Fischberg M (1958) Sexually mature individuals of *Xenopus laevis* from the transplantation of single somatic nuclei. *Nature* 182(4627):64–65.

Takahashi K, Yamanaka S (2006) Induction of pluripotent stem cells from mouse embryonic and adult fibroblast cultures by defined factors. *Cell* 126(4):663–676.

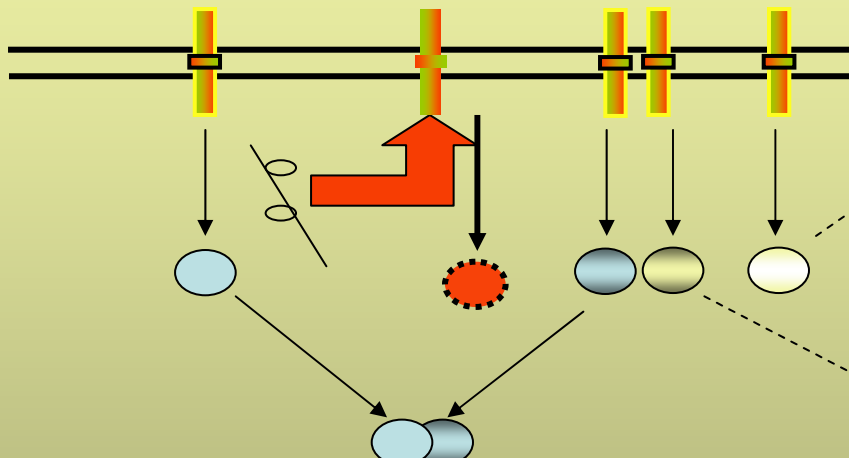
Sul JY, et al. (2009) Transcriptome transfer produces a predictable cellular phenotype. *Proc Natl Acad Sci USA* 106:7624–7629.

Kim TK, et al. (2011) Transcriptome transfer provides a model for understanding the phenotype of cardiomyocytes. *Proc Natl Acad Sci U S A.* 108(29):11918-23.

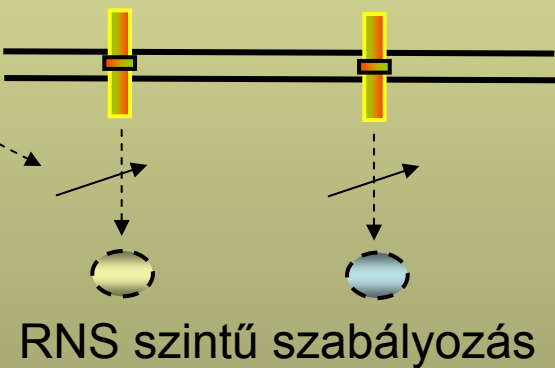
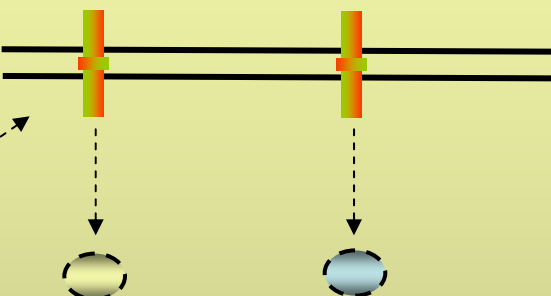


# Molekuláris kapcsolók és hálózatok: a rendszerbiológia elemei

Moduláris egység: együttes expresszió



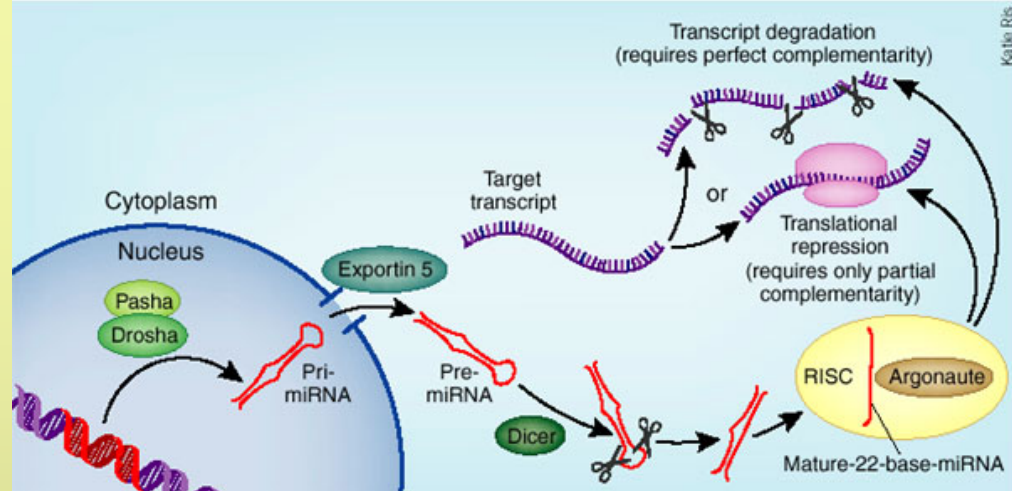
Transzkripció szintű szabályozás



RNS szintű szabályozás

Kulcsszavak: kapcsolók és modulok

# miRNS analízis



- miRNS: kis 19-25 nukleotid hosszú egyszálú RNS molekulák, amelyek a génexpresszió negatív szabályozásában játszanak szerepet
- a sejtmagban keletkeznek hosszú prekurzor RNSként: *pri-miR*
- emberben számuk meghaladja az ezret -> minden miRNS több száz mRNS transzkripcióját szabályozza
- méretük és a nagyfokú szekvencia konzerváció (1-2 nukleotid eltérés) miatt detektálásuk nehéz
- megváltozott miRNS expresszió számos betegség kulcsa lehet -> target: rák, szív és érrendszeri megbetegedések

# Génhálózatok, skála-független tulajdonság, redundancia és érzékenység

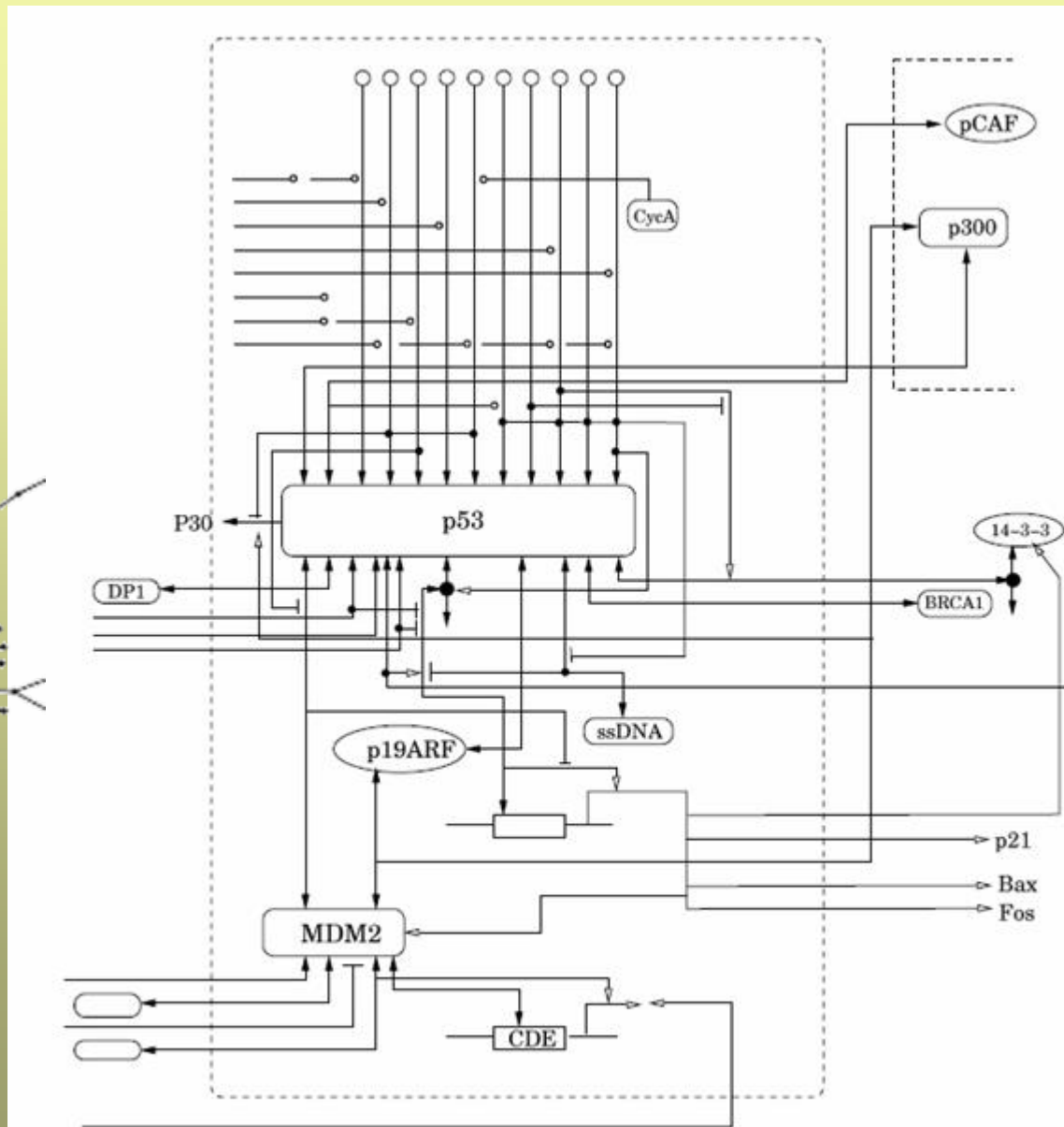
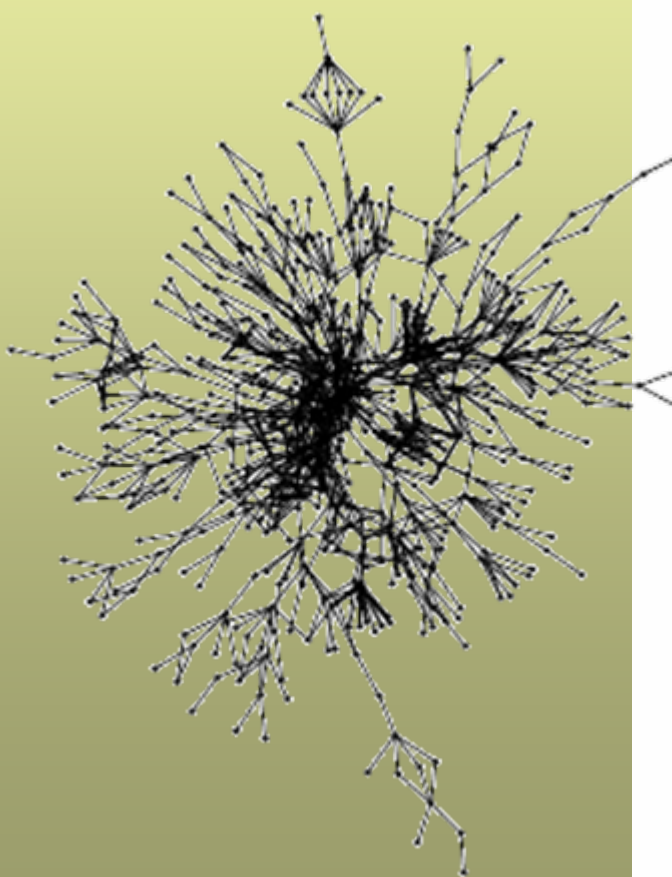
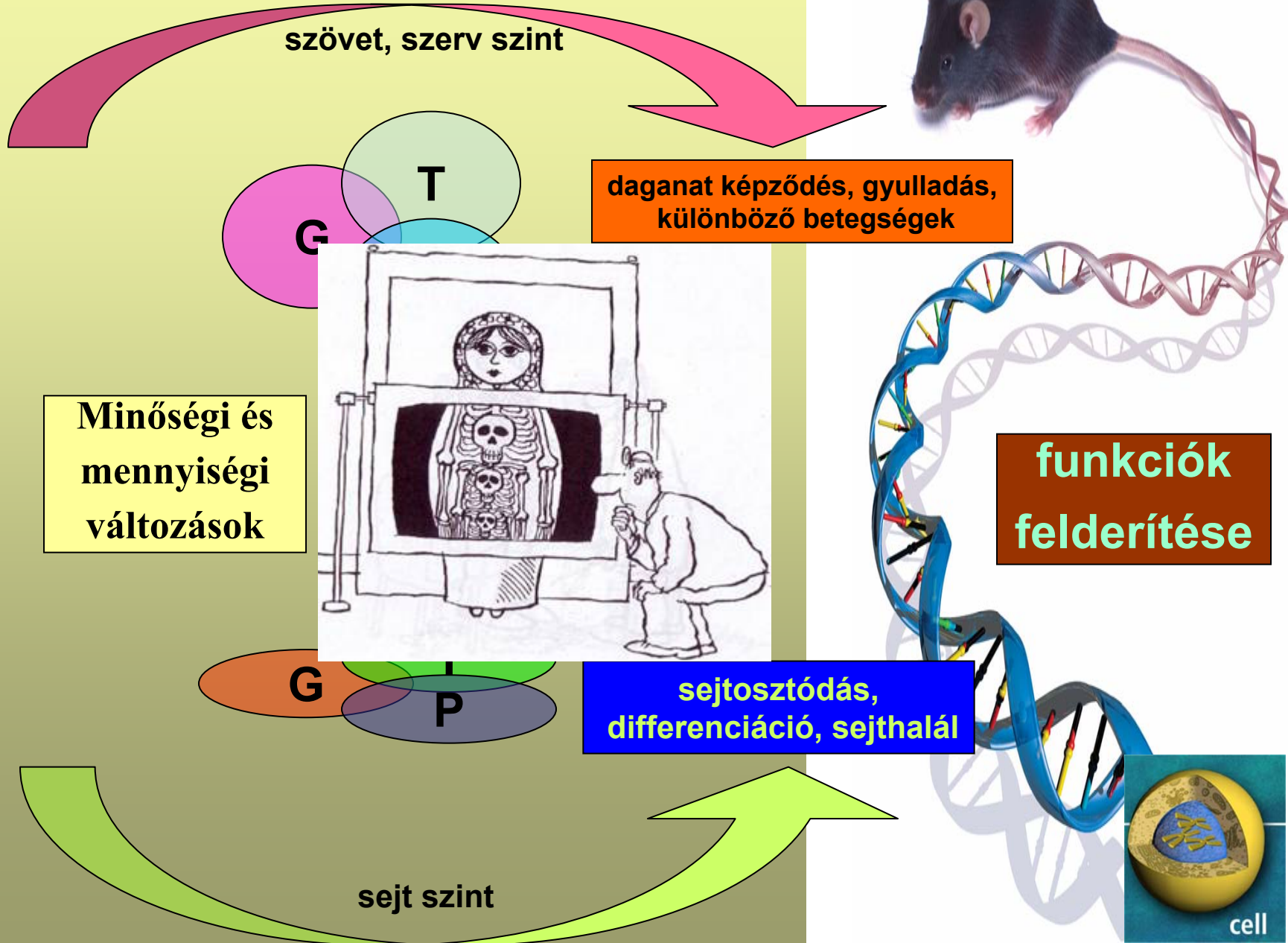
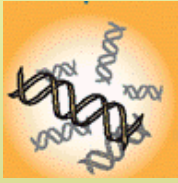
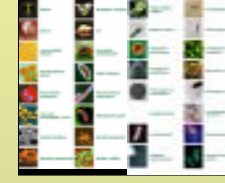
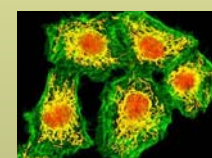
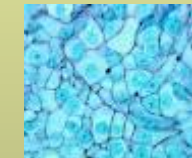
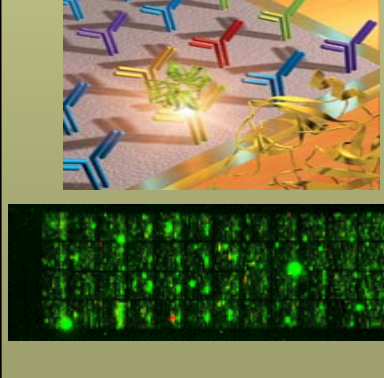
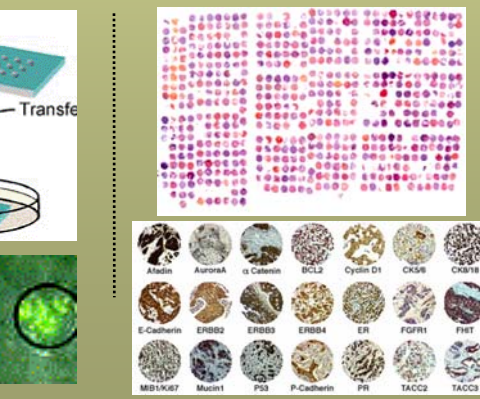


Figure 1.2: Schematic architecture of the p53 network. The p53 node integrates information from very different parts of the system. Only part of the cell circuitry is shown here. For a

# Funkcionális genomika lényege

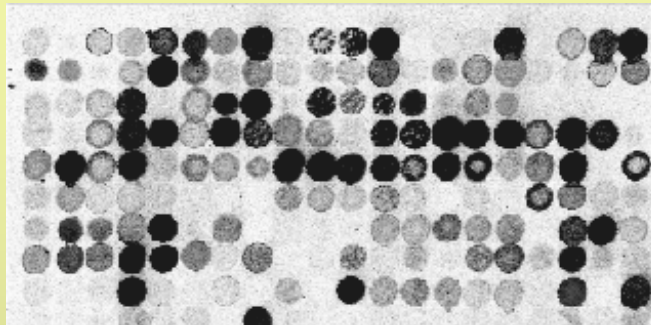


# Microarray technológiák a funkcionális genomikában

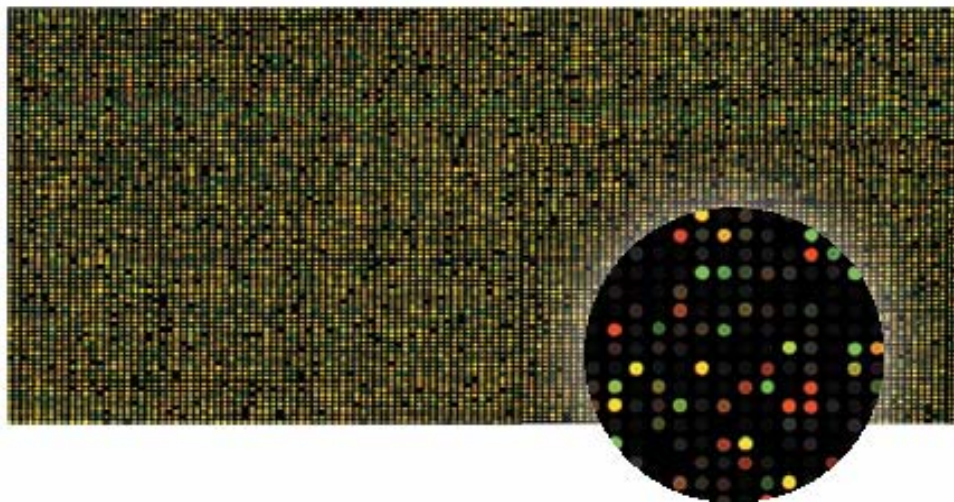
Minta						
Cél-molekula						
Microarray						
Genomika			Proteomika			Citomika

# A csipek hordozó szerinti osztályozása

macroarray

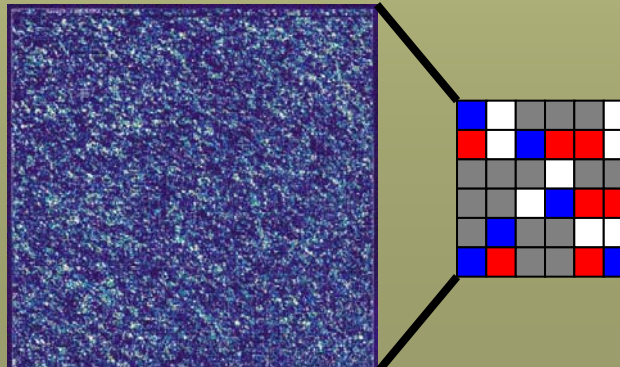


- nylon membránon néhány 100 génspecifikus minta (DNS darab)
  - radioaktív jelölés
  - kis minta sűrűség** (100-1000 pont/cm<sup>2</sup>)



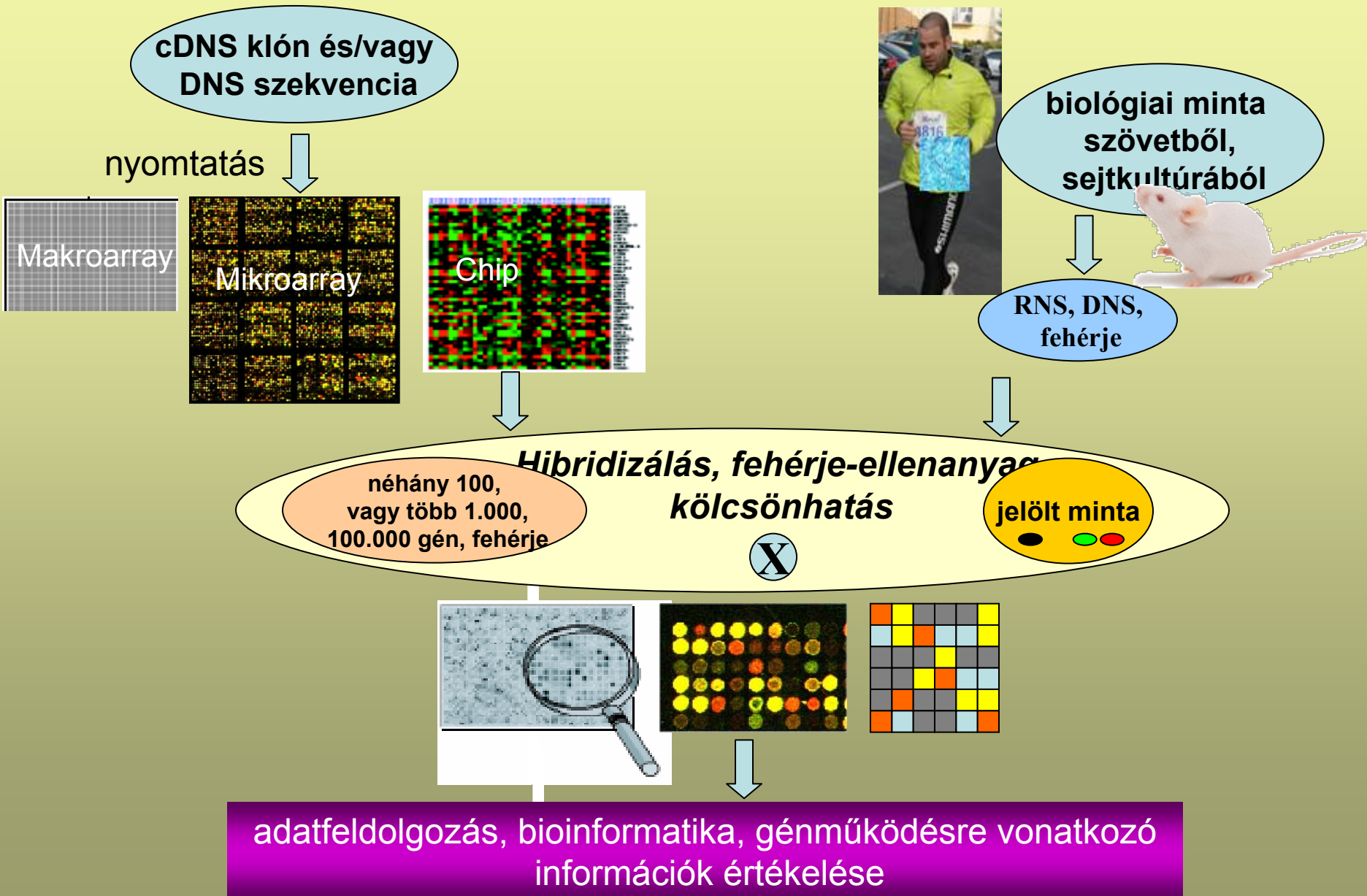
- üveglemezen több 10.000-100.000 génspecifikus minta (DNS darab)
  - fluoreszcens jelölés
  - közepes mintasűrűség** (5000 pont/cm<sup>2</sup>)

chip

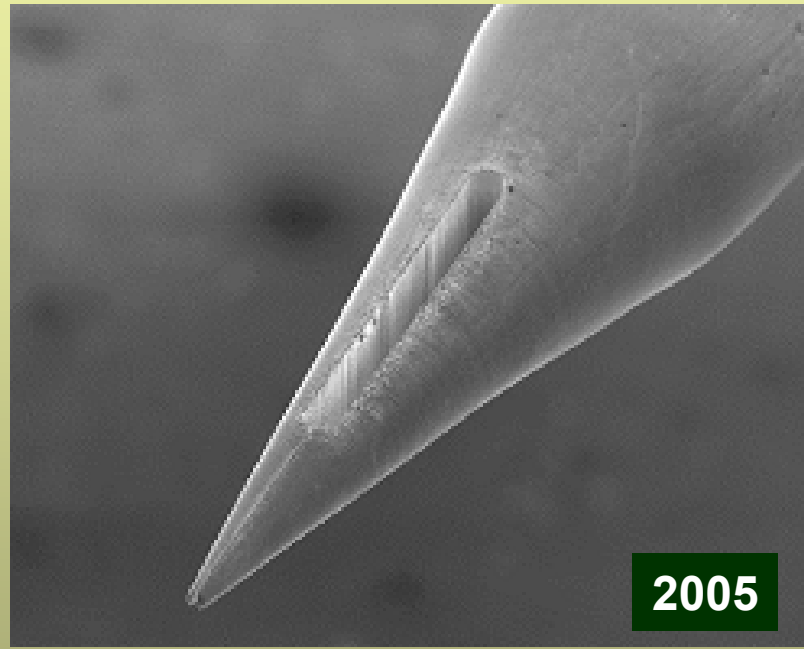
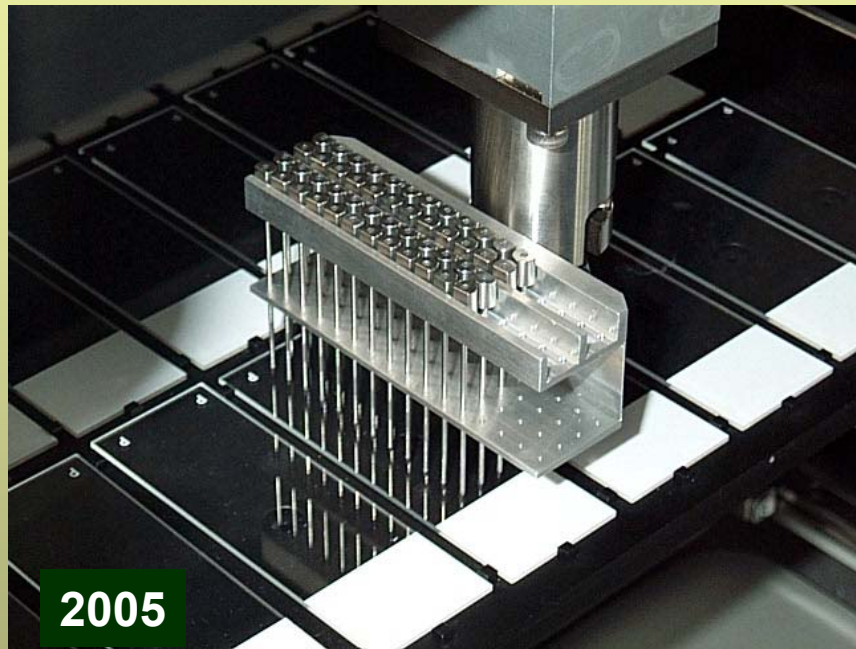


- üveglemezen több 100.000-1.000.000 génspecifikus minta (DNS darab)
  - fluoreszcens jelölés
  - nagy minta sűrűség** (10.000pont/cm<sup>2</sup>)

# Egy csipkísérlet általános lépései

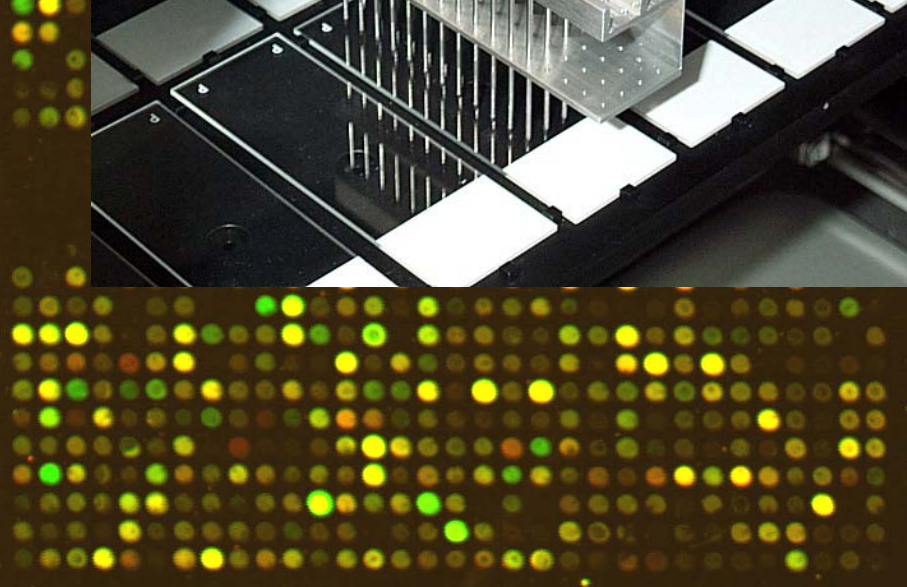
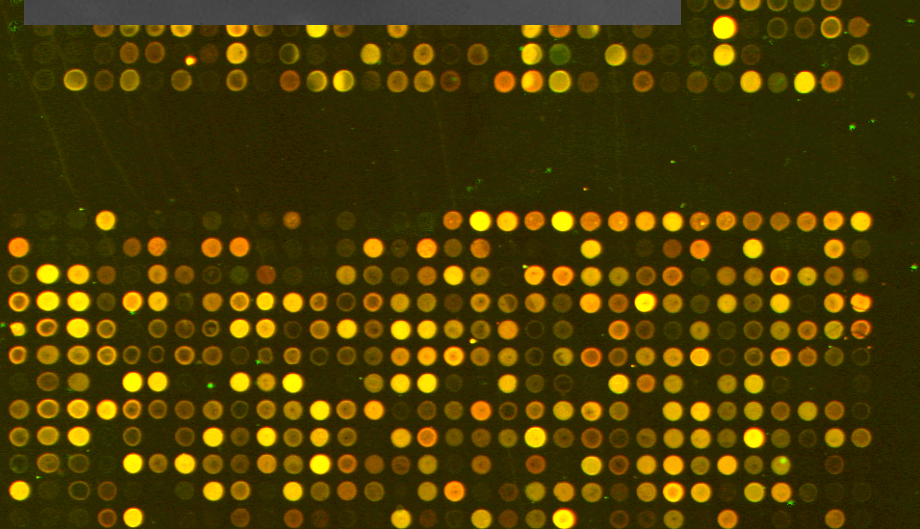
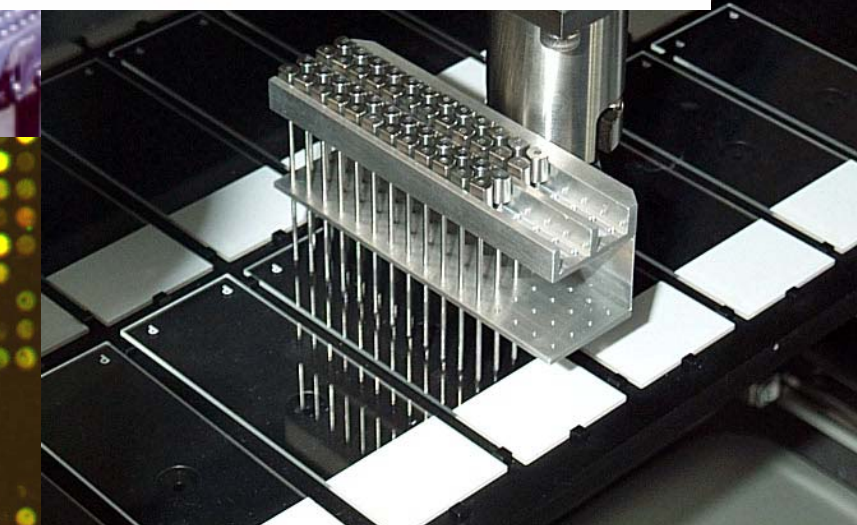
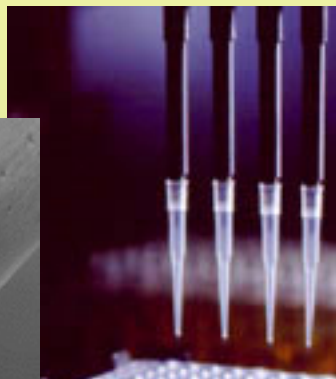
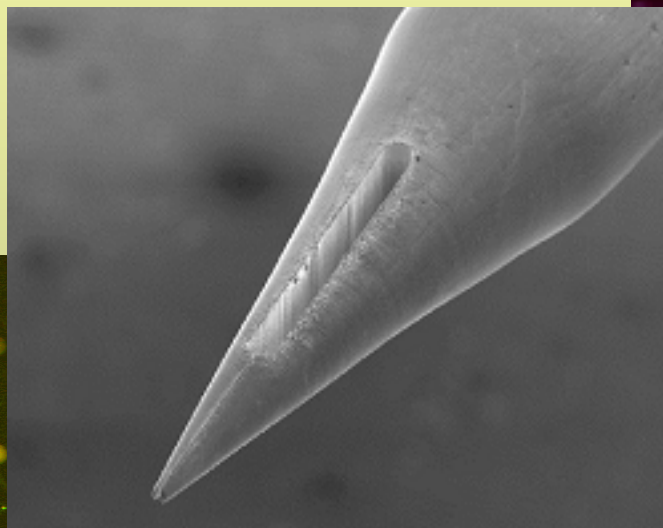




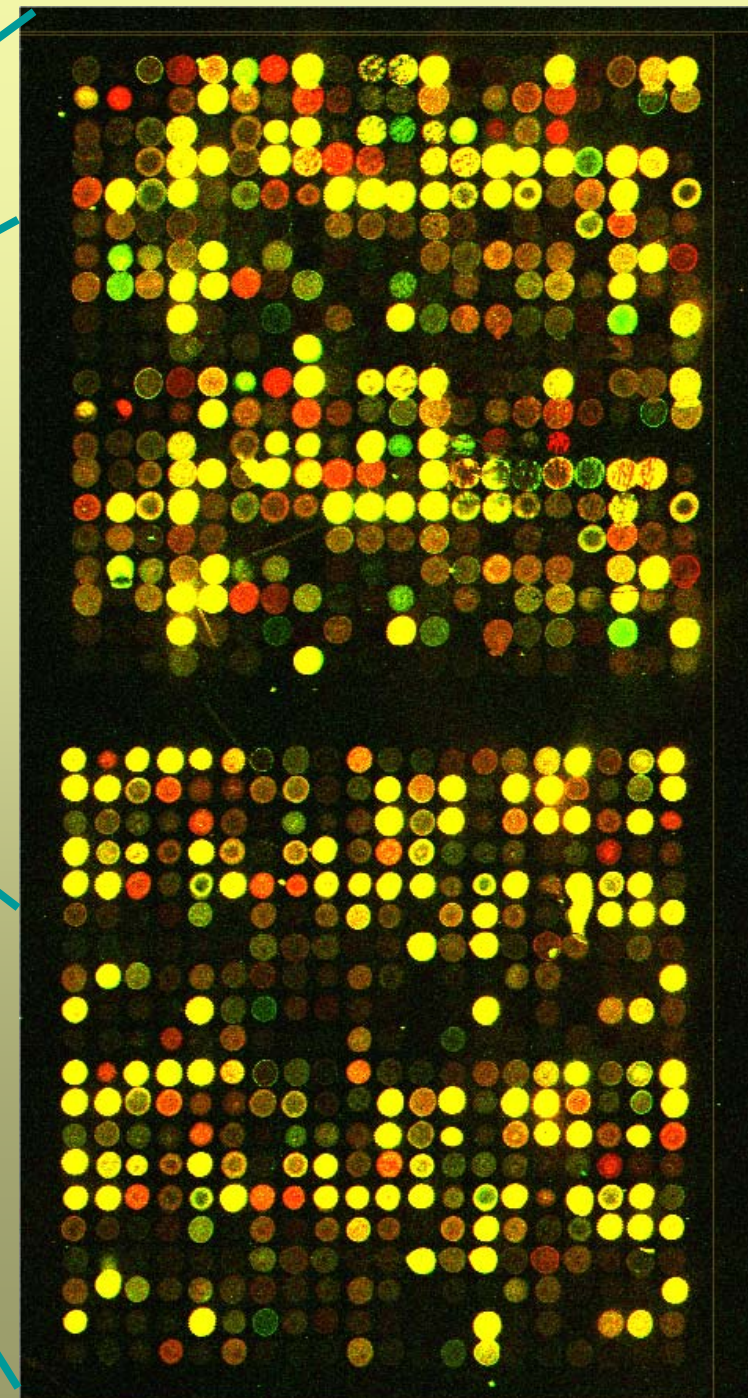
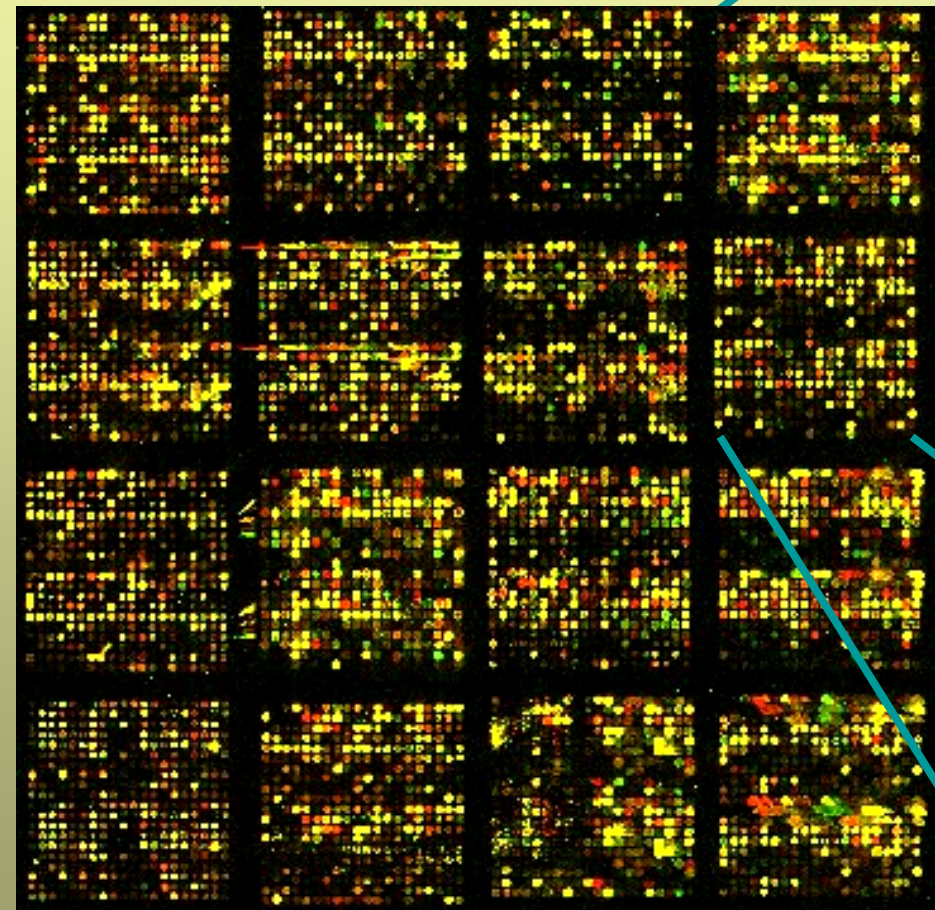




# DNS-chipek/DNS-microarrayek készítése



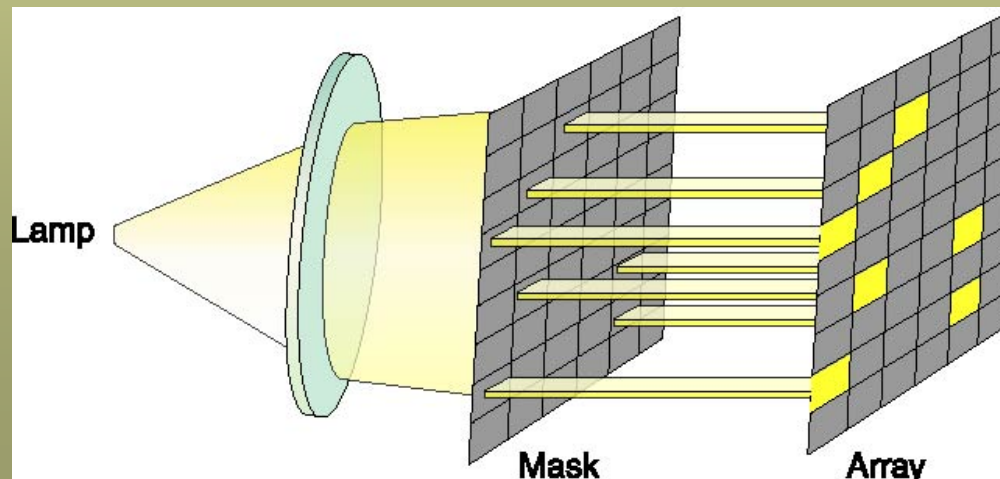
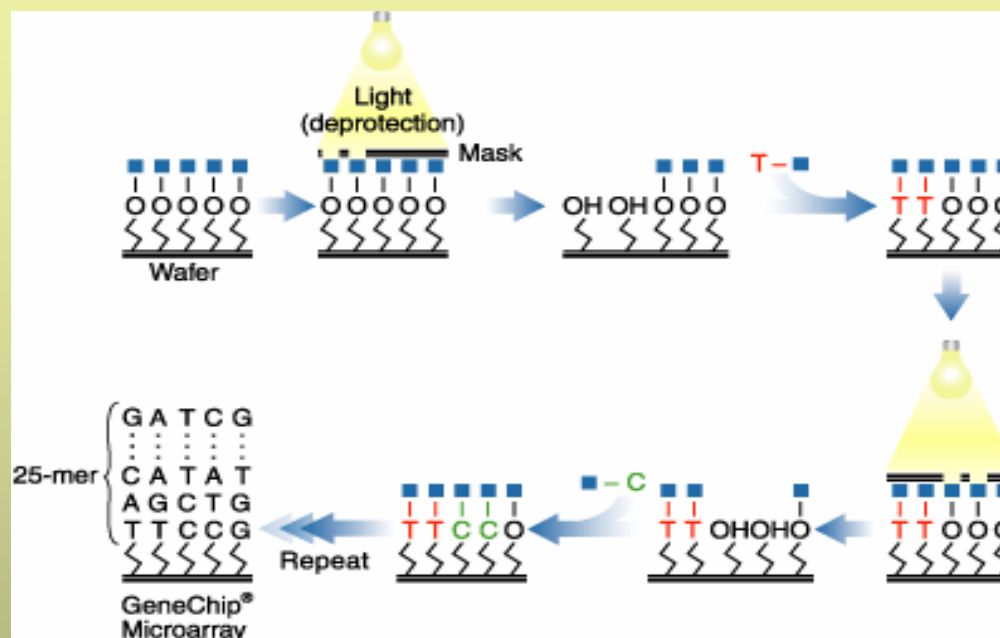
# Human-I Mouse-I Rat-I DNS-chip



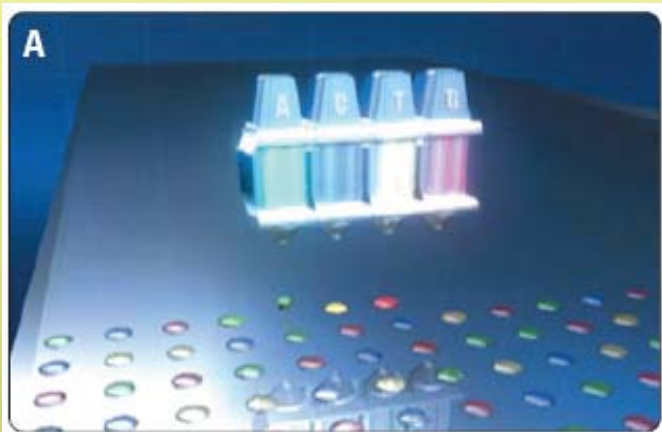
# Oligonukleotid alapú chip készítése in situ szintézis

Affymetrix

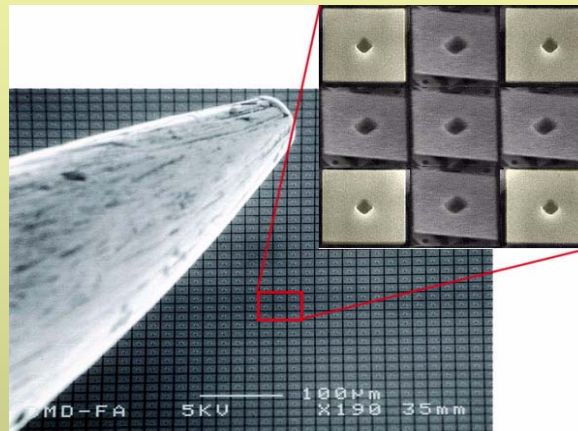
## CHIPKÉSZÍTÉS



# Alternatív technológiák oligonukleotid DNS-chipek gyártására



inkjet-printed microarrays  
(e.g. Agilent)



maskless array synthesizer  
(e.g. Nimblegen)



# CARP Gene database & bioinformatics tools for microarray selection



NCBI: over 10.000 uncurated sequences

CarpBase: over 15.000 expressed sequence tags (ESTs)

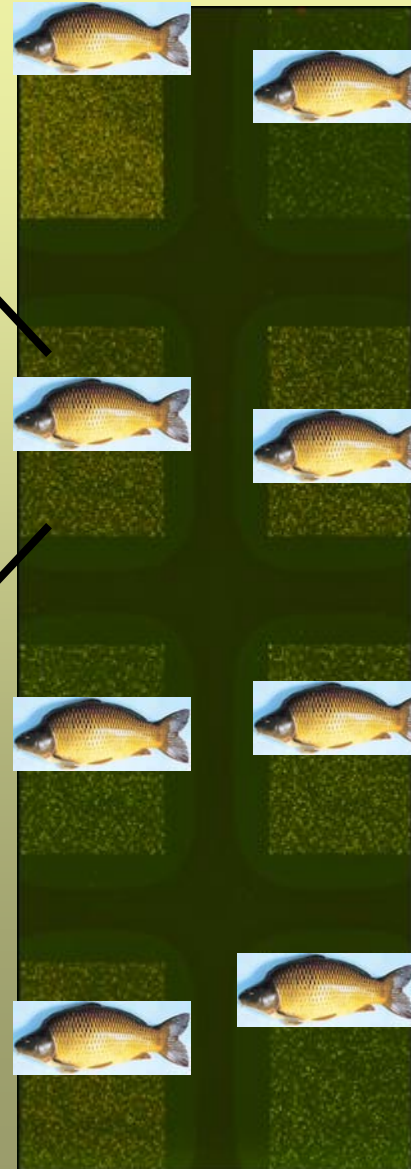
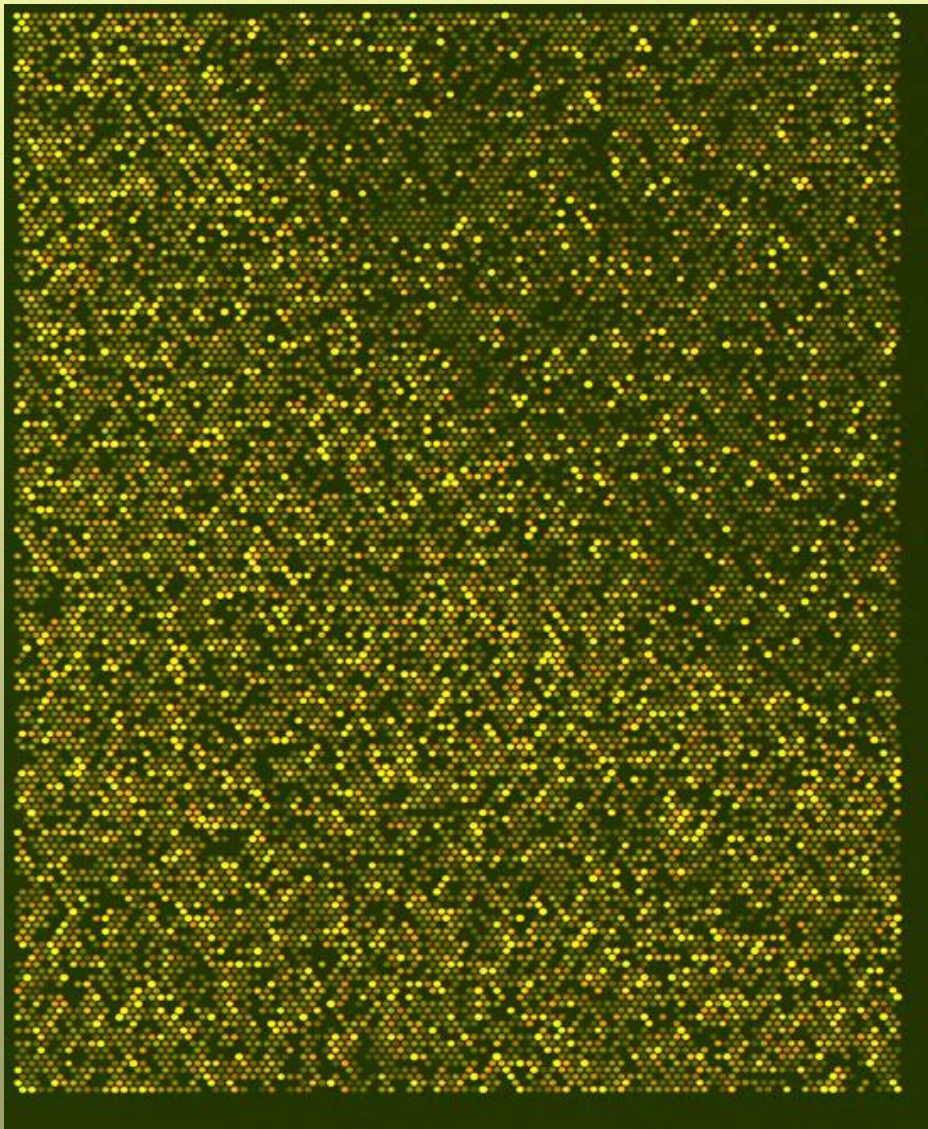
**Probe Design**  
15.000 gene-specific  
oligonucleotide sequences

DNA-microarray construction

homology search Blast  
sequence comparisons  
EST contig construction

15.000 cured ESTs,  
functional groups,  
gene families,  
annotation

# Ponty DNS-microarray formátum



**Analysis of  
8 carps in  
1 microarray  
experiment  
15.000 gene  
analysis  
each**

# Különböző stressznek kitett pontyok (vér, máj, kopolytú) génexpressziós vizsgálata



Sample collection (gill, blood, liver)  
RNA preservation  
transportation  
RNA preparation  
cDNA conversion  
(banking for future studies)  
DNA-microarray  
HTS-QRT-PCR

# A táplálék kölcsönhatása a génekkel, génállománnyal



Rövidtávú és  
Hosszútávú hatások  
sejtszintű és  
Fiziológiás változások

Kitajka et al. (2002) PNAS 99, 2619;

Barcelo-Coblijn, G (2003) PNAS 100, 11321.

Kitajka (2004) PNAS 101, 10931

Puskás et al. (2003) PNAS 100, 1580-1585.

Puskás et al. (2004) Biochimie 86, 817.

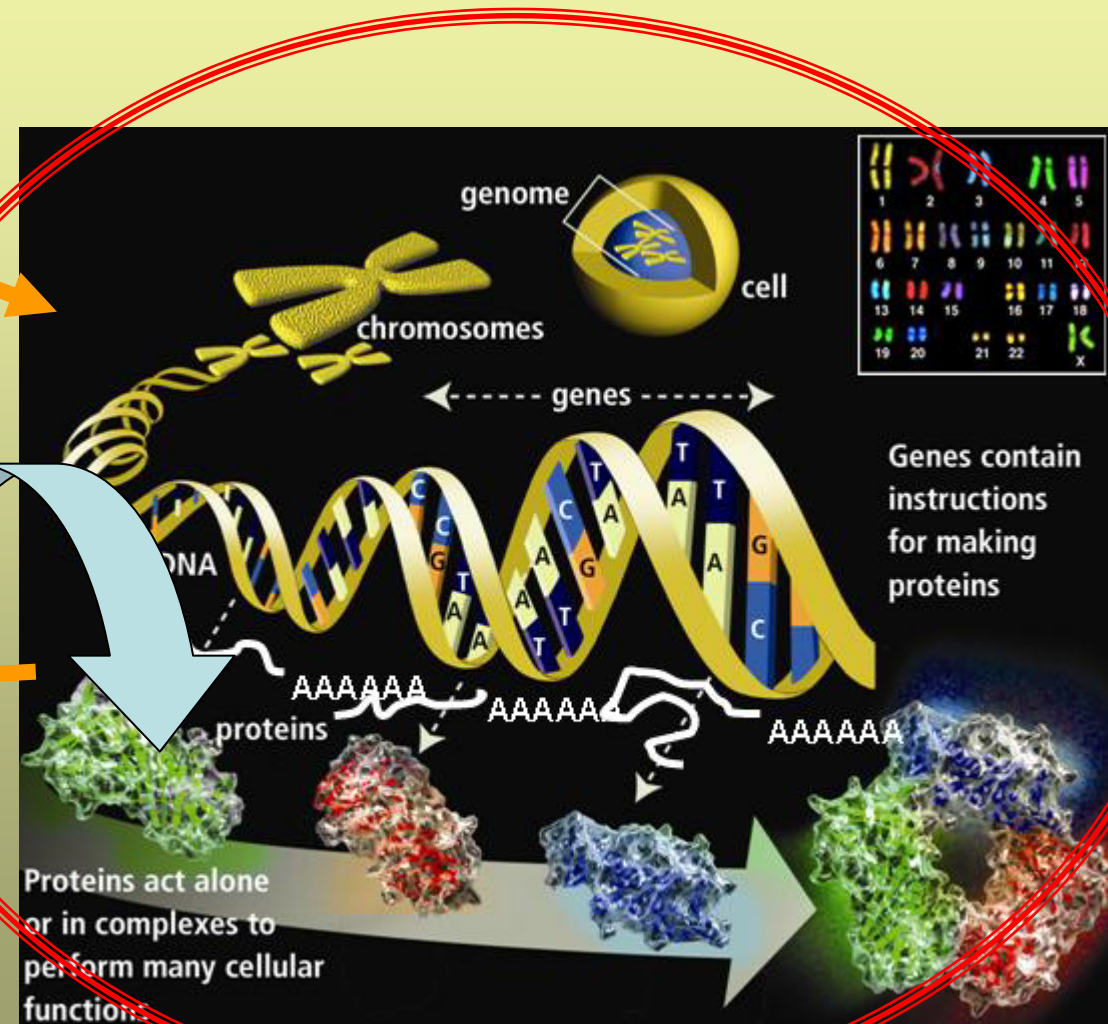
Jayasooriya et al (2005) PNAS 102, 7133.

Puskas et al. (2006) Curr Pharm Biotechnol. 7, 525

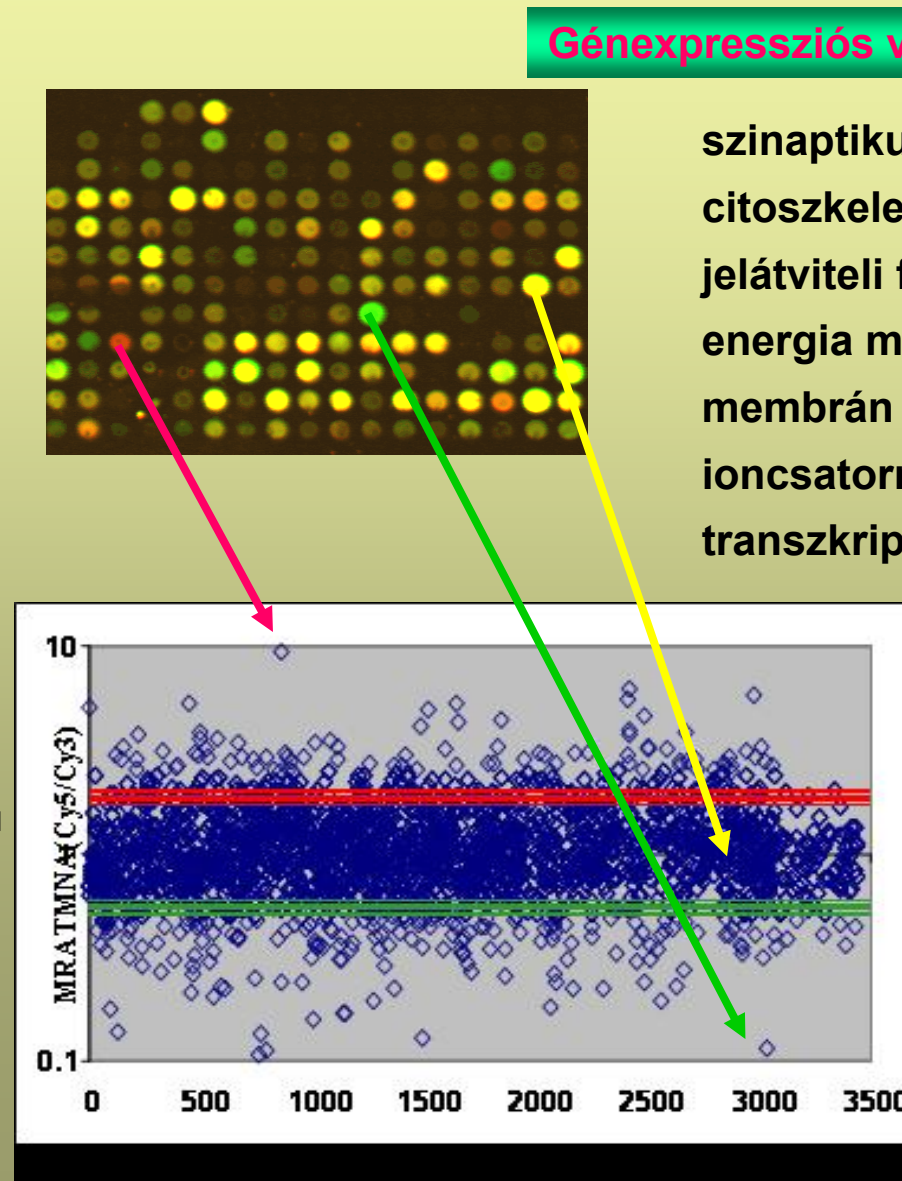
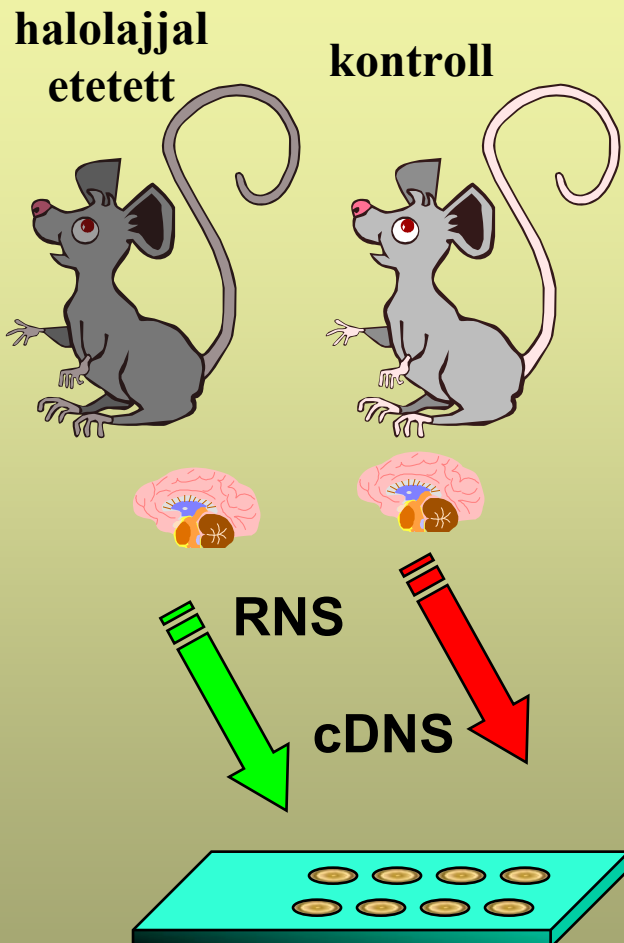
Puskas LG, Kitajka K. (2006) Nutr Health. 18, 227

Ménesi D et al. (2009) Prostaglandins Leukot Essent Fatty Acids

DasUN, Puskas LG (2010) Lipids Health Disease



# N-3 politelítetlen zsírsavakat tartalmazó diéta hatásának vizsgálata cDNS-chip technológiával

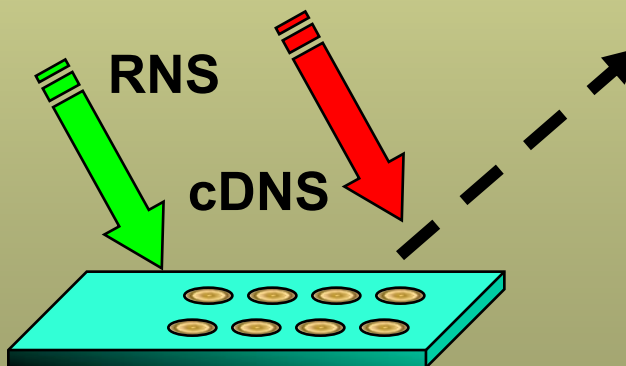


# Antidepresszánsok hatásának vizsgálata DNS-chip technológiával patkány agyban

kontroll  
kezelt  
haloperidol,  
riszperidon

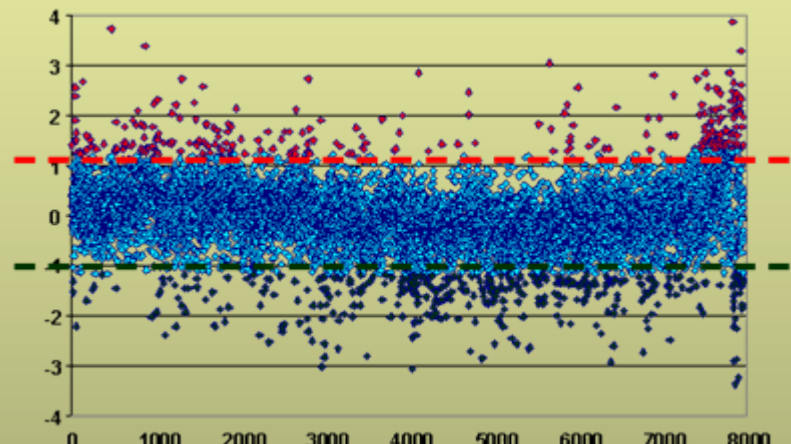


temporális agykéreg



patkány cDNS-chip  
3200 génspecifikus minta  
6400 mintapont

**LEHETŐSÉGEK**  
Hatásmechanizmus, kinetika  
(akut és krónikus kezelések) terápiás-toxikus dózis  
potenciális gyógyszerek, gyógyszercélpontok felderítése



## Génexpressziós változások

Jelátviteli folyamatok (Erk-2 kinase, ryk-related, Janus prot. Tyk 1)

Szerkezeti fehérjék (tubulin, fibronectin)

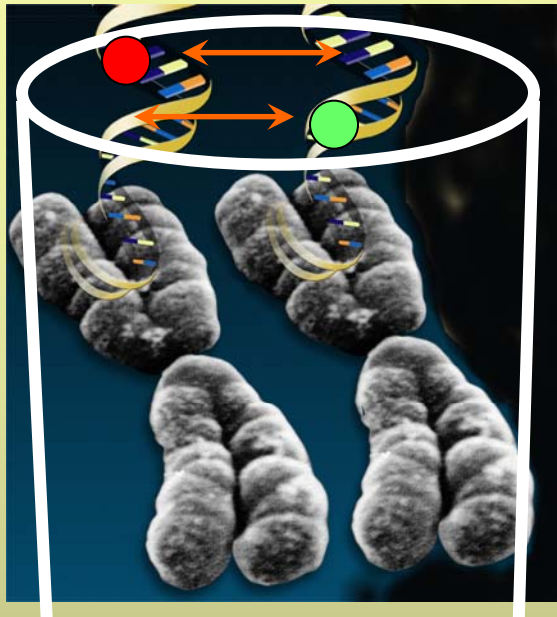
Fehérje metabolizmus (proteasomal subunits, ubiquitin proteins)

Sejt túlélés, apoptózis (midkine, stress-inducible protein)

Szinaptikus plaszticitás, növekedési faktorok, Ca-háztartás (follistatin-like protein, basic fibroblast growth factor, pleiotrophin)

# Genomi átrendeződések és változások vizsgálata csipteknikával

# Pontmutációk (SNP) detektálása



CCATGG  
Vad típus

CCCTGG  
Mutáns

1. SNP

GCTACC  
Vad típus

GT TACC  
Mutáns

2. SNP

- Oligonukleotid alapú chipek
- egy nukleotid eltérés azonosítása

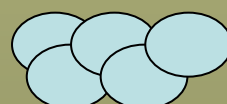
Jelölt  
DNS



hibridizáció

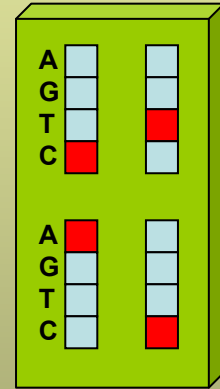


DNS



mosás

1. SNP  
3 pozíció  
2. SNP  
2 pozíció

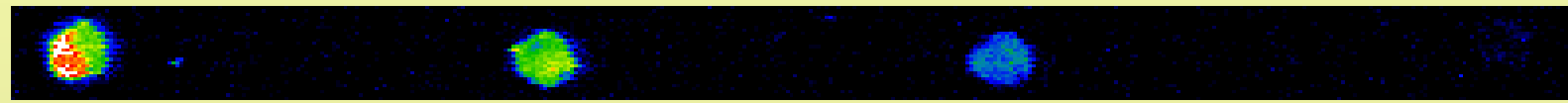


detektálás

Adat analízis

1. SNP: 3. pozíció A-C
2. SNP: 2. pozíció C-T

# Mutációk detektálásának specificitása

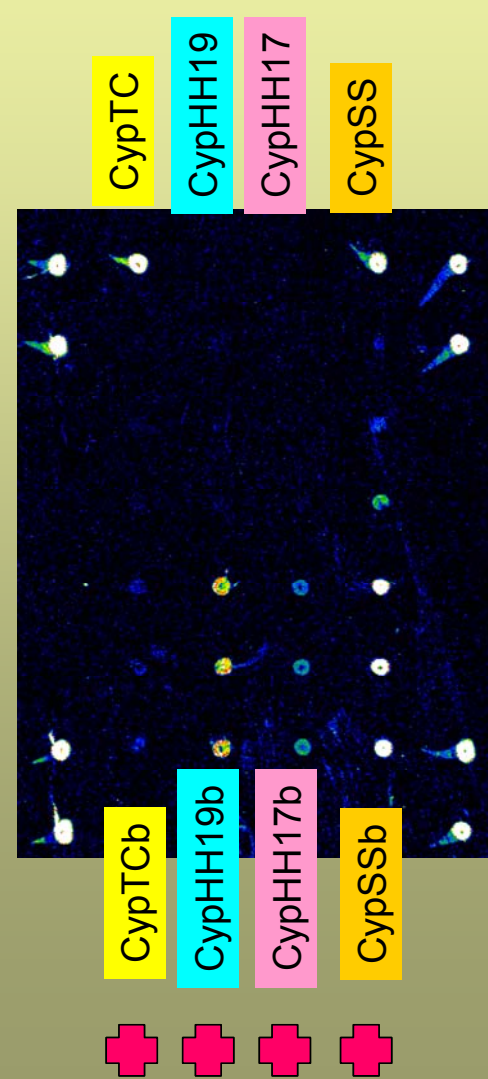
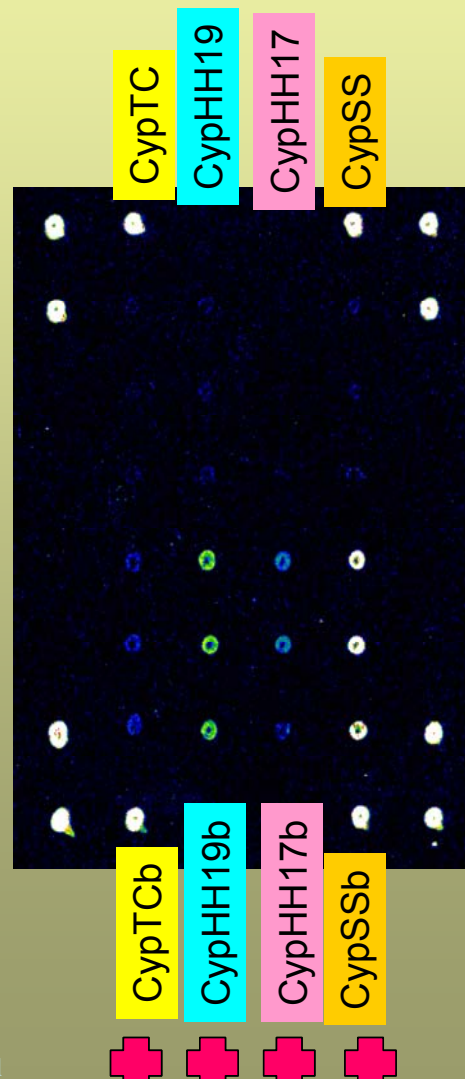


Komplementer

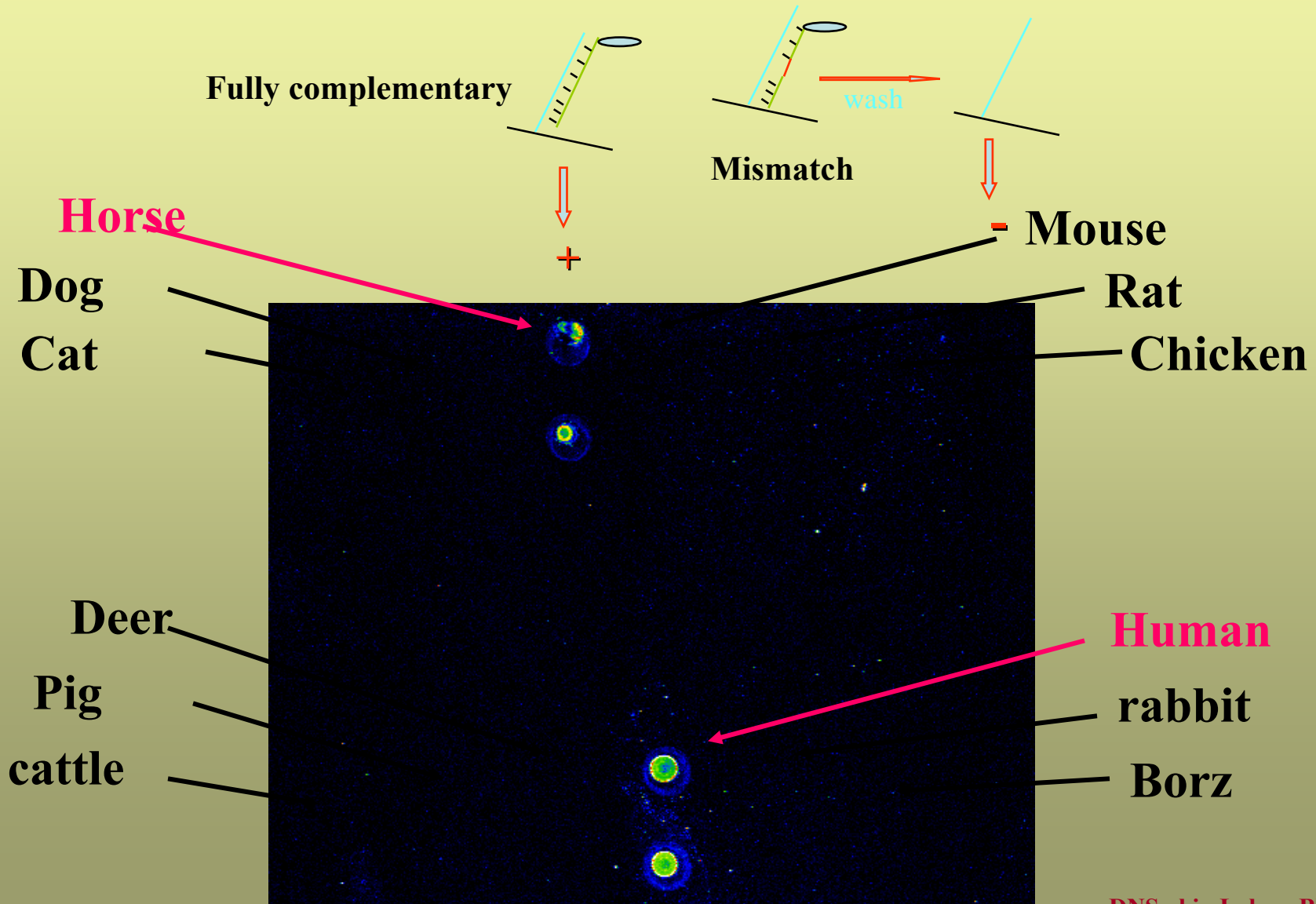
1 mutáció

2 mutáció

3 mutáció

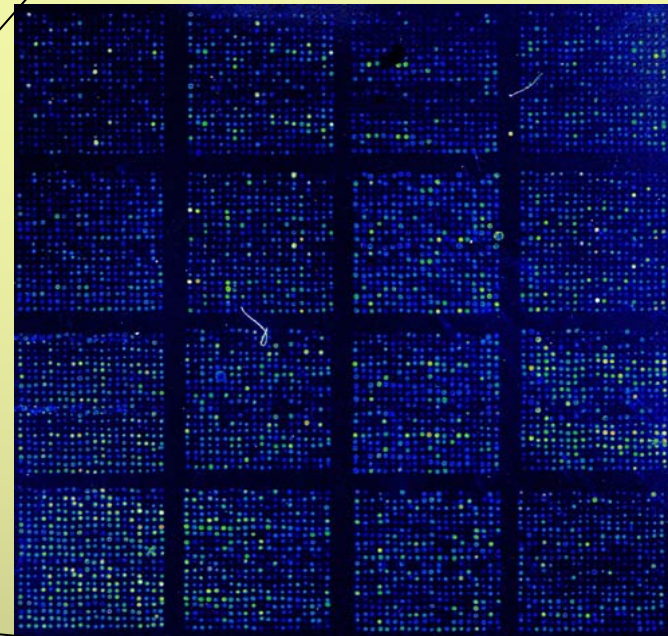
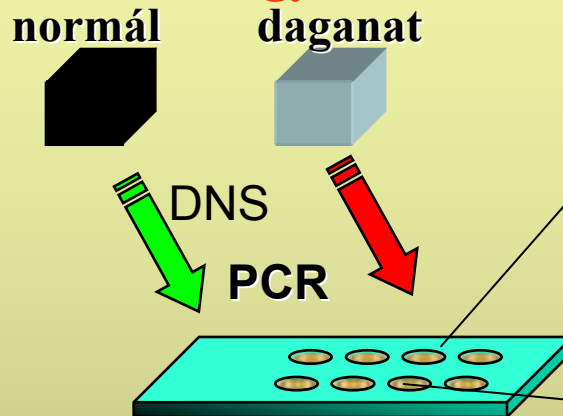


# Fajmeghatározás mitokondriális cytB polimorfizmus alapján

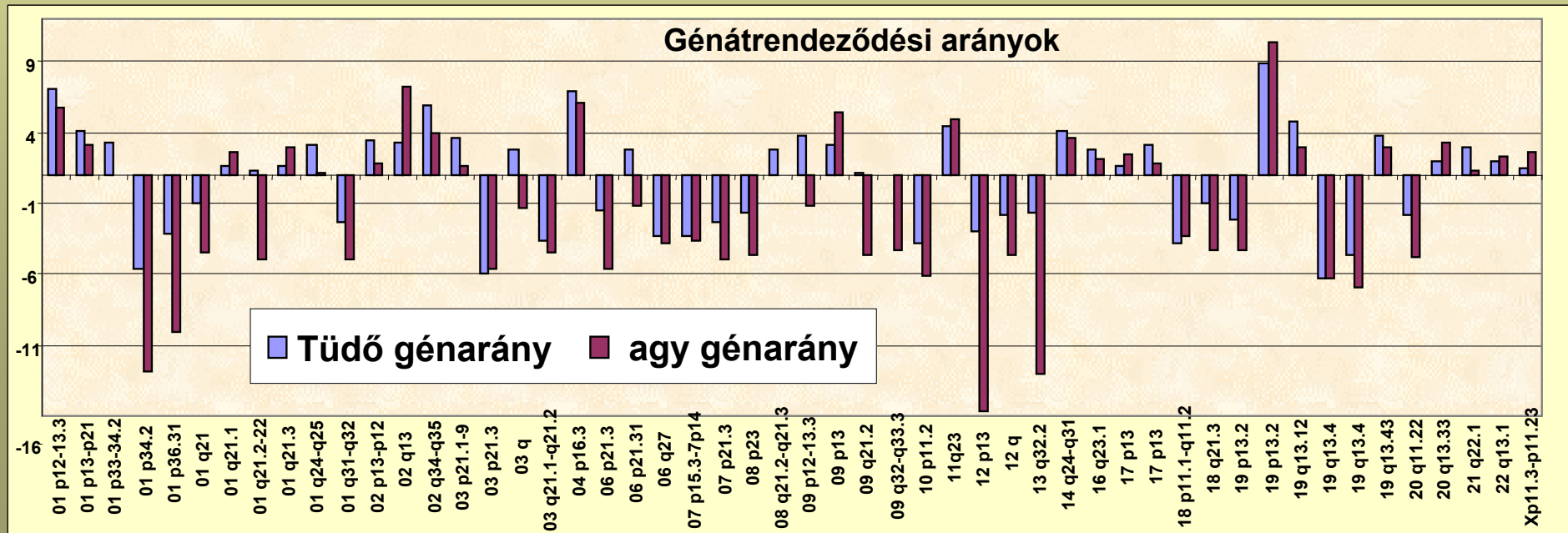


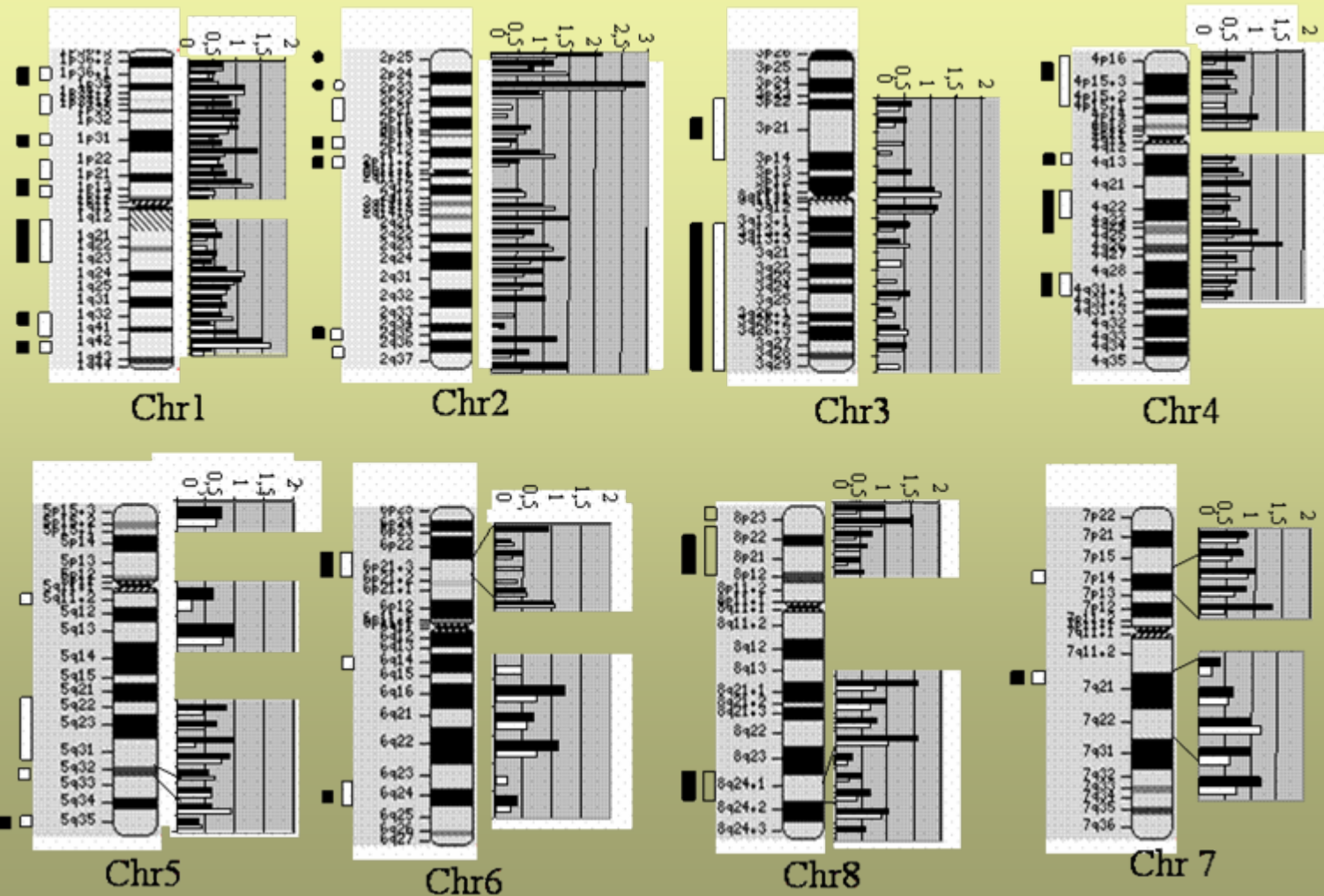
# Genomszintű változások, kromoszóma rendellenességek, amplifikációk, deléciók detektálása

## Paraffinba ágyazott minták

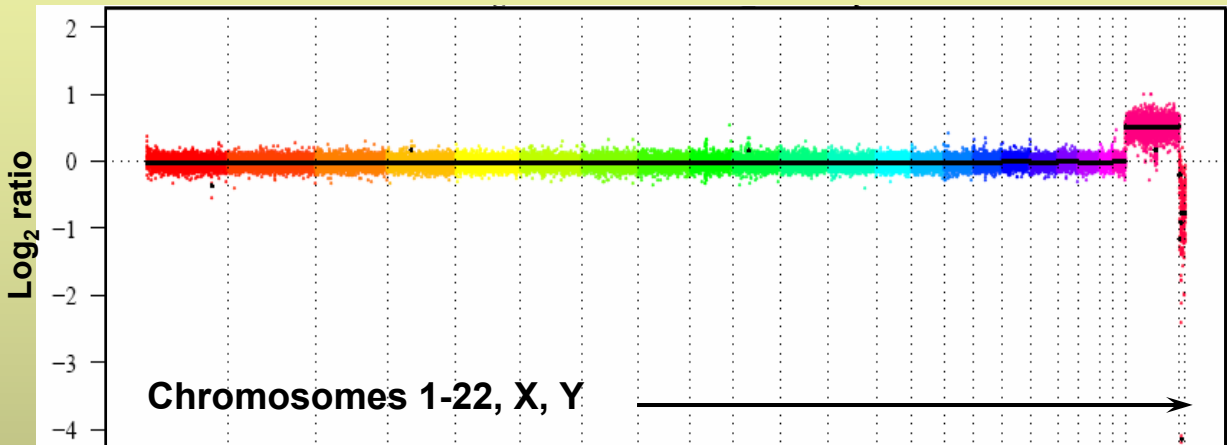


Metasztázisok, tumorok, multiplex tumorok jellemzése, igazolása

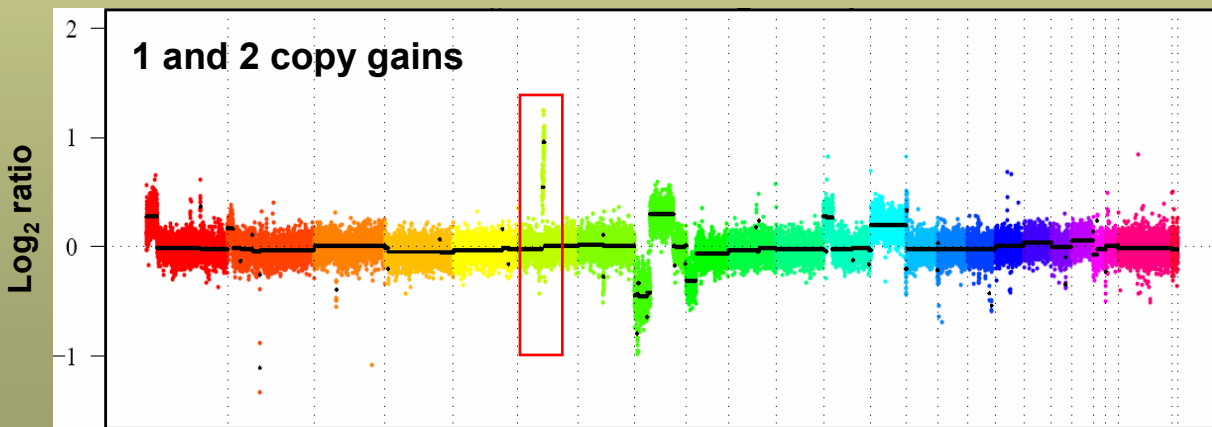




# CGH nagyfelbontású (385K) teljes *genom array-vel*

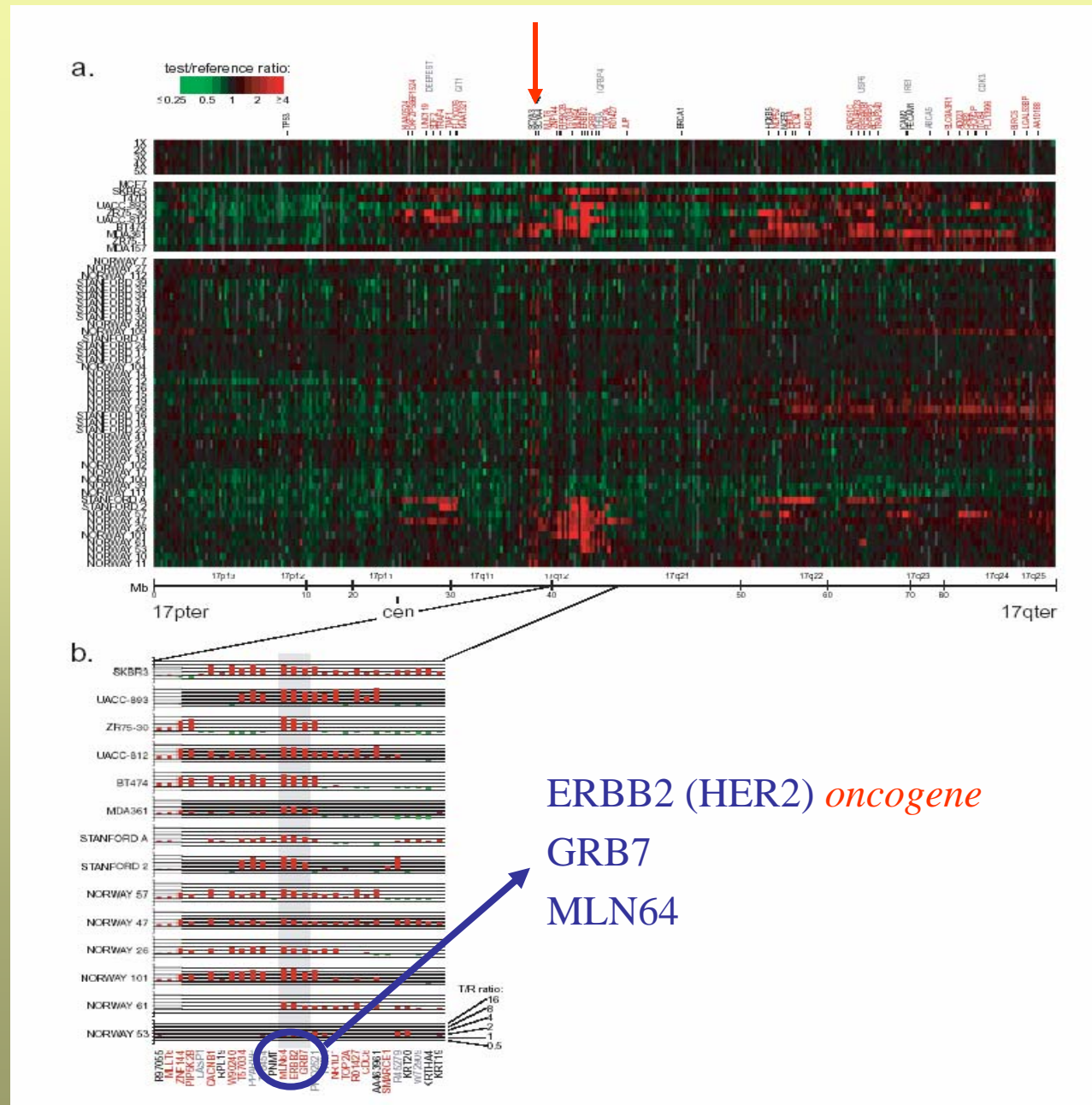


Nő vs. férfi gDNS



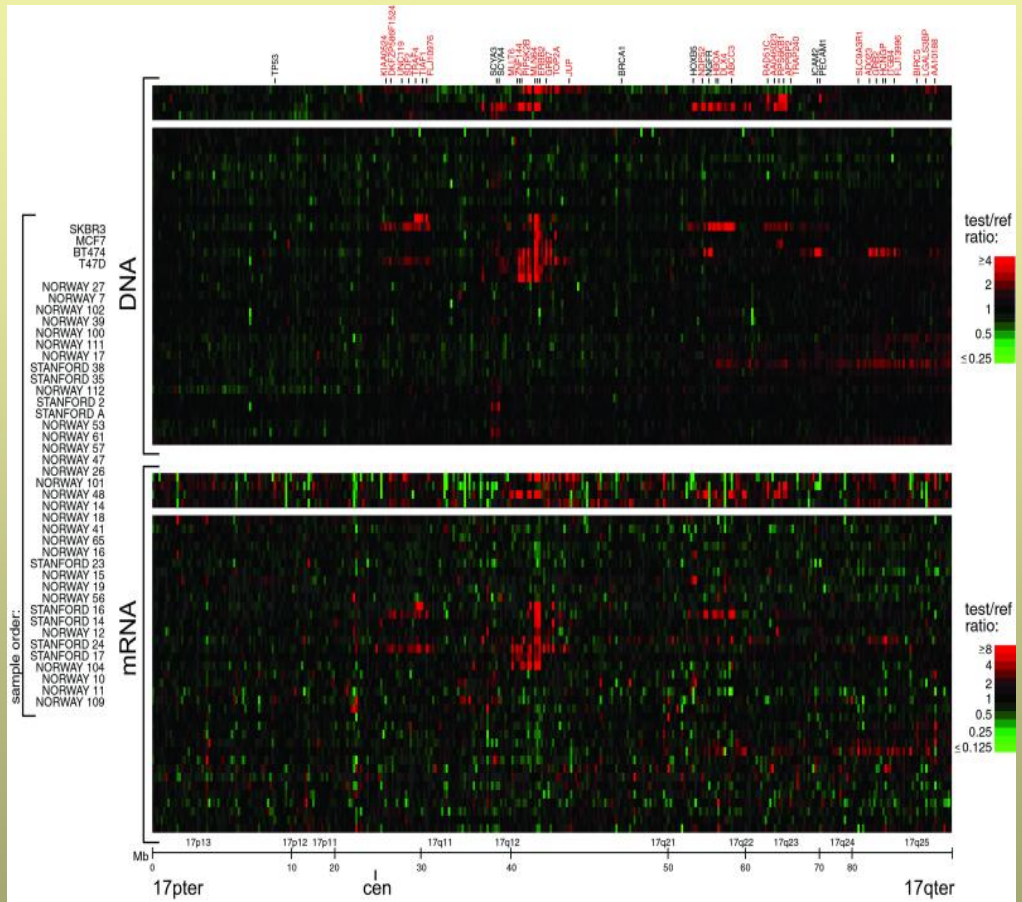
Pajzsmirigy tumor

# Variation in copy number mapping to chr 17

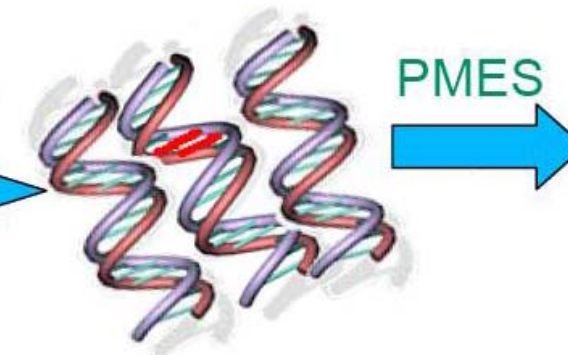
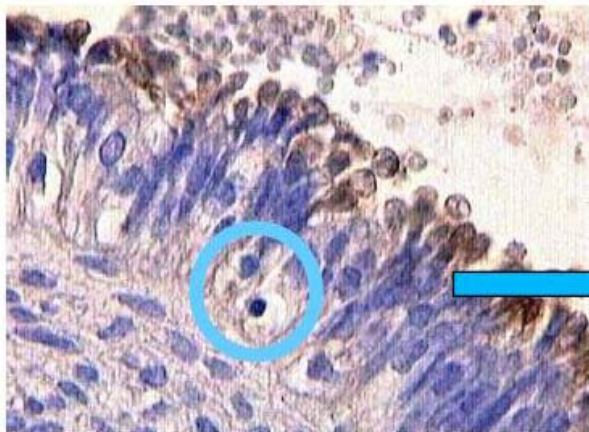


# Párhuzamos mRNS szint vizsgálat

- 117 high level DNA amplifications (91 different genes)
- 62% (54 genes) found associated with at least moderately elevated mRNA
  - 12/54 genes are oncogenes or candidates
- 42% (36 genes) found associated with highly elevated mRNA.



# Egyedi genomi eltérések detektálása?



AGC TCC CGG TAC  
AGC TCC GGG TAC  
AGC TCC TGG TAC  
AGC TCC AGG TAC

Drug resistance

KRAS mutaton correlates with  
resistance to e.g. Erbitux

## Újgenerációs szekvenálási stratégiák

# Átfogó fehérjekifejeződés és fehérjemódosítások vizsgálata fehérjecsip technikával

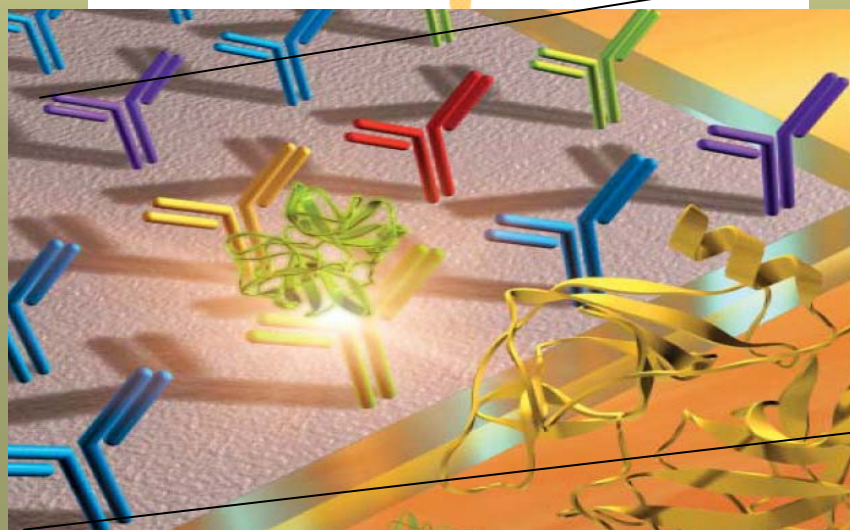
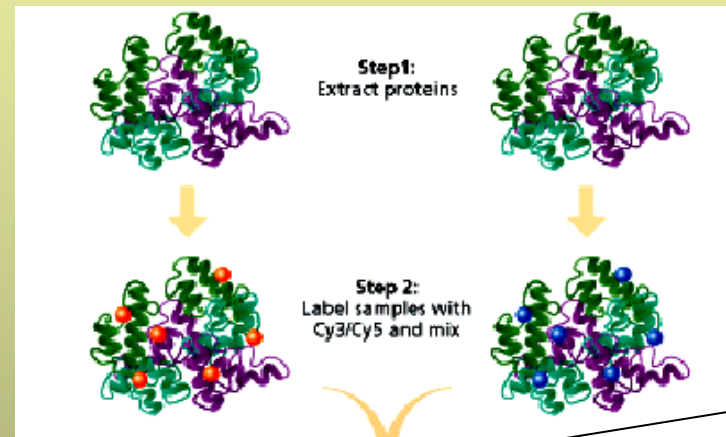
# Fehérje-chipek - eltérően kifejeződő vagy módosított fehérjék azonosítására



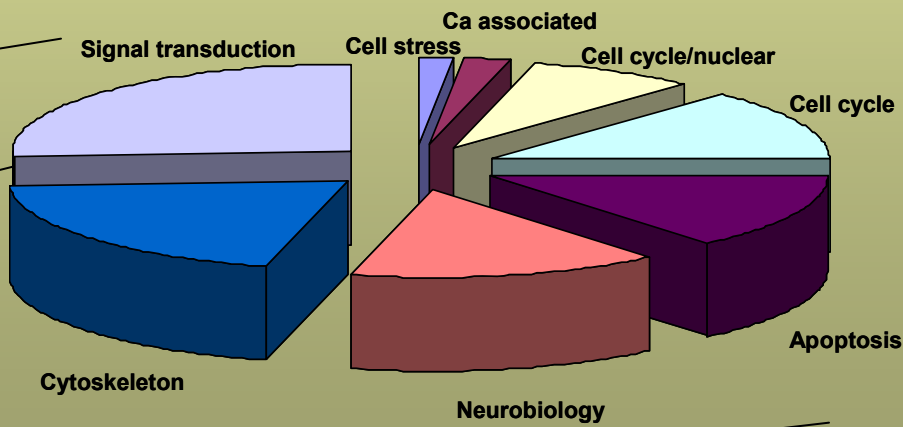
Kezeletlen,  
kontroll



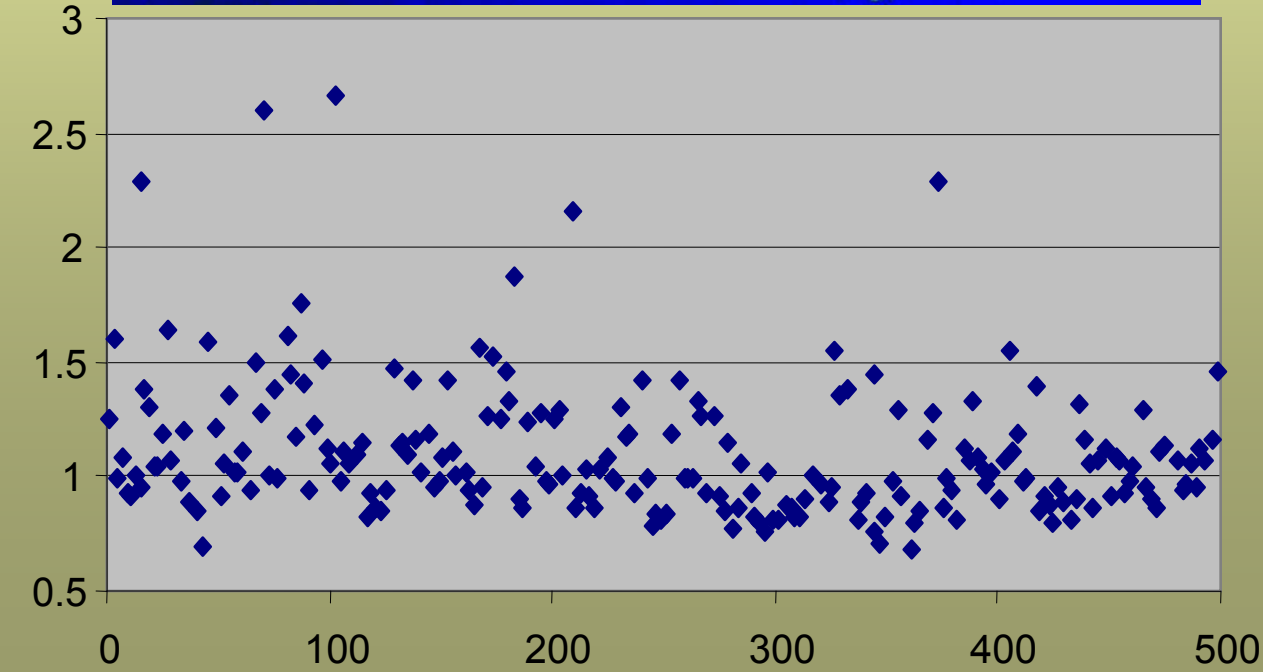
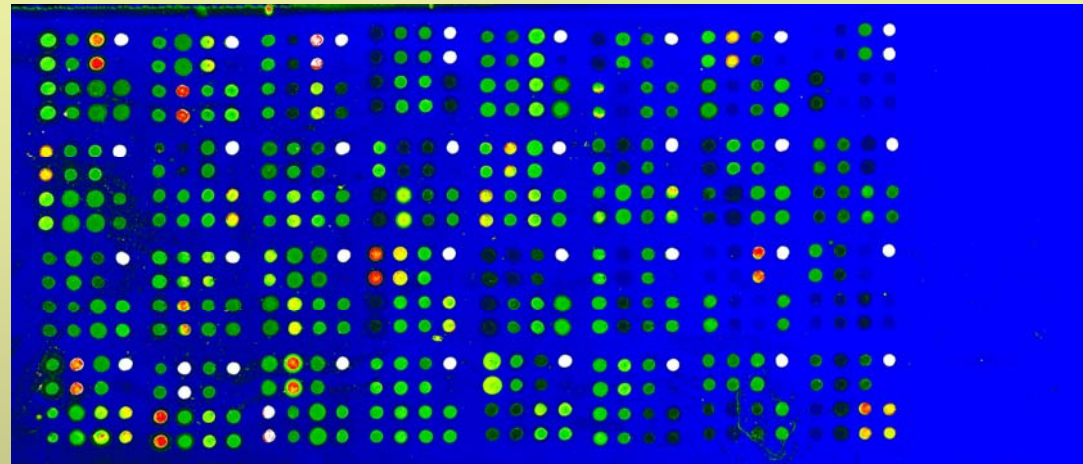
„bár igéretes technológia,  
mégsem annyira megalapozott,  
mint a DNS-csip módszer”



Antitestek, amelyek  
a jelátviteli és egyéb  
folyamatokban  
részttelvő fehérjéket ismeri fel



# Tüdőtumor fehérjecsipes vizsgálata



**cdk5**

**Caspase 7**

**chk1**

**HSP90**

**Adaptin**

**cdc26**

**CyclinE**

**Synaptotagmin**

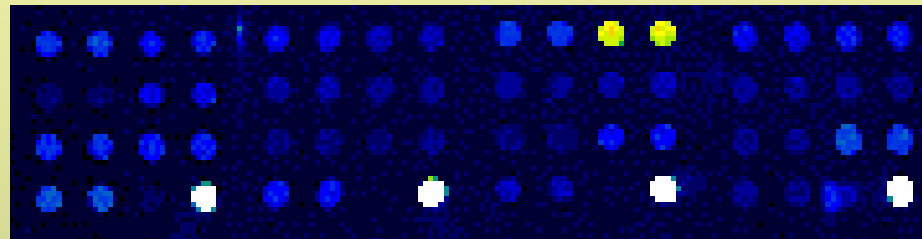
**Caspase11**

**Nicastrin**

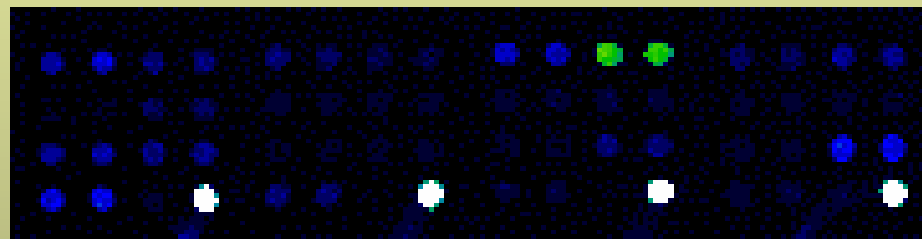
# Specificitás és érzékenység meghatározása

## Caspase 9

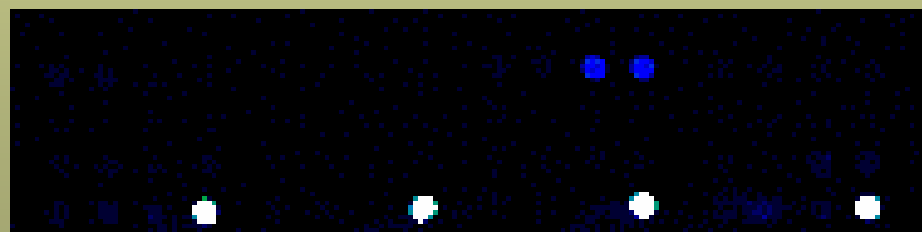
100ng/ml



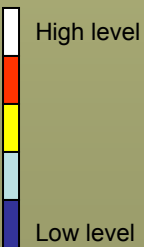
30ng/ml



3ng/ml

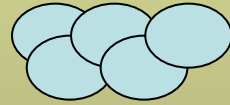
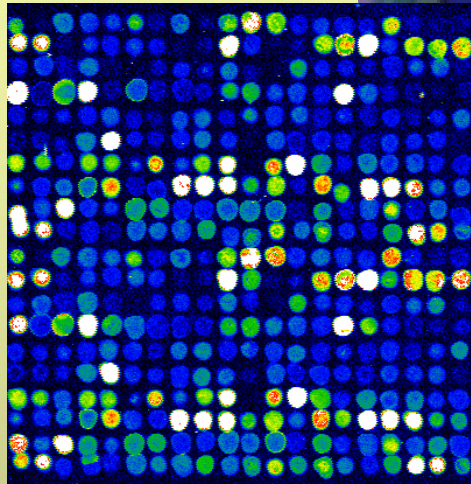


buffer



# **Chip kísérletek adatanalízise elemzések, bioinformatikai megoldások**

# Lézer szkenner Cy5



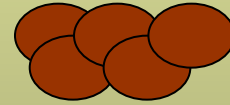
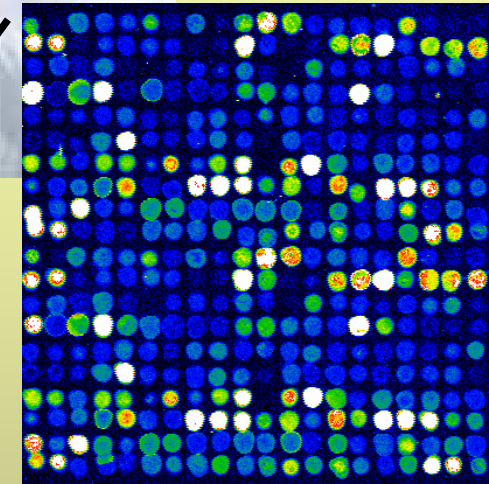
beteg, gyógyszerrel kezelt,  
különböző környezeti  
hatásoknak kitett  
sejt vagy szövet

Cy5 dCTP

jelölt cDNS

# Képanalízis

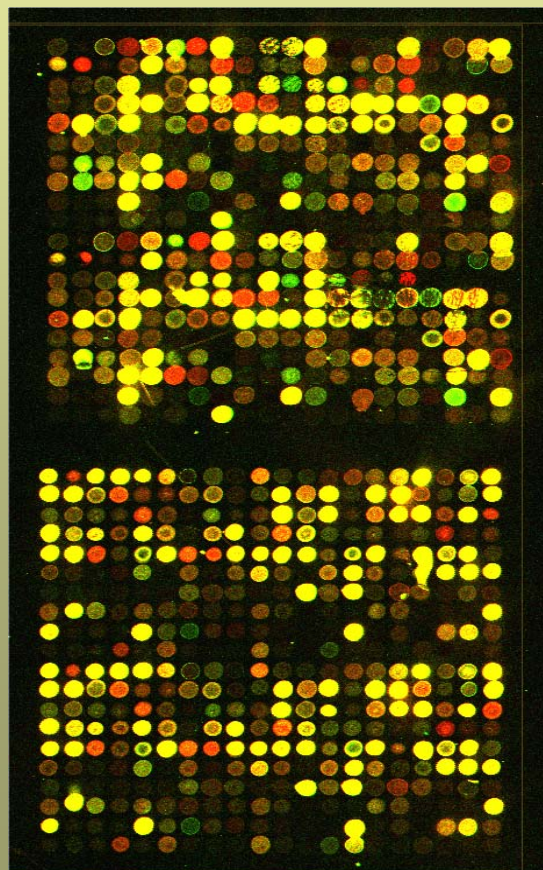
# Lézer szkenner Cy3



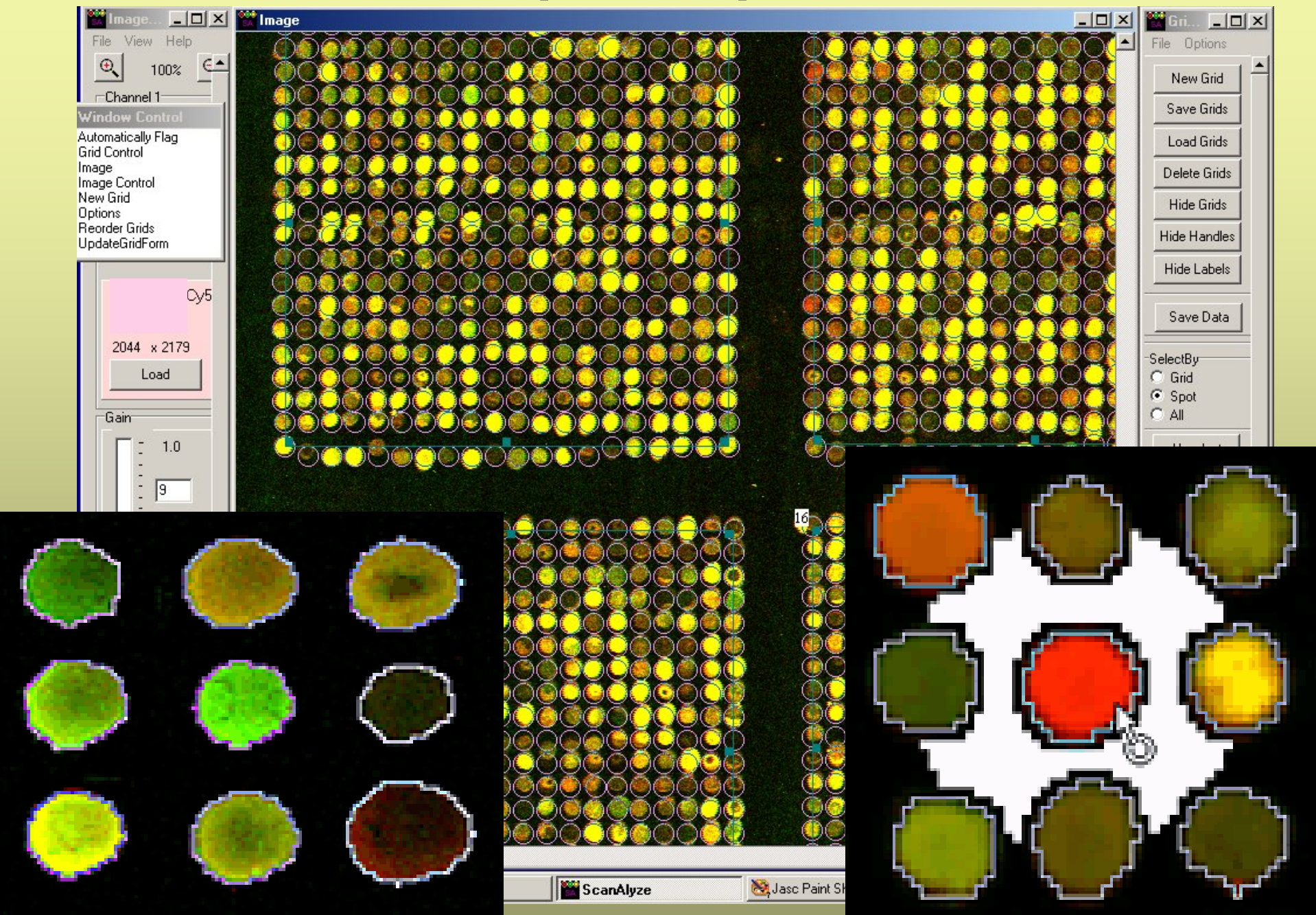
kontroll minta (egészséges,  
kezeletlen)  
sejt vagy szövet

Cy3 dCTP

jelölt cDNS



# DNS-chipek képanalízise

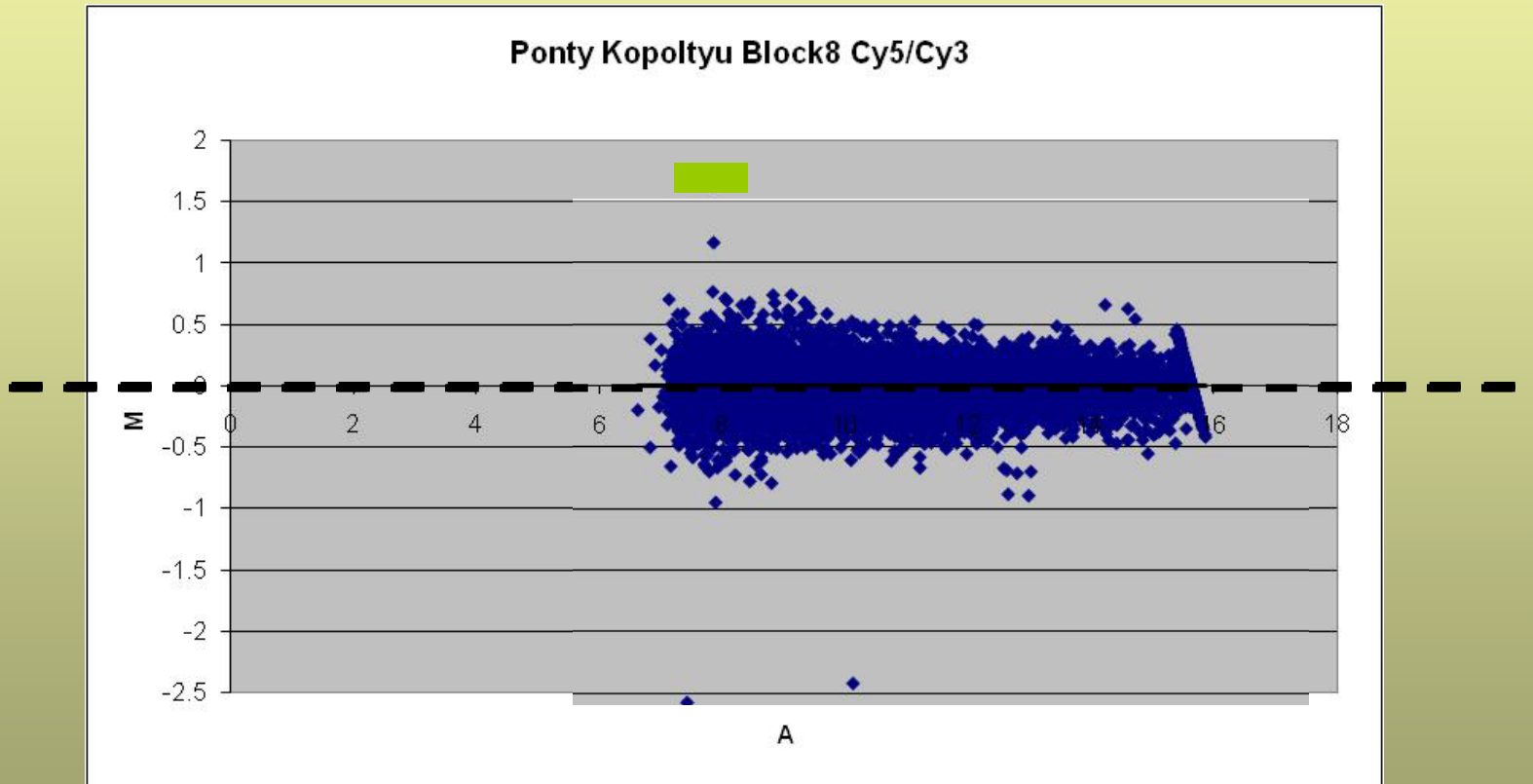


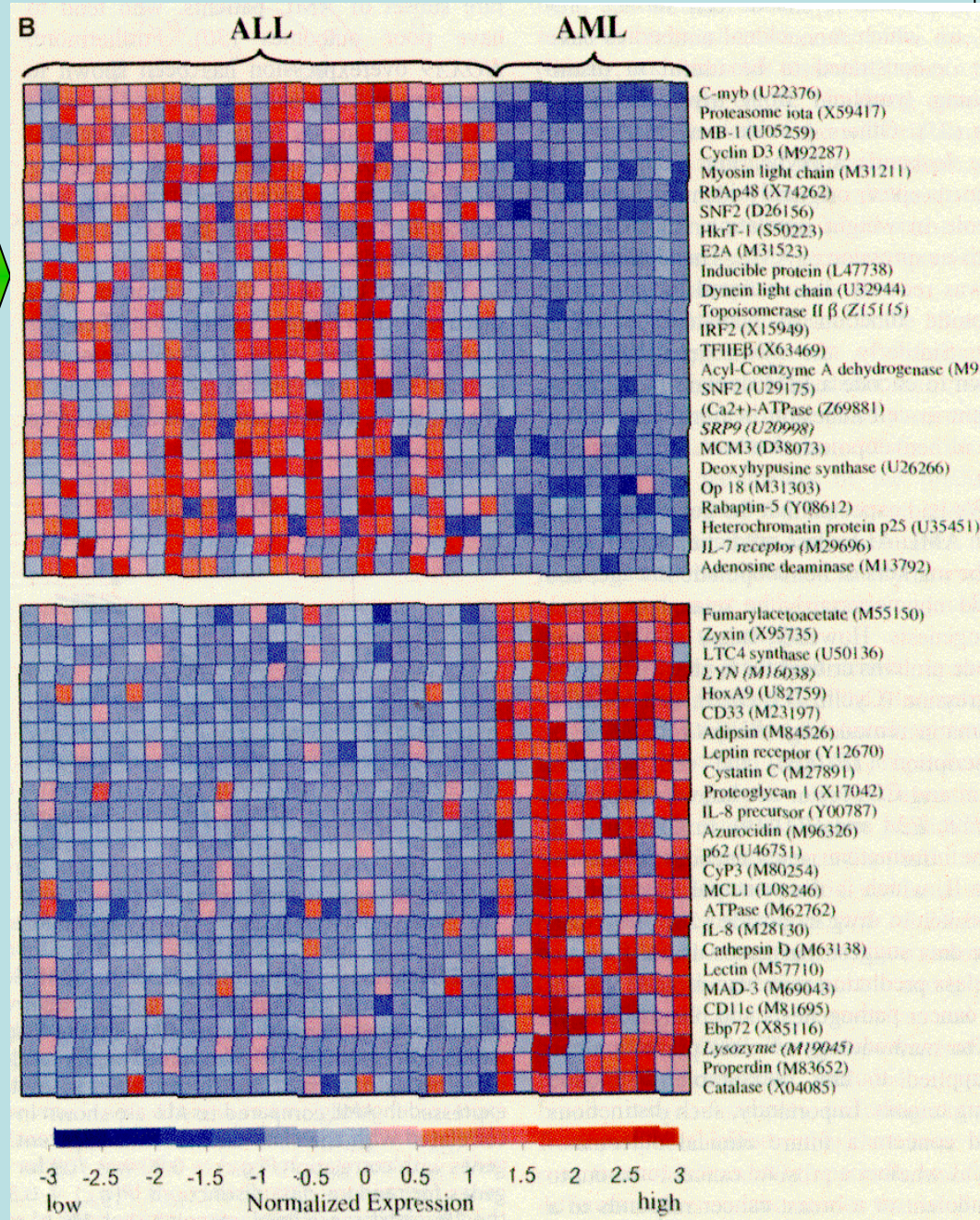
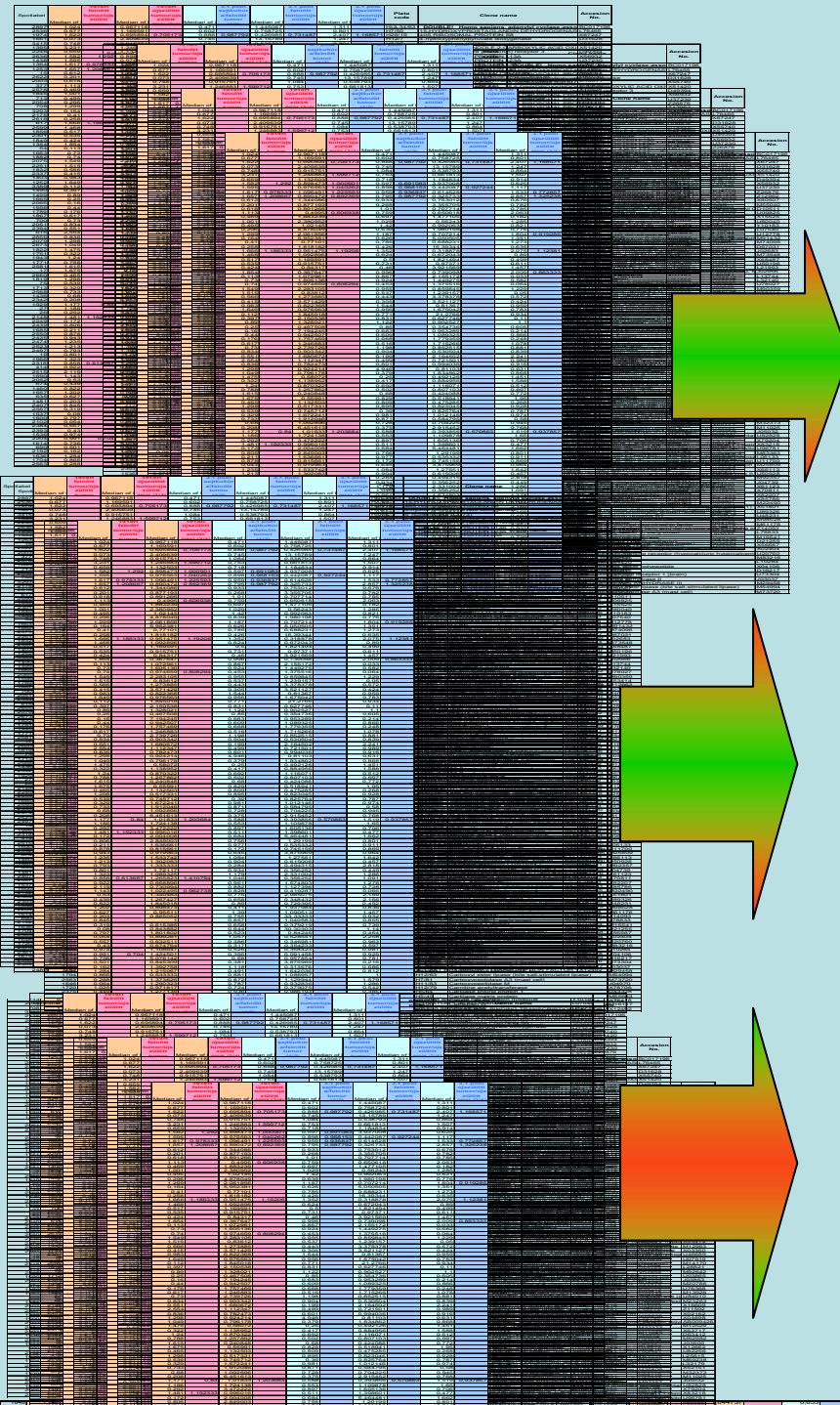
# 1. Informatikai feladat: NORMALIZÁCIÓ



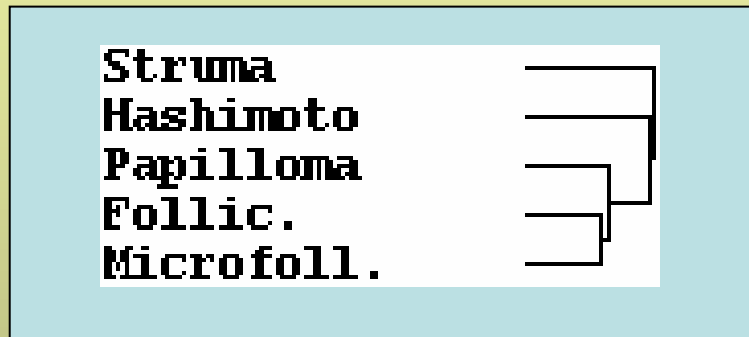
"The computer says I need to upgrade my brain  
to be compatible with microarray data analysis."

# Globális és Lowess normalizációk





# Különböző pajzsmirigy eredetű betegségek hierarhikus klaszteranalítise

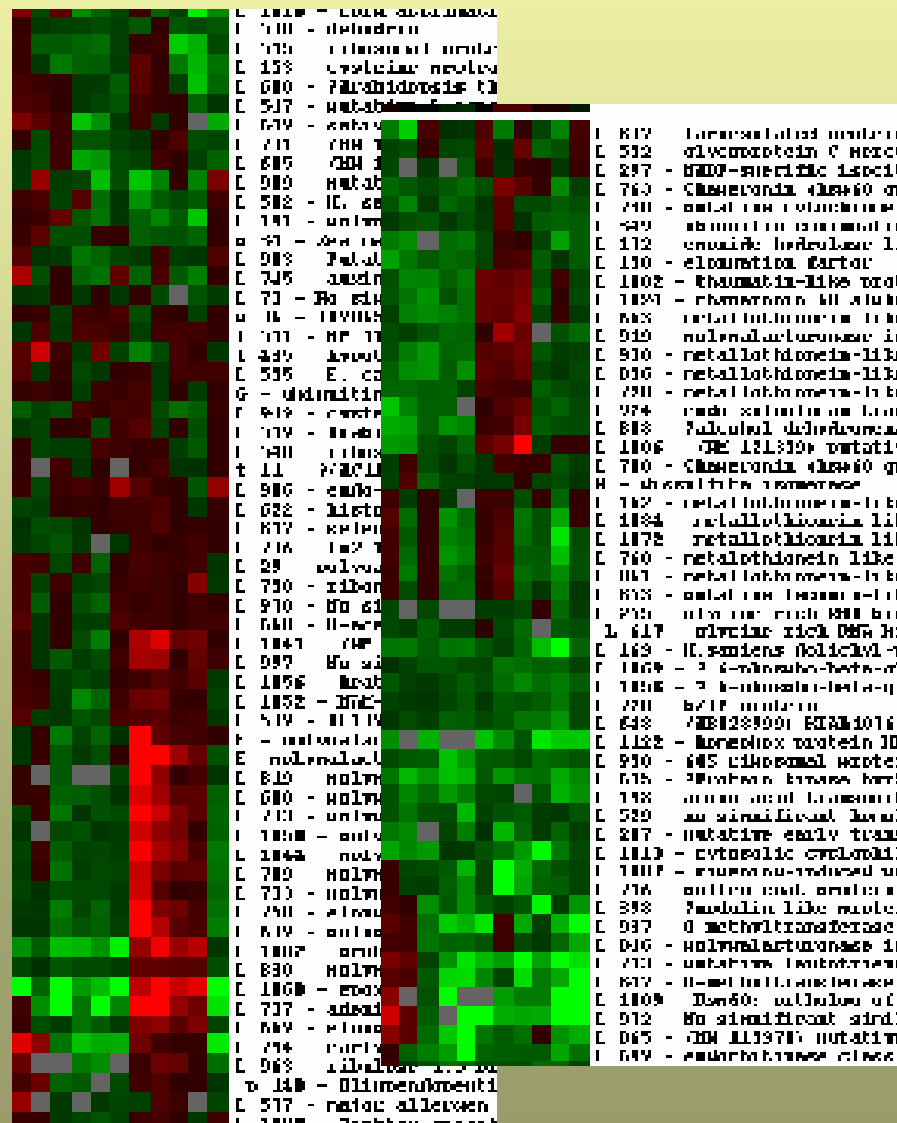


Hierarchical cluster analysis with Omniviz

Betegség-specifikus klaszterek meghatározása

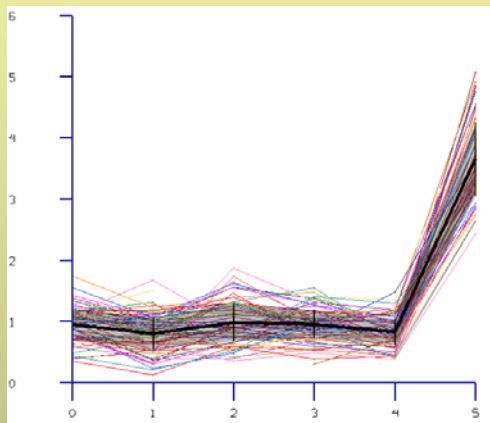
Legközelebbi kapcsolat: microfollicular & follicular carc., papilloma ehhez az alcsoporthoz hasonlít.

Struma and Hashimoto különböznek egymástól és más betegség csoportuktól.

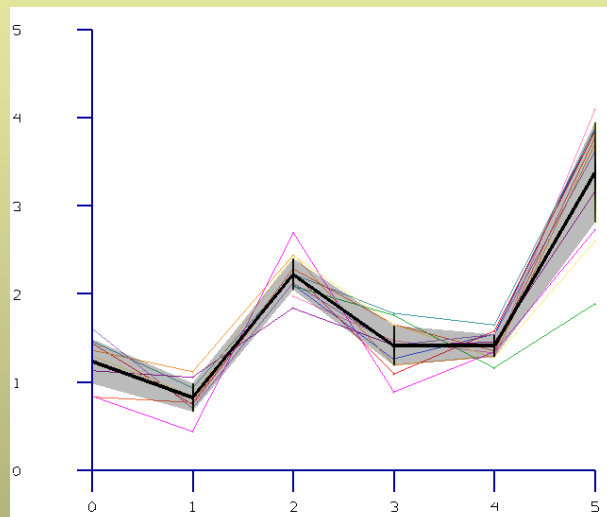


# Betegségspecifikus génmarkerek azonosítása

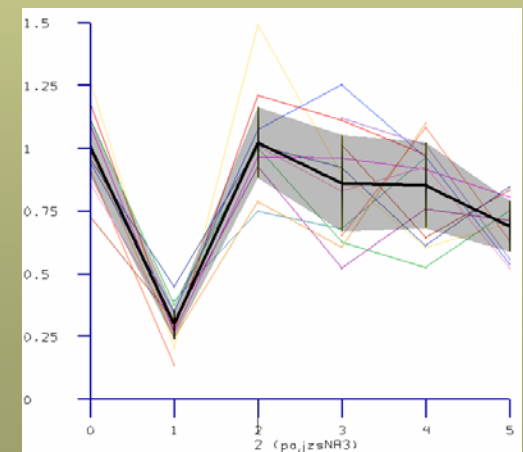
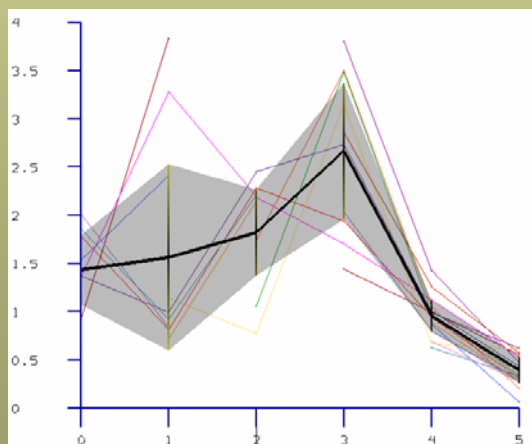
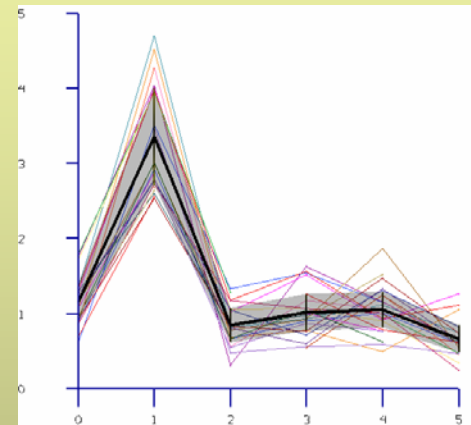
Struma



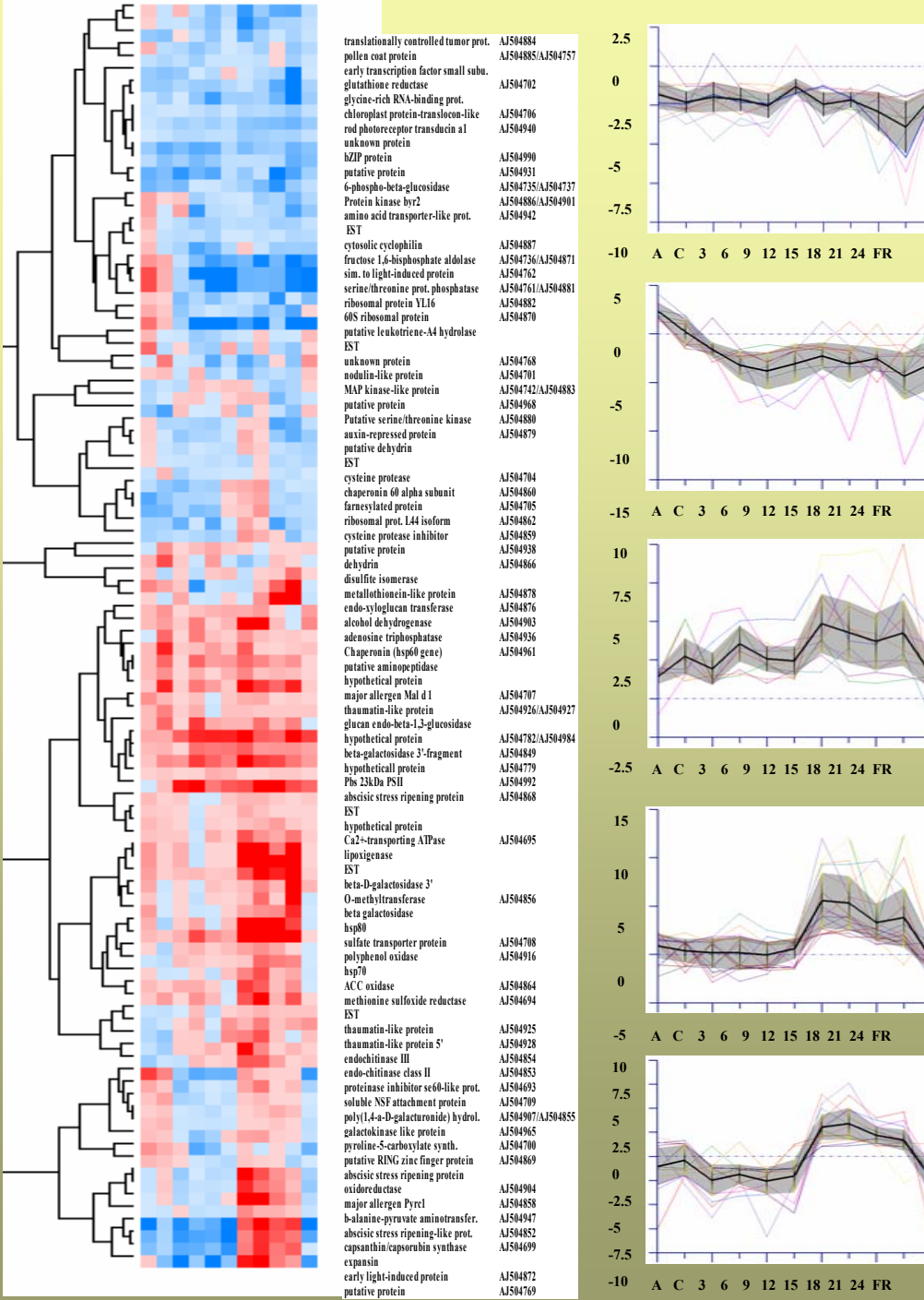
Microfollicular + Struma



Hashimoto



# Körte érésének genomikai vizsgálata



Nincs változás

Gyümölcs növekedés

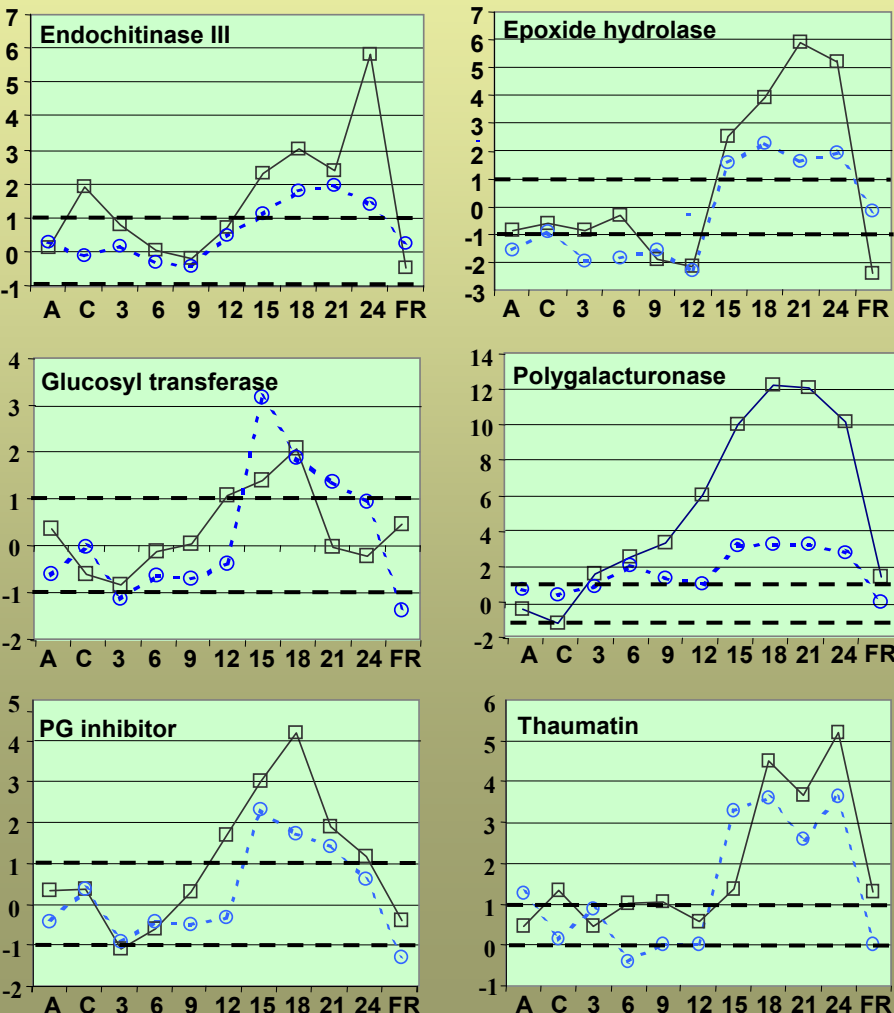
Érés és növekedés

Éréssel összefüggő

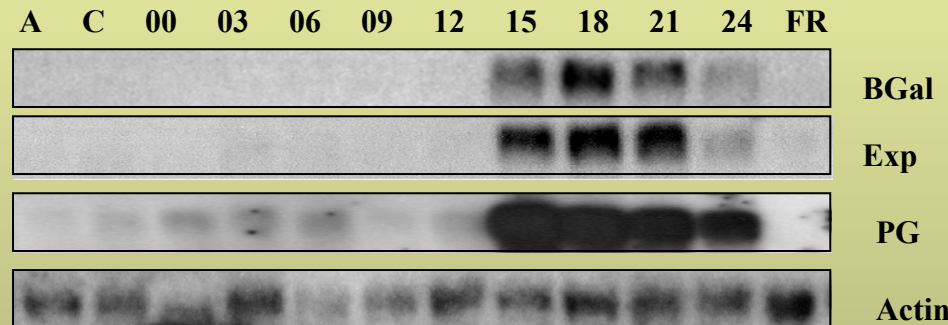
Éréssel összefüggő

# Confirmation of gene expression data obtained from DNA-microarrays by different techniques

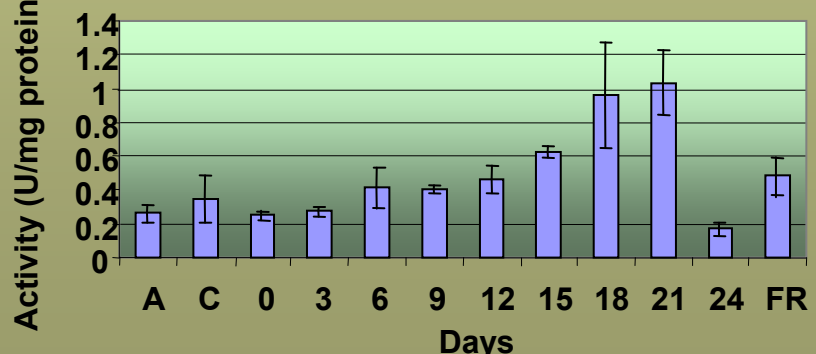
## Real-time quantitative PCR



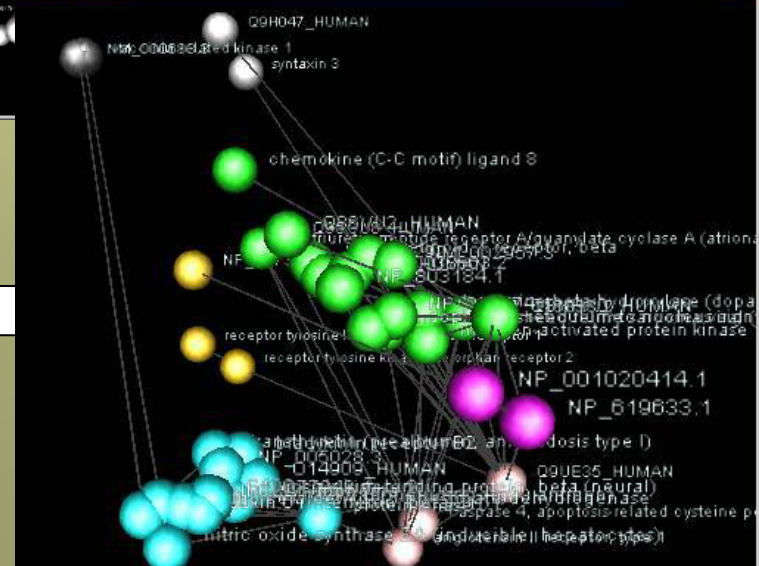
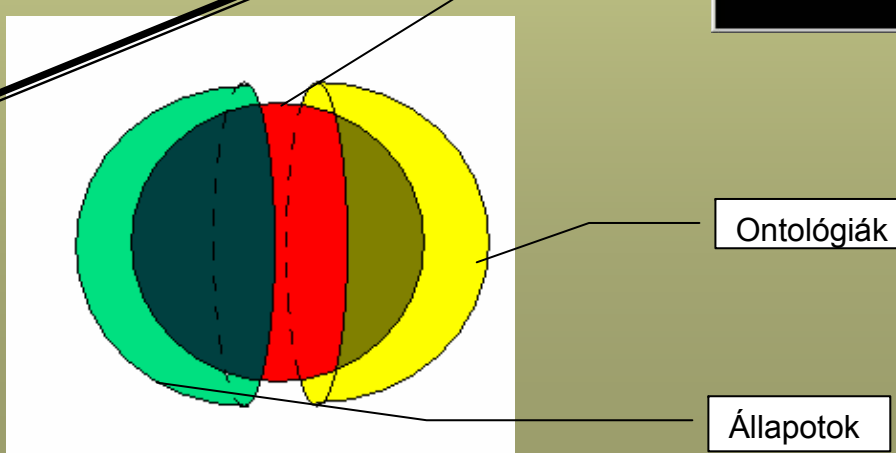
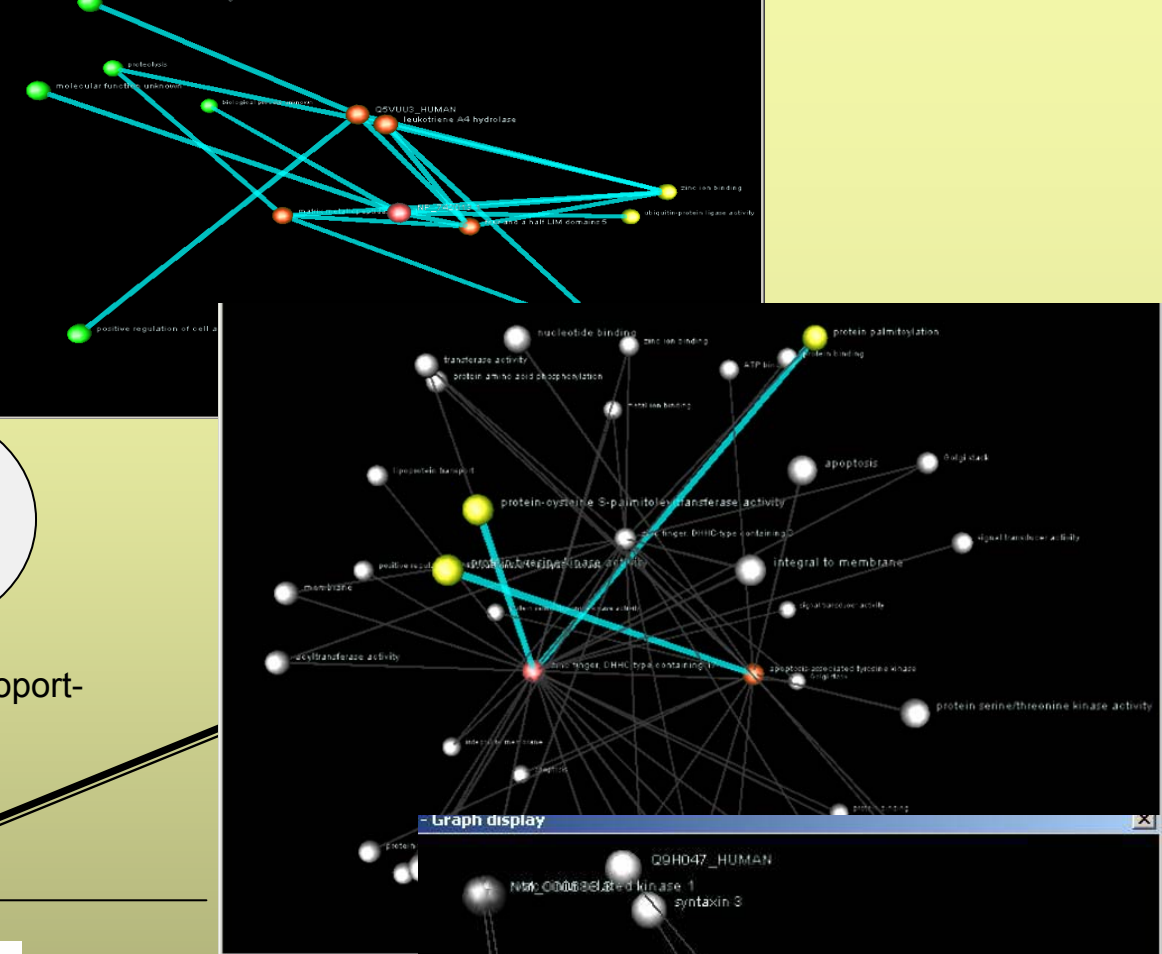
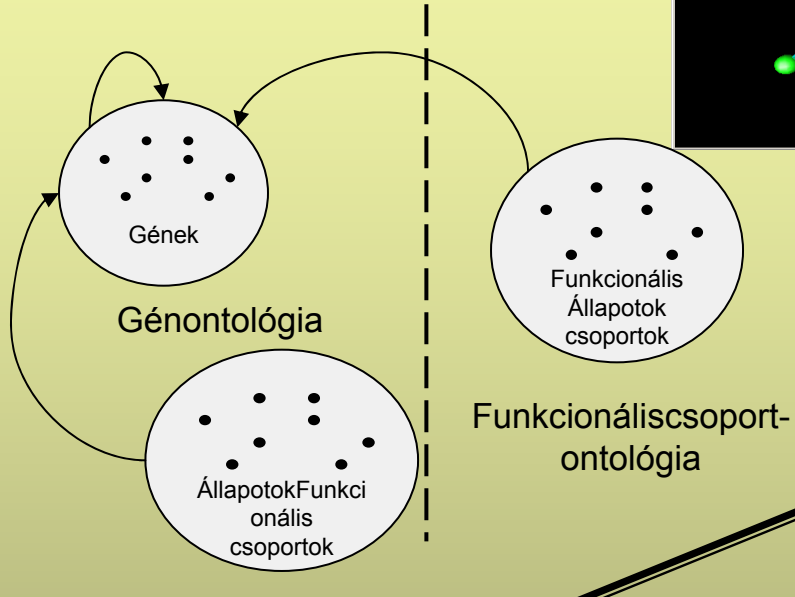
## Northern-blot analysis



## Enzyme activity assay



# Adatbáziskutatás, adatbányászás



# **Genomikai kutatások a Gyógyszerkutatásban, -fejlesztésben**

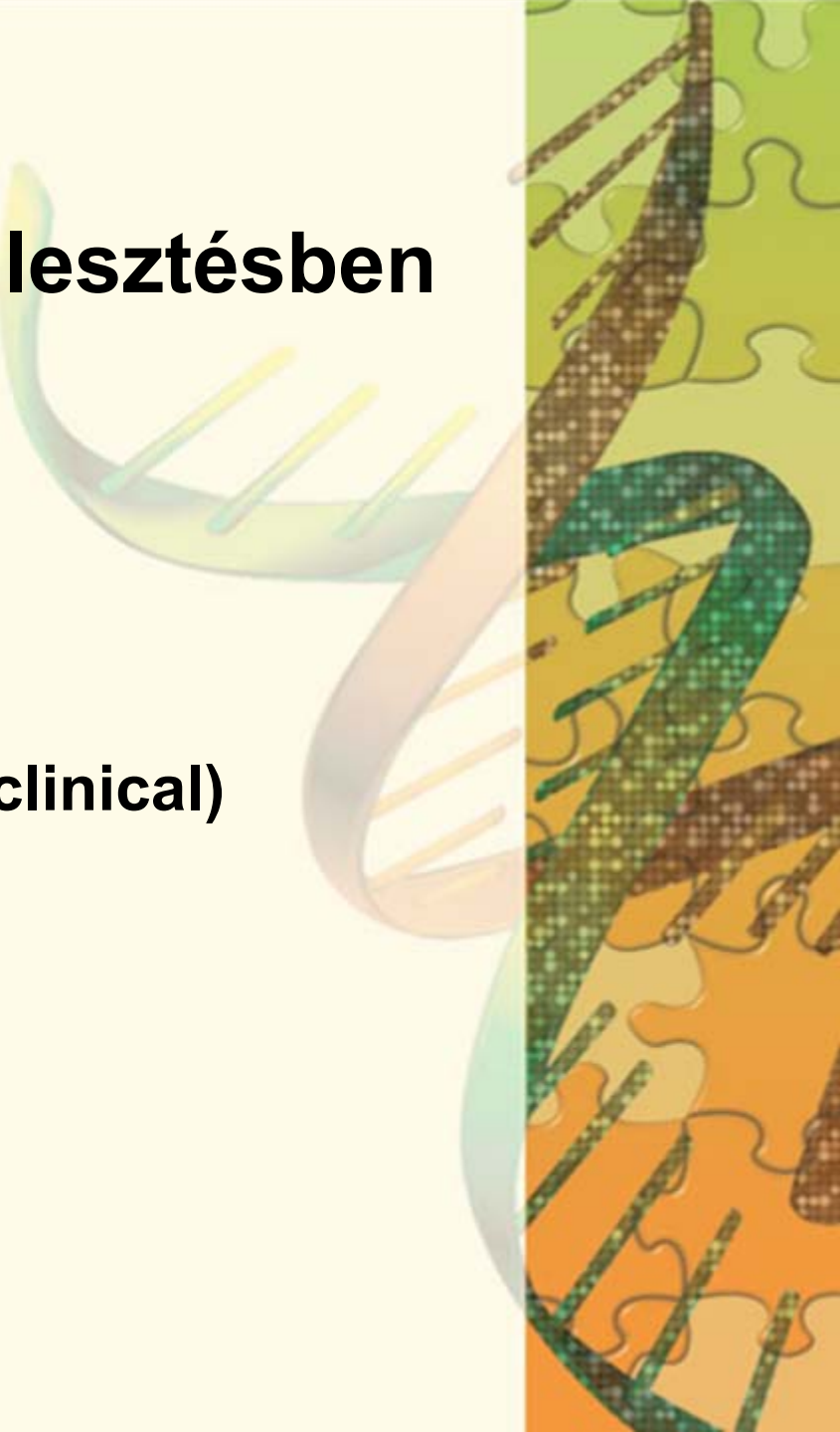
**Felfedezés (Discovery)**

**Optimalizáció (Optimization)**

**Hatásosság vizsgálat (POC, Preclinical)**

**ADME-Tox (Preclinical)**

**Klinikai vizsgálat (Clinical trials)**

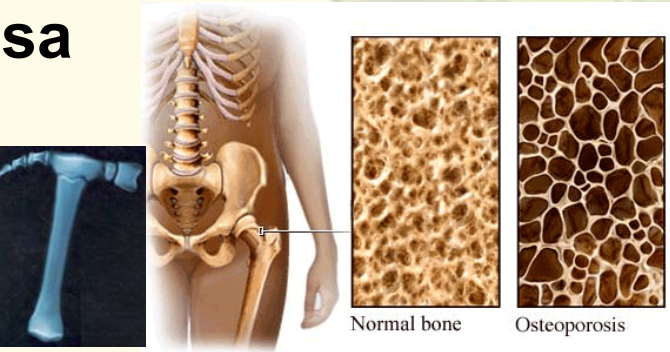


# Felfedezés (Discovery)

## 1. Target alapú szűrések

### 1a: új target azonosítása

cathepsin K  
– osteoclast formation



### 1b: off-target effektusok kimutatása

### 1c: target validálás (siRNS, expr. mintázat)

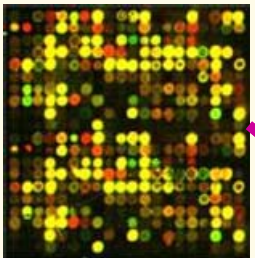
# Felfedezés (Discovery)

## 1. Target alapú szűrések

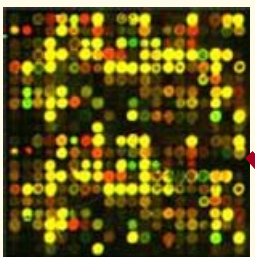
### 1a: új target azonosítása



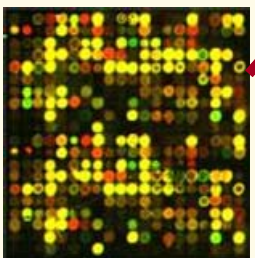
*OVE*



*OVE + Estrogen*



*Control*



Potenciális  
gyógyszer-  
célpontok

Expressziós  
mintázat:  
**MARKER**

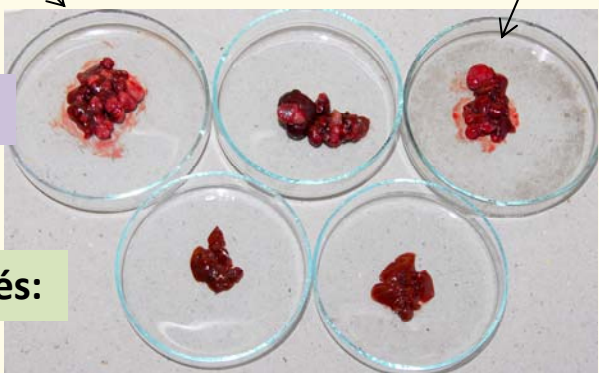


# Génexpressziós változások Ac915-tel kezelt KO-egér májkarcinómában



Tumorigenesis: DEN, 15 naposan egyszeri 50 ul-es kezelés, 4 hónap normál táp

Kezeletlen

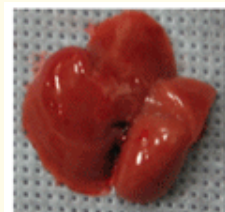


Ac915 kezelés:

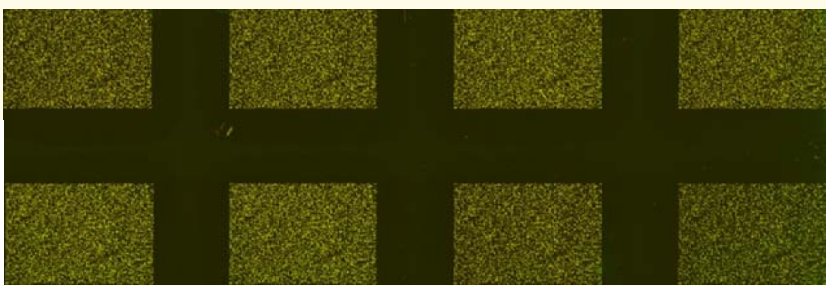
Tumor  
izolálás

Egészséges  
szövet izolálás

Kezeletlen kontroll

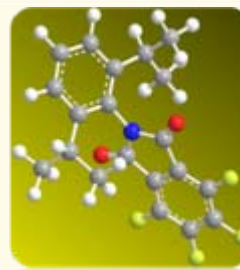


Egészséges  
szövet izolálás



# Funkcionális elemzés

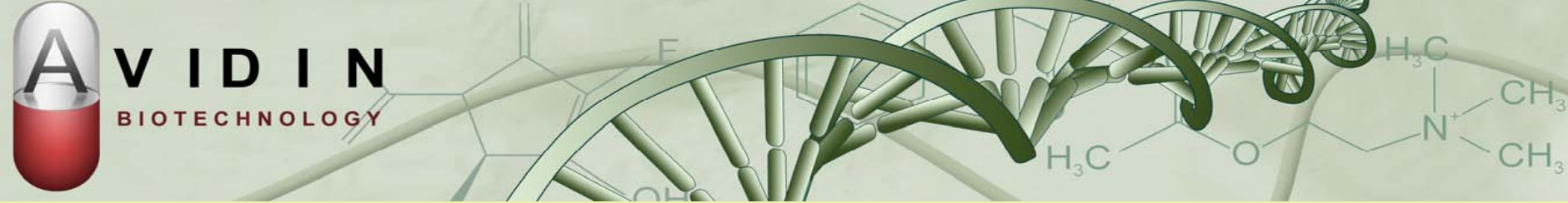
Ac-915 tumor / induced tumor



- DAVID bioinformatics
- WEB alapú rendszer
- Input: gén lista
- Funkcionális “csoportok” (GO terms, pathways, tissue expression pattern etc.)
- Géncsoportosítás azonos funkció szerint
- Szingnifikancia analízis, p-value

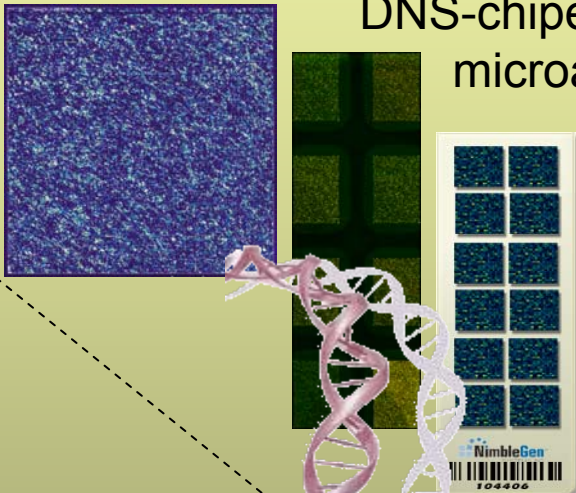


**Új módszerek  
fejlesztések,  
lehetőségek**



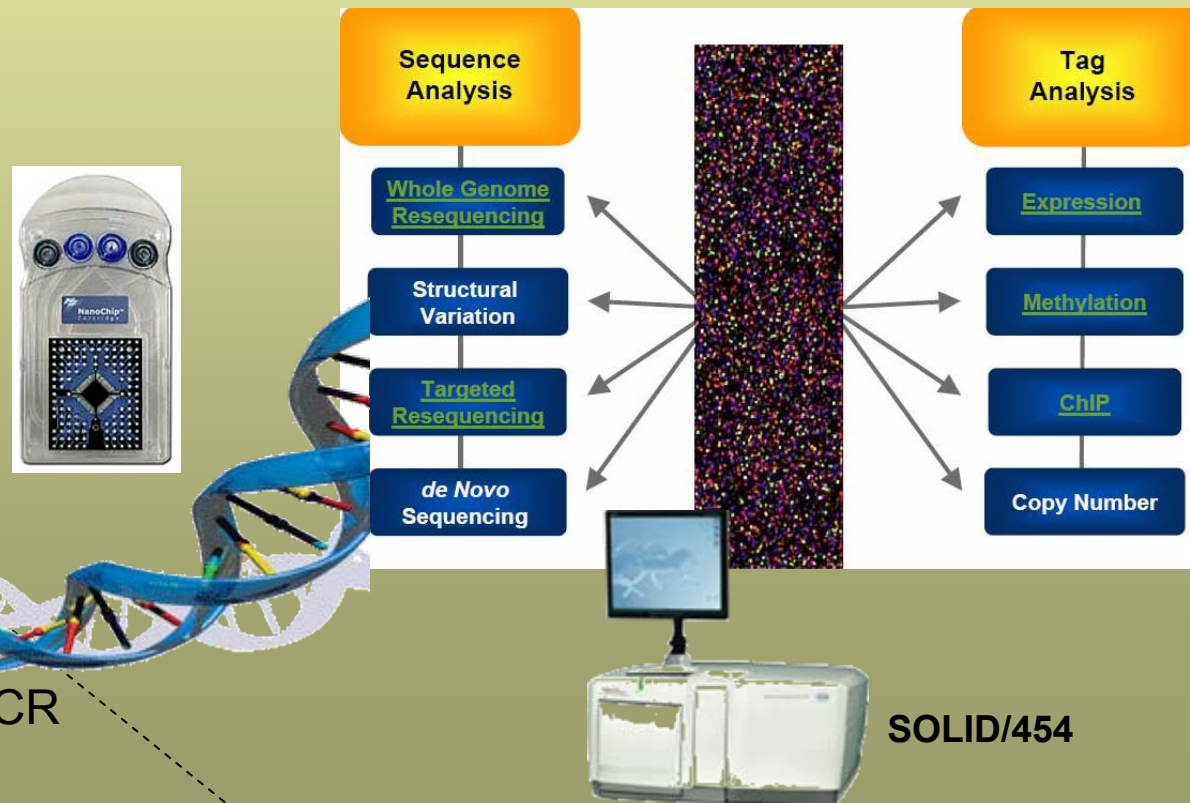
# Genomikai kutatások eszközei

DNS-chipek,  
microarrayek



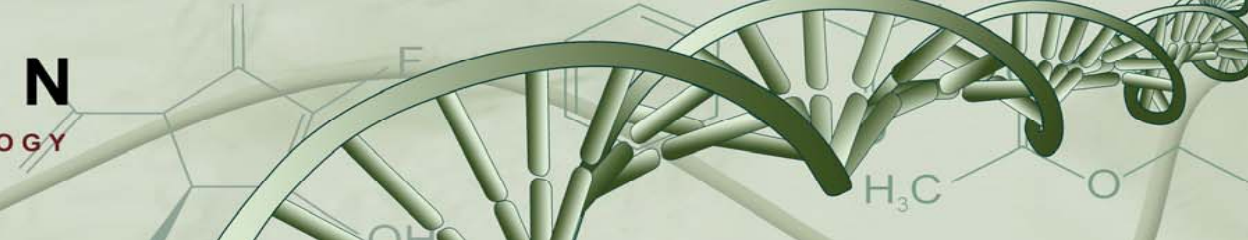
valós-idejű PCR

Új generációs szekvenátorok

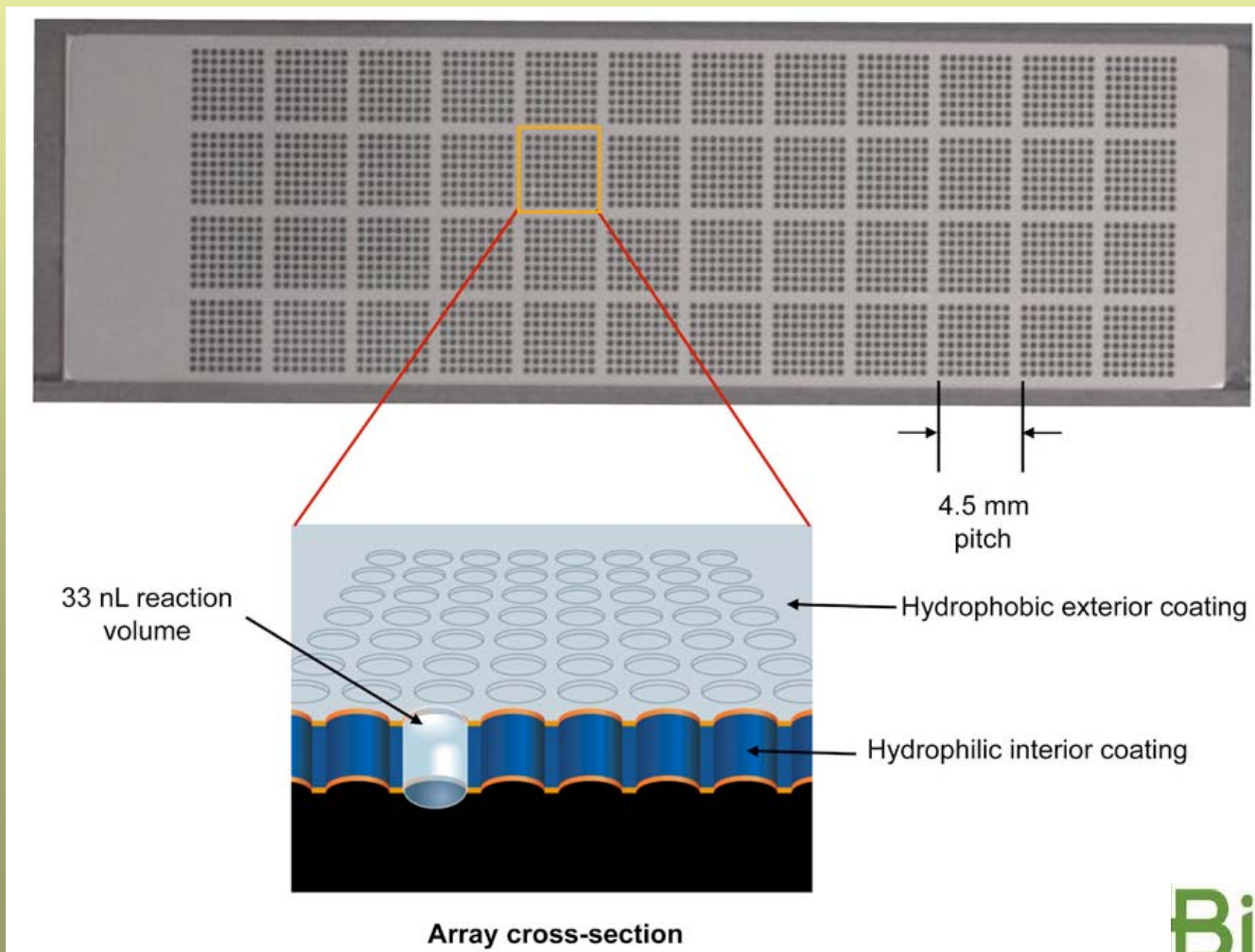


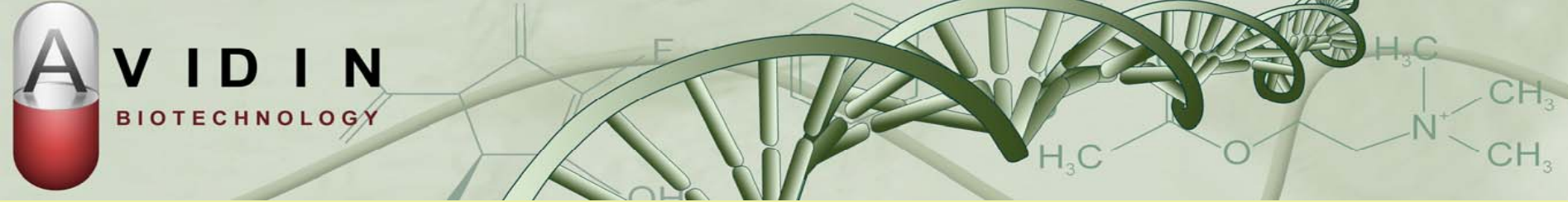


AVIDIN  
BIOTECHNOLOGY

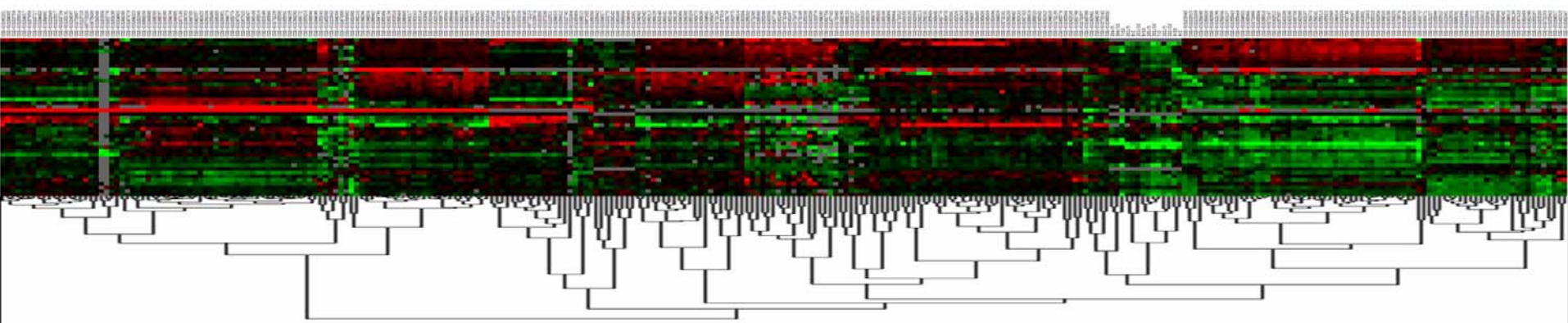


# Nanokapilláris valós-idejű PCR





## 480 vizsgált, citotoxikus anyag szűrése toxikológiai panelen



A normalizált génexpressziós értekeket hierarchikus klaszterezési eljárásnak vetettük alá.  
A referencia-minták közös klaszterben mutatkoztak, amely hasonló hatásmechanizmusra utal.

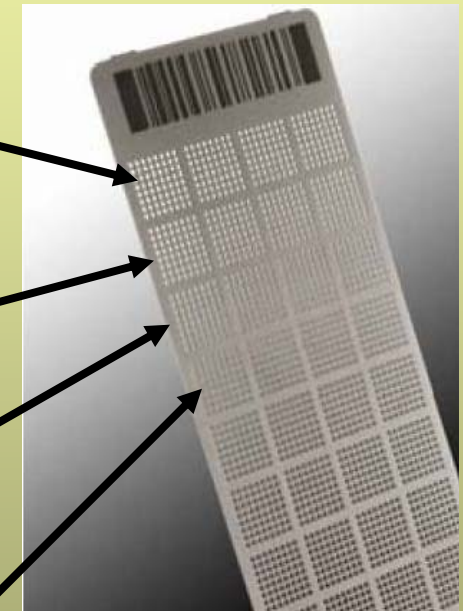
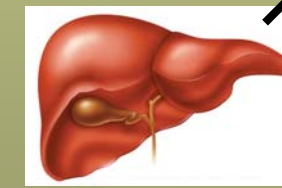
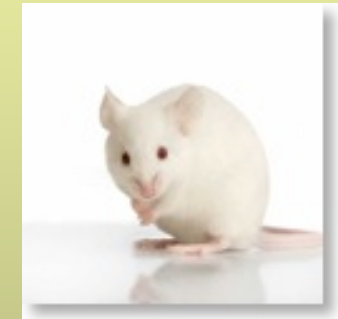
480 minta (52 gén/minta) 10 lemezen:

1 koncentrációban (EC10) 1 időpontban (24 h) máj sejtekben

Összesen 24.960 QRT-PCR

Vass L, et al. (2009) Toxicogenomics screening of small molecules using high-density, nanocapillary real-time PCR. Int J Mol Med.23:65-74.

## Protocol for toxicogenomics screening



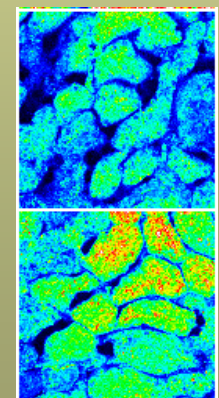
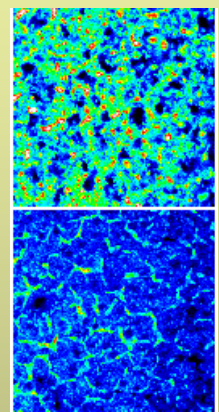
3+3 x 4 samples  
2 compounds/plate

### REFERENCE:

Heart and liver toxicity of doxorubicine, sulfasalazine;  
liver and kidney toxicity of aniline, rotenone, ID9637;  
safety of Ac929 and Q50 was confirmed with the  
Avidin's Toxicogenomics screening platform

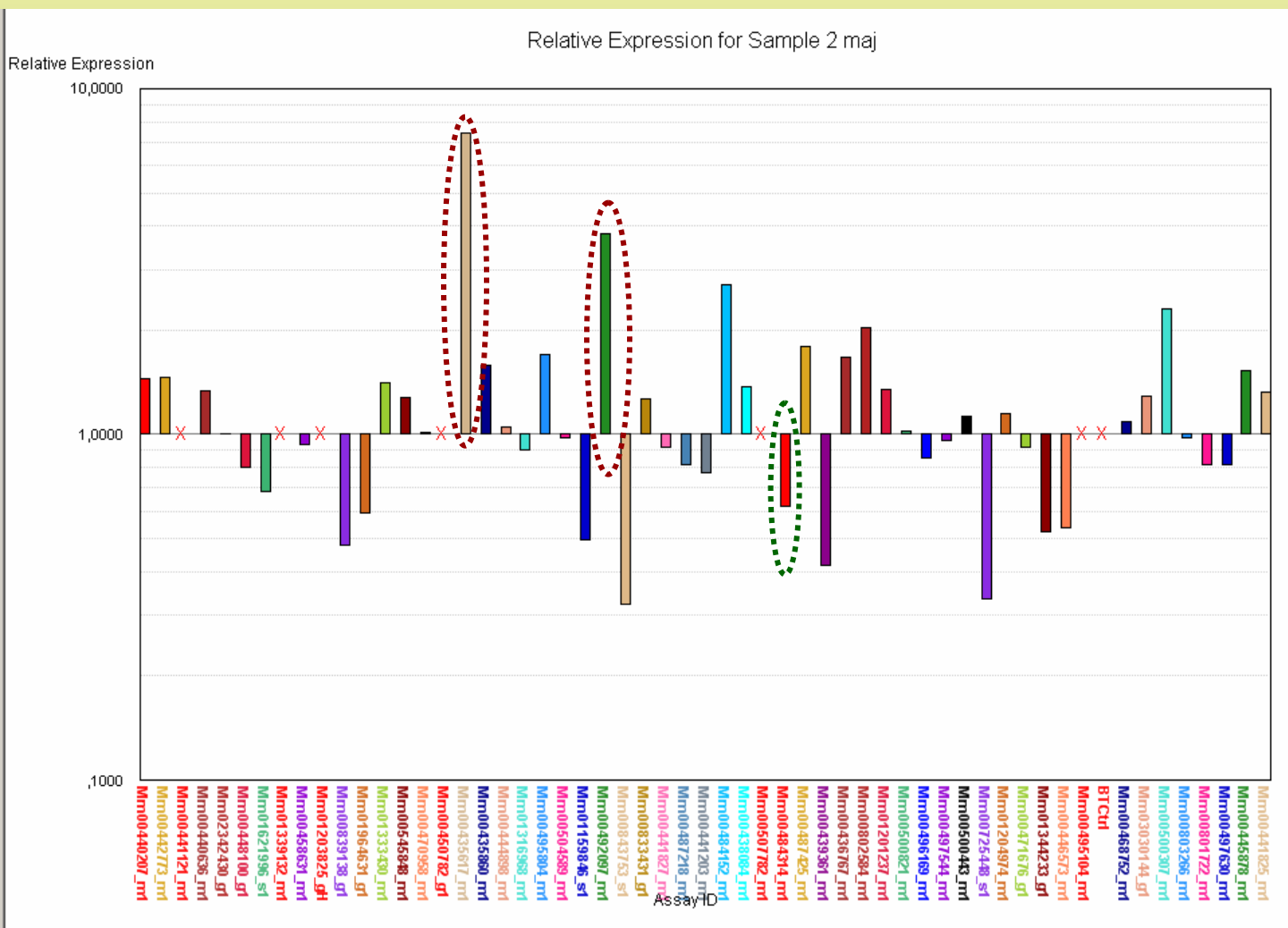
# Toxicogenomics screening with reference compounds

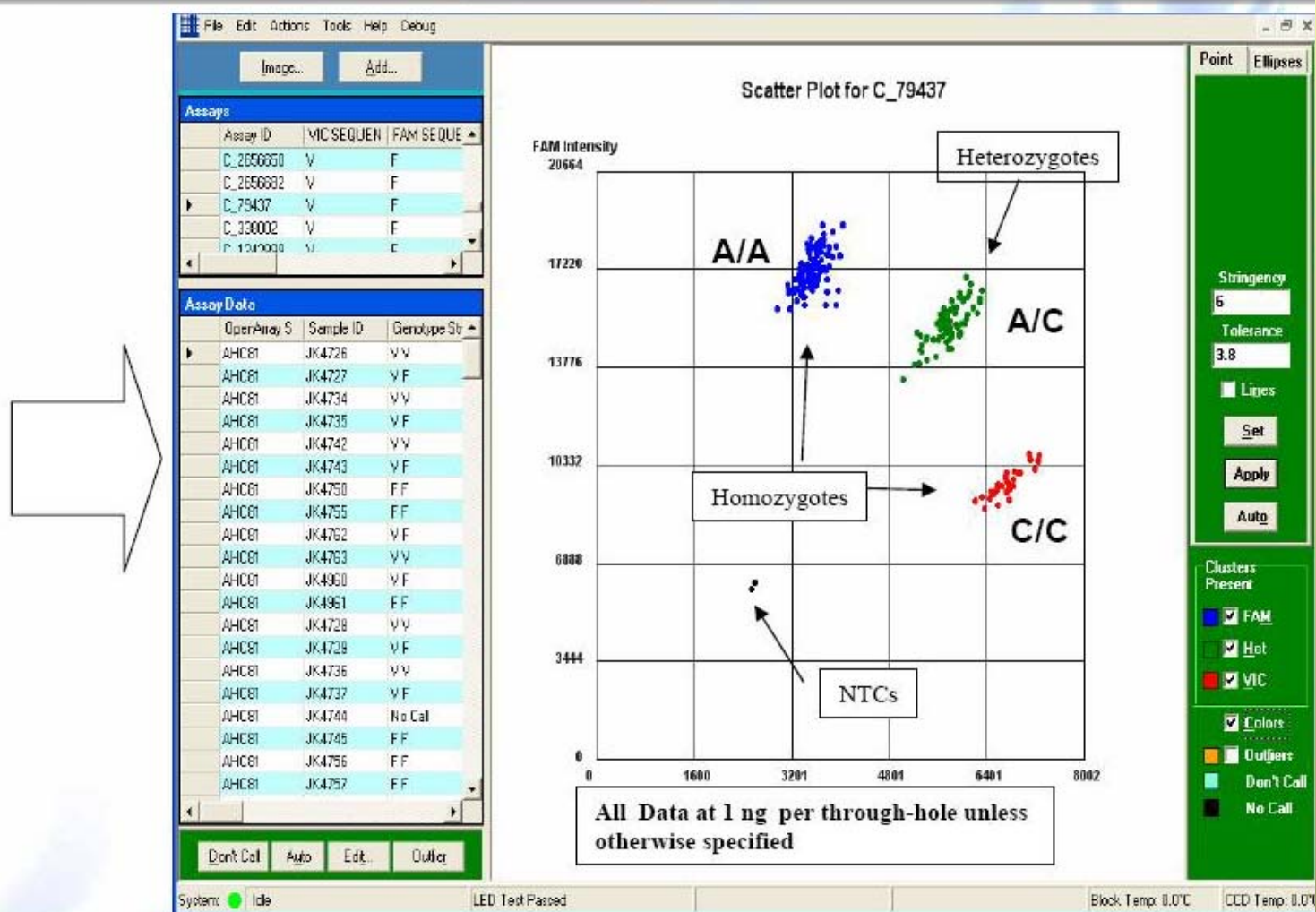
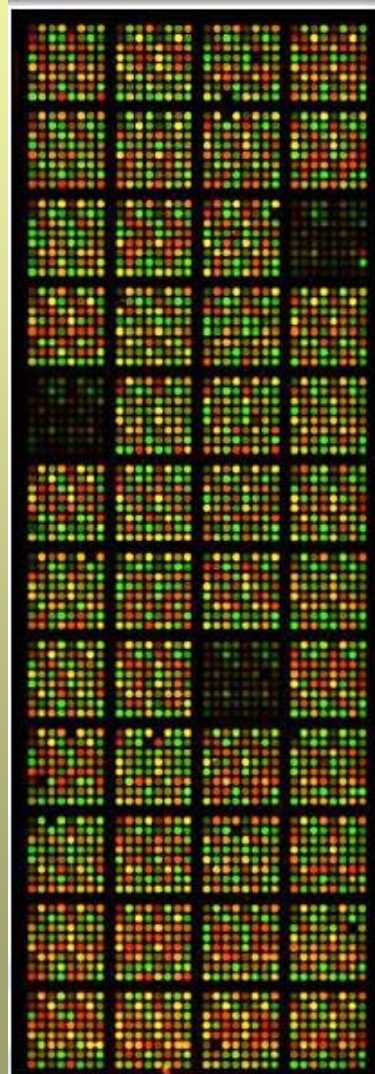
	0.41	-0.41		-0.32	-2.30	0.00	-2.42	0.28	2.12	-0.04	-0.24	0.11	-0.02	-0.07	-0.61
-0.85	-2.24	-1.63	-1.72	-1.00	-0.01	-0.76	-2.30	0.09	-0.45	-3.00	-2.55	-0.31	0.37	0.12	-1.40
-0.31	-1.25	-4.54	-1.63	-0.81	-1.64	-1.69	-3.41	0.55	-0.91	-2.01	-2.65	-0.21	-0.77	-0.96	0.15
-0.32	-0.16	-0.65	-2.75	-0.87	-0.55	0.11	-2.36	-0.51	-0.50	-1.85	-1.59	-1.23	-0.60	0.52	0.42
0.02	-1.19	-4.02	-1.25	-0.75	-1.14	-1.34	-2.03	0.09	-1.23	-2.12	-2.57	-0.17	-1.50	0.15	-1.62
			-0.73			-2.48			-2.83				-0.63		
-0.03	0.62	-3.24	-0.70	0.03	-0.70	-1.04	-1.69	0.72	-1.06	-2.32	-2.73	0.19	-0.99	0.13	-0.83
	-3.59	-1.97	-1.11		-1.46	-1.92	-1.22		-1.22	-2.87	-1.70		-1.17	-0.07	-0.40
	-3.77	-5.82		-1.68		-1.91		-1.00		-2.32			-1.76		-3.10
-1.35	-0.24	-3.34	-2.06	-0.57	-0.80	-0.87	-2.49	0.00	-1.19	-3.09	-2.86	-0.82	-1.77	-1.50	-1.90
-0.49	-2.14	-1.62	-2.70	-0.86	-0.74	-1.08	-2.47	-0.23	-1.18	-2.25	-2.39	-1.12	-3.19	-0.38	nd
	-0.20	-0.53		0.59	0.10			0.51	nd			0.00	0.37		
-0.86	-1.06	-4.68	-1.32	-1.06	-1.16	-1.65	-2.52	-0.40	-1.26	-2.83	-2.56	-0.70	-1.35	-1.00	-1.22
-0.89	0.08	-4.34	-2.25	-0.72	-0.58	-1.07	-2.62	-0.39	-1.13	-2.27	-2.40	-0.92	-1.35	-0.90	-1.30
3.04		0.01		-1.36		-1.70	0.85		-1.75	-0.71		0.79	0.40		
-1.70		-0.72		-0.61		0.75	0.48		-1.01	-0.10		nd	0.50		
-0.24	-0.04	-3.35	-1.76	-0.85	-1.35	0.33	-2.82	-0.43	-1.15	-0.31	-2.18	-0.91	-2.51	-0.44	0.36
-0.53	-0.40	-4.01	-1.47	-0.51	-0.75	-1.51	-2.54	0.08	-0.89	-2.56	-2.91	-0.28	-1.08	-0.61	-1.67
		0.34				-0.14			-0.82				2.32		nd
-0.85	-2.57	-1.75		0.06	-1.87	-1.73	0.16		-1.77	-2.22	-0.15	0.06	-0.63	-0.25	
-0.12	0.13	-3.61	-0.10	0.24	-0.50	-1.44	-1.58	-0.05	-0.72	-2.26	-2.40	-0.28	-0.98	-0.28	-0.67
-0.82	-0.20	-2.05	-0.95	0.56	0.06	-2.29	-2.23	-0.12	-0.30	nd	-2.49	-0.25	-0.04	-0.34	0.62
-1.95	0.90	-2.39	0.55	-0.71	0.93	0.05	-0.88	0.14	1.55	0.19	-2.23	1.15	0.96	0.24	2.42
-0.16	-0.51	nd	-0.79	-0.10	0.02	-0.37	-0.52	0.84	0.46	-2.13	-1.74	0.60	0.71	0.41	nd
-2.44		-3.29	-2.53			-1.78	-1.97		-0.57	-3.46		1.69	-1.62	-1.43	-2.38
-0.13		-1.68	-0.24	-0.43		-0.37	-1.13	0.22		-0.90	-0.98	-0.34	-0.10	4.77	
-1.92	2.39	-2.36	-0.45	0.18	0.52	-2.13	-0.29	0.46	0.37	-3.22	-2.28	1.25	1.42	-0.45	nd
-0.12	-1.16	-3.44	0.15	0.41	-0.74	-1.26	-1.26	0.48	-1.26	0.65	-0.64	-0.07	-1.15	-0.77	nd
	nd					-0.27			-0.10			0.17			
-0.44	-1.44	-3.48	-2.89	-0.69	-0.96	-1.27	-2.03	0.48	-0.95	-2.63	-2.59	0.16	-1.27	-0.99	-1.80
0.99	-0.14	-1.44		0.18	-1.01		-0.82	1.06	-1.02		-0.57	-0.10	-1.34	-0.05	
	-7.17					-2.82			-1.14			-0.78			
-0.19						-0.96			-1.06			-0.82			
		-3.38				-0.16			0.02			-0.49			
-1.46	-0.65	-1.79	-1.53	-0.36		-0.91	-1.37	-1.24		-1.76	-0.98	-0.14	nd	-1.88	-1.11
-0.40	-0.40	-3.06	-0.86	-0.20	-0.90	-1.19	-2.17	0.37	-1.14	-2.16	-2.68	0.10	-0.48	0.45	-0.71
-3.19	-1.54	-4.83		-1.15	-1.81		-2.56	-0.07	-0.67		-2.53	-0.23	0.89	-2.21	-0.38
-0.24	0.54	nd	-0.86	-0.51	-0.35	-0.97	-1.73	-0.44	-0.52	-2.72	-2.11	-1.23	-0.23	0.09	-0.54
-0.39	-0.87	-5.10	-1.91	0.39	-1.29	-1.37	-3.52	0.09	-1.66	-3.18	-2.53	-1.19	-2.06	-1.55	-1.28
-0.17	0.25					-1.58	-0.50		-1.14	-0.15		-1.25	-1.32		-0.68
0.43	0.05	-3.52	-1.05	0.35	-0.68	-1.85	-1.46	0.93	-0.10	-1.98	-1.19	-0.12	-0.52	-0.27	0.41
-0.33	0.71	-1.22	0.20	0.13	-1.51	-1.38	-0.84	0.63	-1.62	-2.37	-1.85	-0.25	-0.01	-0.19	-0.04
8	12	24	20	6	11	18	28	4	17	21	31	8	15	3	15
B	L	H	K	B	L	H	K	B	L	H	K	B	L	H	K
ID9637	Doxorubicin	Sulfasalazine													



# Liver

Nimesulide 50 mg/kg  
Control gene: Mm02342430\_g1 PPIA, cyclophilin A

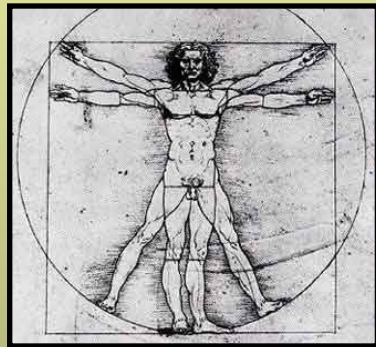




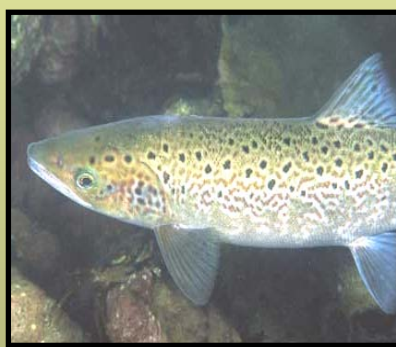
Duplex Taqman endpoint assay  
 >99.5% Accuracy      >95% Call rate

# SNP genotyping applications

Human



Salmon



Corn



Mouse



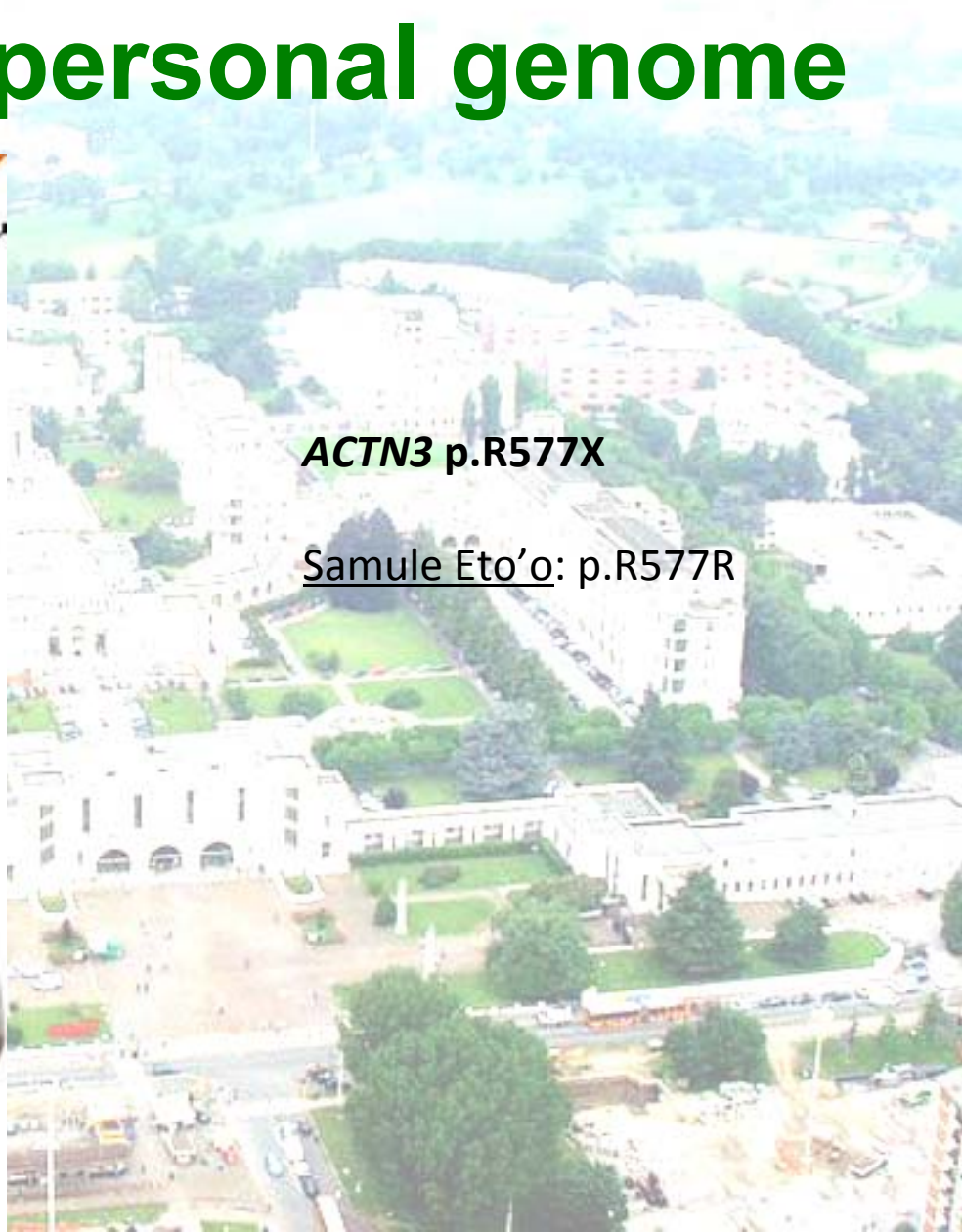
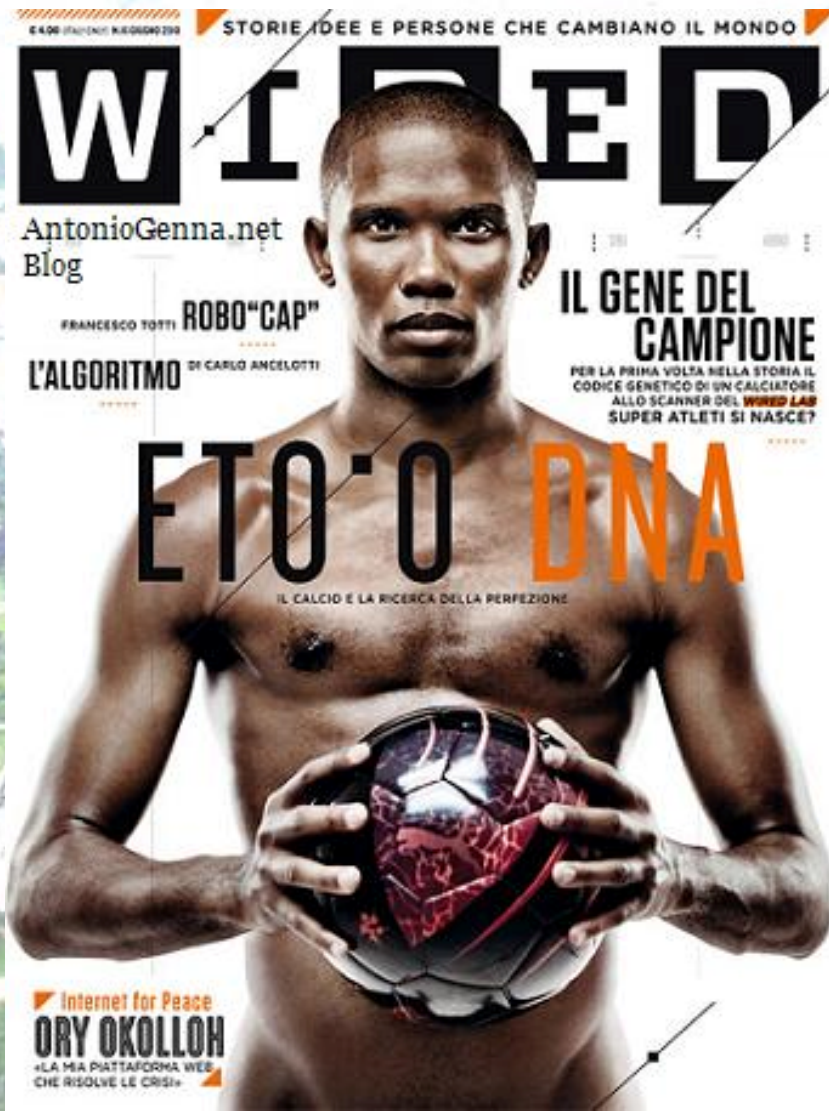
- Population Genetics
- Disease Associations
- PGx
- Genetic Identification

- Population Genetics
- Migratory Patterns
- Breeding

- Marker Assisted Breeding
- Transgenics QC/ Stewardship

- Marker Assisted Breeding
- Transgenics
- Trait mapping
- Human disease models

# Clinical assessment incorporating a personal genome

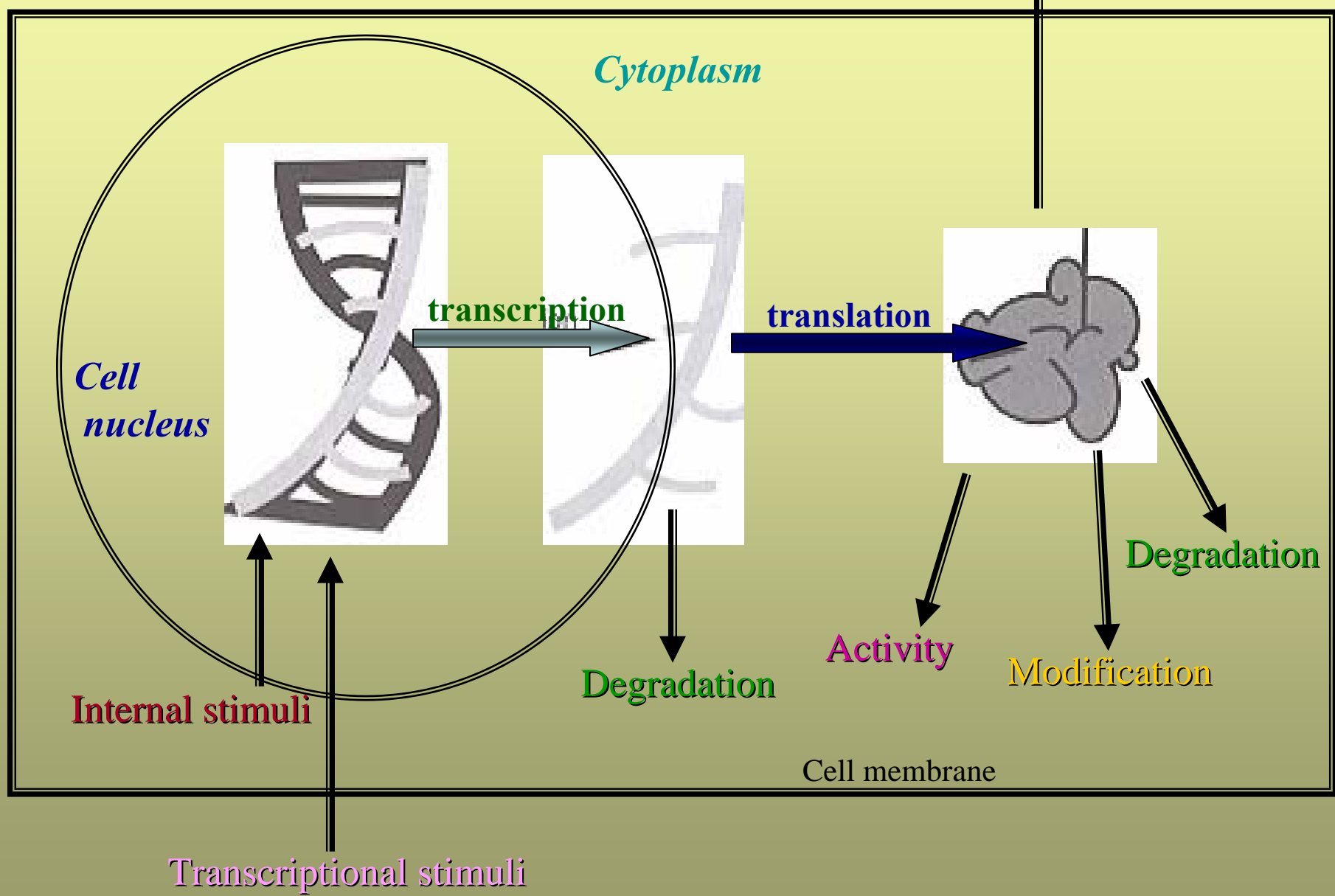


**ACTN3 p.R577X**

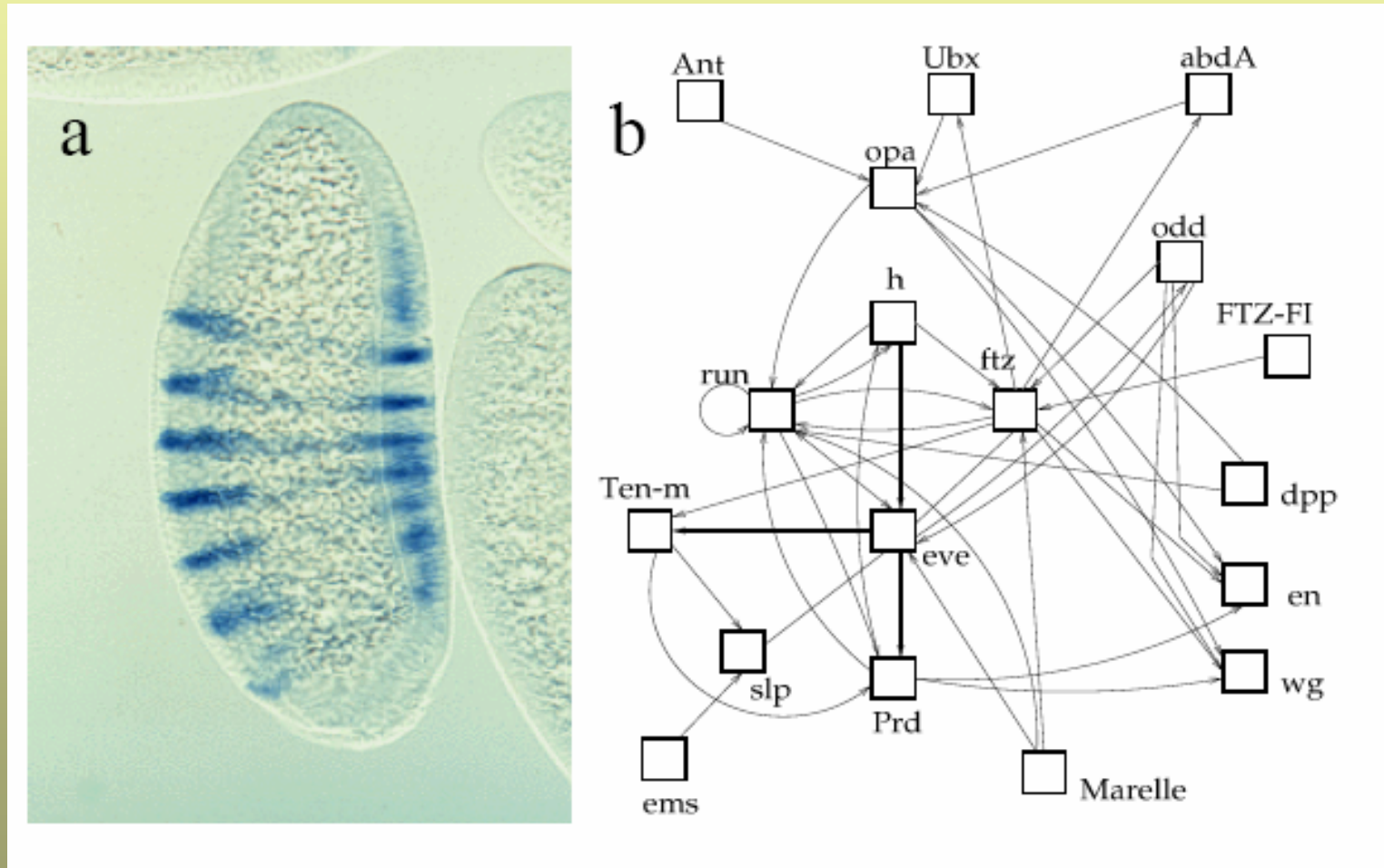
Samuele Eto'o: p.R577R

# **Korlátok, megoldások**

# *Flow of genetic information*



# Sejthálózatok és génhálózatok, kapcsolatok és jelek



# Neuronok csoportosítása

Osztályozási szempontok lehetnek:

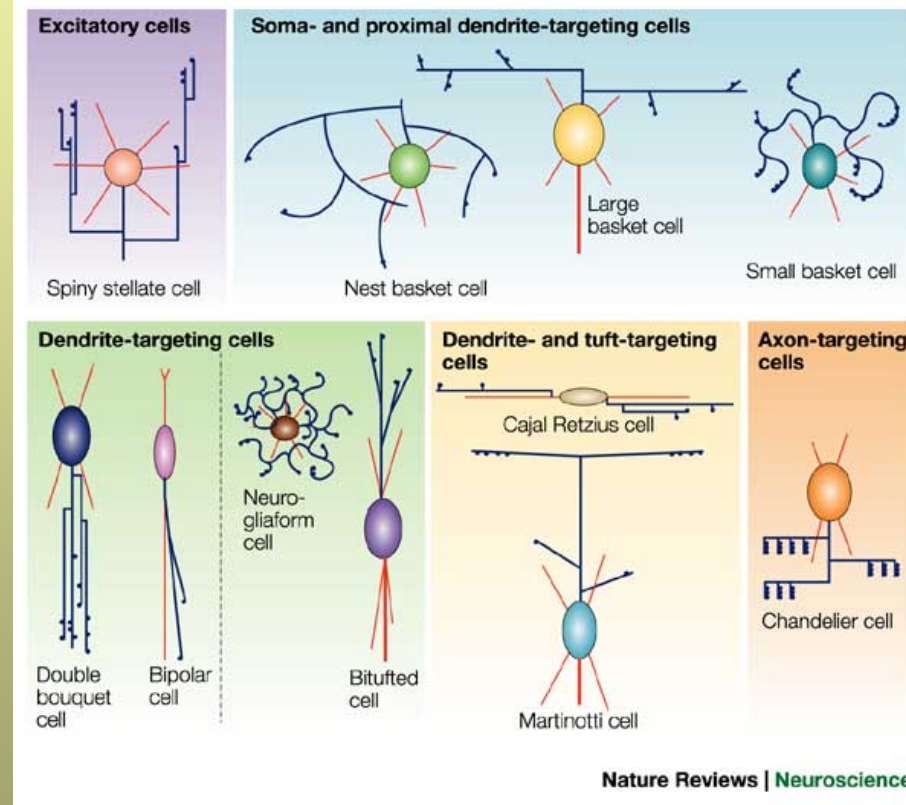
- a morfológia
- neurotranszmitterek
- néhány fehérje marker
- elektrofiziológiai jellemzők



- single cell RT-PCR

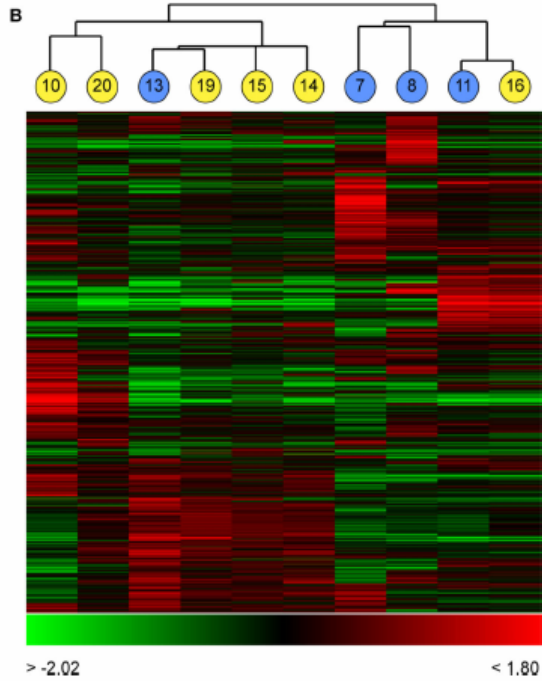
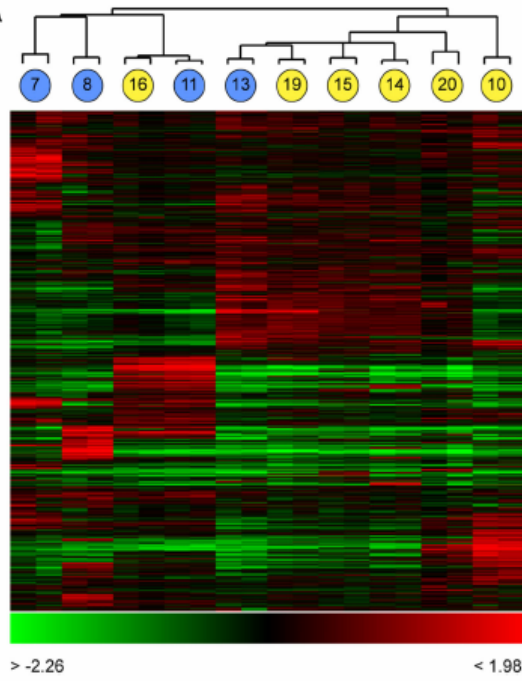


- globális génexpresszió analízis

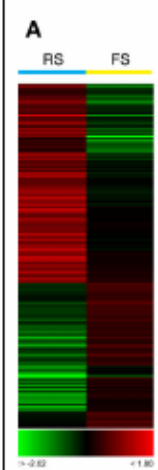


*Grouping and classifying electrophysiologically defined classes of neocortical neurons by single cell, whole-genome expression profiling*

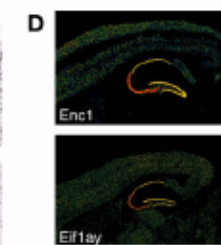
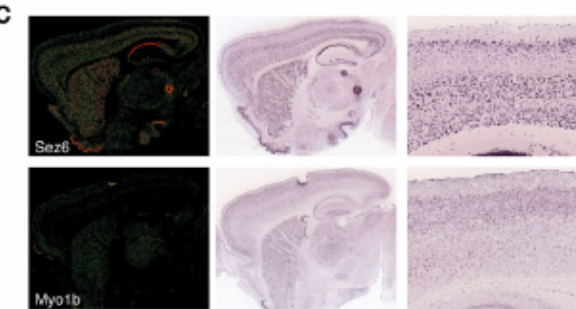
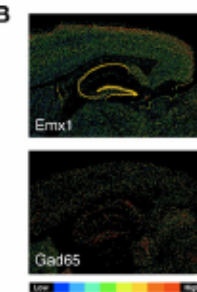
**Tatiana Subkhankulova, Kojiro Yano, Hugh P. C. Robinson and Frederick J. Livesey**  
**MOLECULAR NEUROSCIENCE**, 13 April 2010



**18 különböző neuron klaszterezése  
4 posztnatális stádiumból**

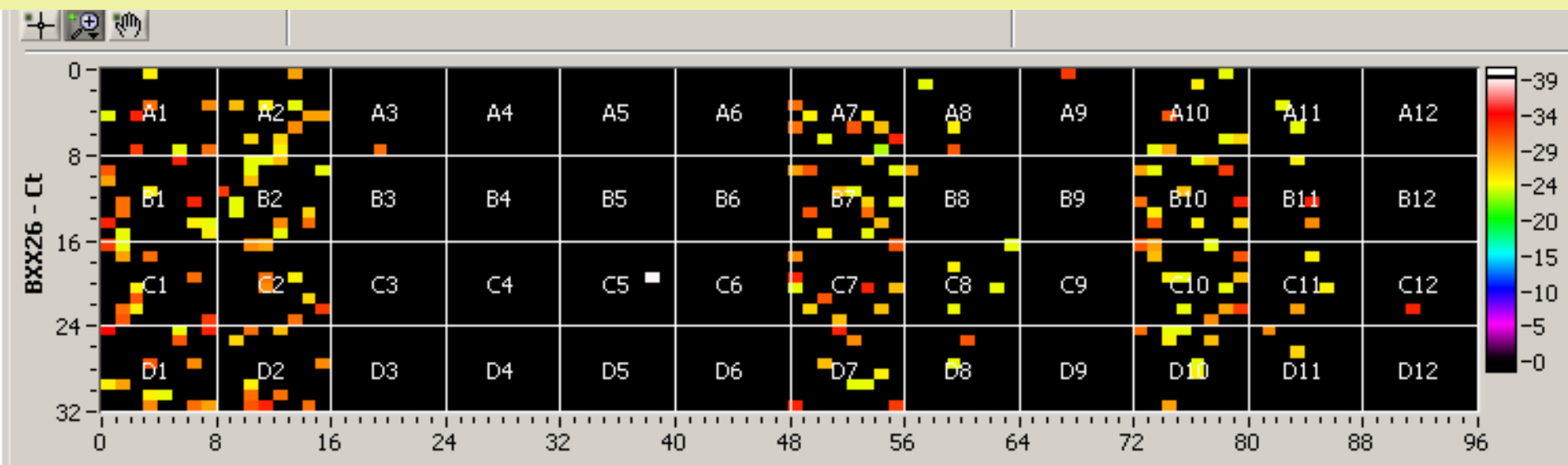


Enriched in RS neurons  
Enriched in FS neurons



# **Nanokapilláris QRT-PCR digitális expresszióvizsgálatra**

# Digitális génexpresszió analízis egy sejtből



1. S18 ngf - 43
2. S18 p - 41
3. S18 negative - 1
7. X1 ngf - 40
8. X1 p - 10
9. X1 negative - 1
10. X2 ngf - 40
11. X2 p - 10
12. X2 negative - 1

# Hagyományos és chip adatok egy adott klinikai kórképre

